



وزارة التعليم العالي و البحث
جامعة قاصدي مرباح ورقلة
كلية الرياضيات و علوم المادة
قسم الكيمياء



مذكرة مقدمة لنيل شهادة ماستر أكاديمي
في الكيمياء

تخصص : كيمياء تحليلية

من إعداد : حمي نسرين بن حامد سماح

تحت عنوان :

**النمذجة الجزيئية لدراسة الخصائص الفيزيائية – الكيميائية لبعض
المركبات الكيميائية**

نوقشت يوم : 2022/06/09

أمام لجنة المناقشة :

أستاذ رئيسي	أستاذ محاضر "أ"	بالفار محمد الأخضر
أستاذ مناقش	أستاذ محاضر "أ"	هادف الدراجي
مؤطرًا	أستاذ محاضر "أ"	رقية شرببي
مساعدا	أستاذ محاضر "أ"	زروقي حياة

السنة الجامعية : 2023/2022



إهداء

لَكَ الْحَمْدُ رَبِّي عَلَى كَثِيرٍ فَضْلَكَ وَجَمِيلٍ عَطَاكَ وَجُودُكَ، الْحَمْدُ لِلَّهِ وَكَفَى وَالصَّلَاةُ عَلَى الْحَبِيبِ
الْمُصْطَفَى وَأَهْلِهِ وَمَنْ وَفَى وَفَى.

بِدَانَا بِأَكْثَرِ مِنْ يَدِ وَقَاسِينَا أَكْثَرَ مِنْ هُمْ وَعَانِينَا الْكَثِيرَ مِنَ الصَّعْوَبَاتِ وَهَانَنَ الْيَوْمُ وَالْحَمْدُ لِلَّهِ
نَطَوْيِ سَهْرَ الْلَّيَالِي وَتَعبُ الْأَيَامِ وَخَلاصَةُ الْمَشْوَارِ بَيْنَ دَفْتِي هَذِهِ الْمَذْكُورَةِ التَّمْبِينَ ثَمَرَةُ الْجَهَدِ
وَالنَّجَاحِ

إِلَى الَّتِي بَحَانَهَا ارْتَوَيْتُ وَبَدَفَئَهَا احْتَمِيتُ، وَبَنُورَهَا اهْتَدَيْتُ، إِلَى الْبَيْنَوْعِ الَّذِي لَا يَمْلِي الْعَطَاءَ .
وَالَّتِي كَانَتْ تَتَمَنِي رَؤْيَتِي وَأَنَا أَحْقَقُ هَذَا النَّجَاحَ إِلَى "وَالَّتِي الْعَزِيزَةُ" آطَالَ اللَّهُ عَمْرَهَا .
إِلَى ذَرَاعِي الَّذِي بَهَ احْتَمِيتُ، وَفِي الْحَيَاةِ بَهَ اقْتَدَيْتُ وَالَّذِي شَقَّ لِي بَحْرَ الْعِلْمِ وَالْتَّعْلِمِ، إِلَى مَنْ
احْتَرَقَ شَمْوَعَهُ لِيَضْيَءَ لَنَا دَرْبَ النَّجَاحِ، رَكِيْزَةُ عَمْرِي. صَدَرَ أَمَانِي وَكَبْرِيَائِي وَكَرَامَتِي، "وَالَّذِي
الْعَزِيزُ" آطَالَ اللَّهُ فِي عُمْرِهِ

إِلَى مَنْ حَبَّهُمْ يَجْرِي فِي عَرْوَقِي "أَخْوَاتِي وَأَخْوَانِي" ، إِلَى الْكَتَاكِيتِ "بِيلْسَانُ ، سَدْرَةُ وَرِيمَاسُ"
إِلَى كُلِّ عَائِلَتِي "أَجَدَادِي وَأَخْوَالِي وَخَالَاتِي وَعَمَاتِي وَأَعْمَامِي" إِلَى كُلِّ أَوْلَادِهِمْ.

إِلَى زَمِيلِي فِي هَذَا الْعَمَلِ "نَسَرِينُ"

وَإِلَى مَنْ رَافَقَنِي فِي مَسِيرِي وَمَنْ جَمَعَهُمْ بِي الْقَدْرِ أَصْدَقَائِي "رَفِيقَةُ ، رَامِيَةُ ، اكْرَامُ ، مَرْوَةُ"
وَإِلَى مَنْ قَضَيْتُو مَعْهُمْ أَحْلَى أَوْقَاتِي جِيرَانِي "جَهَادُ ، أَمِينَةُ ، أَنْوَارُ ، بَسْمَةُ ، إِنْسَانُ ، صَفَاءُ ،
شَرِيفَةُ ، إِشْرَاقُ".

إِلَى كُلِّ مَنْ لَمْ يَدْرِكُهُمْ قَلْمَيِّ ، أَقُولُ لَهُمْ بَعْدَتُمْ وَلَمْ يَبْعُدْ عَنِ الْقَلْبِ حِكْمَ وَأَنْتُمْ فِي الْفَوَادِ حَضُورٌ
إِلَى أَسَانِدِي وَكُلِّ مَنْ كَانَ لَهُ الْفَضْلُ فِي هَذَا النَّجَاحِ ...

بن حامد سماح

أهداهم

الحمد لله الذي بنعمته تتم الصالحات ، و الصلاة و السلام على الرحمة المهداة ، سيدنا محمد صلى الله عليه وسلم

أهدى ثمرة جهدي إلى والدائي ، أسئل الله أن يرزقهما حجة طاهرة

إلى التي علمتني العطاء..إلى من بسمتها غايتها..وتحت أقدامها جنتي

"أمي الحبيبة" حفظها الله

إلى من سعى وشقى لأنعم بالراحة والهباء القلب الكبير

"أبي الغالي" حفظه الله وأطال في عمره.

إلى سndي و قوتi و ملادي بعد الله إخوتي :

عزوتi و سعادتi ، عmad حياتi : "عمad الدين"

أختي توأم روحي غالينتي و نصفي الثاني : "راوية"

قطوسة البيت ، الصغرونة : "ضحي" وردة القلب

إلى درعي في هذه الحياة في حلوها ومرها "عيدو"

إلى بوصلة القلب "عمتي" حبيبتي و أمي الثانية

إلى الأستاذة المشرفة "رقية شربi" حفظها الله ورعاها

إلى زميلتي في البحث و حبيبتي و أختي "سماح"

إلى من أهنتني الدنيا صحبتهم و جمعتني بهن أجمل الصدف حبيباتي" ريان ، مروة ، رامية ، زينب ، إيمان ، منال " و جميع

صديقاتي حبيبات قلبي ، أدامكن الله

إلى رائحة من امي واسم آخر للحب : "خالي و خالاتي العزيزات ، و أولادهم "

إلى من آثروني على أنفسهم : "أعمامي و أولادهم"

إلى الأرواح الطاهرة "أجدادي" رحمها الله

وإلى كل من جمعني الله و إياهم في حبه أسائل الله أن ينيركم بنوره و يحفظكم برعايته

ولله الحمد على هذا ...

حمي نسرين

شكراً و تقدير

قال تعالى : {رَبُّكُمْ مَنْ كُنْتُمْ تَعْمَلُونَ} أَمْنَوْا مِنْكُمْ وَأَذْنَيْنَ أُوتُوا الْعِلْمَ دَرَجَاتٍ } صدق الله العظيم

الحمد لله حمداً يليق بسلطانه العظيم وبوجهه الكريم حمداً كثيراً طيباً مباركاً فيه
اللهم لك الحمد حتى ترضى ولك الحمد إذا رضيت ولك الحمد بعد الرضى
و الصلاة والسلام على أشرف المرسلين وخاتم النبيين سيدنا محمد وعلى آله وصحبه أجمعين

" من لم يشكر الناس لا يشكر الله "

اللهم ليس بجهدي واجتهادي إنما بتوفيقك وكرمك وفضلك على

و من هذا المنبر ، نتوجه بجزيل الشكر والامتنان إلى كل من ساعدنا من قريب أو من بعيد على إنجاز هذا العمل وفي تيسير ما واجهناه من صعوبات ، ونخص بالذكر الأستاذة "شربي رقية" التي لم تبذل علينا بتوجيهاتها ونصائحها القيمة التي كانت عنواناً لنا في إتمام هذا البحث فكانت نعم المشرف ونعم النصوح وفقها الله لما يحب ويرضى .

كما نتقدم بجزيل الشكر لكل من الأستاذة "مizioob" على وقته و جهده الذي فضل علينا كثيراً بهما، فشكراً له و نتمنى له السداد والتوفيق بذكر أيضاً الأستاذة "رحيم" و "زنخري" لما جادل علينا به من نصائح قيمة .

وأختم شكري الخالص لجميع أفراد عائلتنا والزملاء والزميلات في هذه الدفعة . وفقها الله لما فيه الخير من النجاح والتوفيق

اللهم سهل ويسر لنا وافتح لنا من أبواب علمك ، اللهم آمين الحمد لله رب العالمين

ملخص :

الهدف من هذا العمل هو دراسة خصائص بعض مركبات الفلافونويد بالاعتماد على طرق النمذجة الجزيئية من خلال وضع قاعدة بيانات شاملة للخصائص الفيزيوكيميائية لبعض المركبات من الفلافونويد ، وتشمل دراسة الخصائص البنية - فاعلية QSAR ل 70 مركب من الفلافونويد لديهم نشاط مضاد للأكسدة . هاته الخصائص كالمساحة السطحية، الحجم المولى، طاقة التميم، الإنكسارية ، الإستقطابية ومعامل التجزئة $\log P$ التي تقيس القدرة الدوائية والفعالية البيولوجية للمركبات، بالإضافة إلى دراسة مستويات الطاقة HOMO و LUMO ، وكذا شحنة ذرات البنية الأساسية ، طول روابطها و قيس زوايا الذرات المكونة لها والتي تدل على مدى الفعالية الكيميائية للأدوية المدروسة. تم استخدام طريقة الـ MM+ والـ PM3 لإيجاد العلاقة بين الخصائص الجزيئية ونشاط الفلافونويد

نمذاج QSAR المتحصل عليه تربط بين الخصائص الفيزيو- كيميائية و التركيز التثبيطي النصفي (IC 50) المضاد لخلايا الفلافونويد ، وقد بينت الدراسة أيضا، تأثر القيم المقاسة عند تغيير المستبدلات من الجذور في الهيكل النكليوزيدي الذي يعتبر العامل المشترك والبنية الأساسية لذرات المركبات. وهذا هو الهدف من هذا العمل.

الكلمات الدالة : النمذجة الجزيئية

Résumé

L'objectif de ce travail est d'étudier les propriétés de certains flavonoïdes sur la base de méthodes de modélisation moléculaire en développant une base de données complète pour les propriétés physico-chimiques de certains composés flavonoïdes, et l'étude des propriétés structurales - activité de QSAR pour un composé de flavonoïdes qui ont activité antioxydante et propriétés telles que la surface, le volume molaire, l'énergie d'hydratation, l'indice de réfraction, la polarité et le coefficient de fragmentation $\log P$ qui mesurent la capacité pharmacologique et l'activité biologique des composés, en plus d'étudier les niveaux d'énergie de HOMO et LUMO, ainsi que le charge des atomes de la structure de base, la longueur de leurs liaisons et la mesure des angles de leurs atomes constitutifs Ce qui indique l'efficacité chimique des médicaments étudiés. La méthode MM + et PM3 a été utilisée pour trouver la relation entre les propriétés moléculaires et l'activité des flavonoïdes. Les modèles QSAR obtenus relient les propriétés physico-chimiques et la concentration semi-inhibitrice (IC 50) contre les cellules flavonoïdes. L'étude a également montré, l'effet des valeurs mesurées lors du changement des substituants des racines dans La structure nucléosidique, qui est le facteur commun et la structure de base de ces composés. Et c'est le but de ce travail...

Mots clés : Modélisation moléculaire HOMO, LUMO, QSAR.

Summary :

The aim of this work is to study the properties of some flavonoids based on molecular modeling methods by developing a comprehensive database for the physicochemical properties of some flavonoid compounds, and the study of the structural properties - activity of QSAR for a 70 compound of flavonoids that have antioxidant activity and such properties as surface area, volume Molar, hydration energy, refractive index, polarity and $\log P$ fragmentation coefficient that measure the pharmacological capacity and biological activity of compounds, in addition to studying the energy levels of HOMO and LUMO, as well as the charge of atoms of the basic structure, the length of their bonds and the measurement of the angles of their constituent atoms Which indicates the chemical effectiveness of the studied drugs. The MM + and PM3 method was used to find the relationship between the molecular properties and the activity of flavonoids. The obtained QSAR models link the physico-chemical properties and the half inhibitory concentration (IC 50) against flavonoid cells. The study also showed, the effect of the measured values when changing the substituents from the roots in The nucleoside structure, which is the common factor and the basic structure of those compounds. And this is the aim of this work...

Key words: Molecular modeling HOMO, LUMO, QSAR.

الفهرس

I	الإهداء
III	شكر و تقدير
	الملخص
IV	الفهرس
VI	قائمة الأشكال
VII	قائمة الجداول
VIII	قائمة المختصرات
أ	مقدمة عامة

الجزء النظري

الفصل الأول: الفلافونويادات

3	1.I . مقدمة
3	2.I . تعريف الفلافونويد
4	3.I . بنية الفلافونويد
4	4.I . أقسامها
7	5.I . مصادر الفلافونويادات
7	6.I . الفعالية البيولوجية لمركيبات الفلافونويد
8	7.I . بعض خصائص الفلافونيد
8	8.I . فعالية الفلافونويادات المضادة للأكسدة
9	9.I . مركيبات الفلافونويد التي تمتلك نشاطا مضادا للبكتيريا
9	10.I . الفعالية المضادة للفطريات من مركيبات الفلافونويد
10	11.I . الفعالية المضادة للحساسية
10	12.I . الفعالية المضادة للإلتهابات
10	13.I . الفعالية المضادة للسرطان لمركيبات الفلافونويادات
11	14.I . النشاط المضادة للفيروسات من مركيبات الفلافونويد
12	15.I . المراجع

الفصل الثاني: النمذجة الجزيئية

19	1.II . مقدمة
19	2.II . تعريف النمذجة الجزيئية
20	3.II . أهداف النمذجة الجزيئية
20	4.II . طرق النمذجة الجزيئية
20	1.4.II . ميكانيكا الكم (MQ)
21	1.1.4.II . المبادئ الأساسية لميكانيكا الكم (MQ)
21	* معادلة شرودنغر Schrödinger
22	* تقريب بورن-أوبنهايمير (Born-Oppenheimer)
23	* معادلة هارتري-فوك (Équations de Hartree-Fock)
23	2.1.4.II . طرق ميكانيكا الكم
23	أ. طريقة الحل الشامل (Ab-initio)
24	ب. نظرية الكثافة الوظيفية (DFT)
25	2.4.II . الطريقة النصف التجريبية (sem)
26	3.4.II . الطرق التجريبية (الميكانيكا الجزيئية (MM))
27	* طرق الميكانيكا الجزيئية
28	* أنواع طرق الميكانيكا الجزيئية

29.....	* الطاقات في الميكانيكا الجزيئية.....
29.....	* إستخدامات و إمكانيات الميكانيكا الجزيئية.....
29.....	أ. إستخداماتها.....
29.....	ب. إمكانياته.....
29.....	4.4.II أ. مبدأ الديناميكا الجزيئية DM
29.....	4.4.II ب. إنجاز (أو تطبيق) حساب DM
30.....	5.II 5. تطبيقات الكيمياء الحاسوبية.....
30 ... Molecular et Etude.....	1.5 II 1.5. معاينة و دراسة البنية الجزيئية.....
31.....	2.5 II 2.5. توليد بنى (هياكل) كيميائية.....
31.....	2.5.II 2.5. الفعالية الكيميائية.....
31.....	3.5 II 3. نمذجة تداخلات المستقبل الدوائي.....
31.....	5.5.II 5. المطابقيات.....
32.....	6.5.II 6. التفاعلات الجزيئية (Docking (Molecular Interaction)).....
32.....	7.5.II 7. المدارات الجزيئية الحدودية HO-LUMO.....
32.....	8.5.II 8. تحديد الخصائص لجزئية.....
33.....	6.II 6. بعض إستخدامات النمذجة الجزيئية.....
33.....	7.II 7. حدودية النمذجة الجزيئية.....
53.....	7.II 7. العلاقة بنية- فعالية QSAR.....
34.....	8-II 8-II- بعض خصائص QSAR.....
34.....	1-8-II 1-8-II- بعض خصائص QSAR.....
37.....	المراجع.....

الجزء التطبيقي

الفصل الثالث: نمذجة جزيئية للفلافونيدات

43.....	1.III 1. الأجهزة والبرامج المستعملة.....
43.....	1.1.III 1.1. البرامج.....
44.....	2.1.III 2. الأجهزة.....
44.....	2.III 2. خطوات و طريقة العمل.....
46.....	3.III 3. قاعدة البيانات.....
87.....	الخلاصة عام.....
88.....	المراجع.....

قائمة الأشكال

الصفحة	العنوان	رقم الشكل
3	صورة للفواكه و الخضار الغنية بالفلافونويدات	الشكل رقم I – 1
4	البنية الأساسية للفلافونويد	الشكل رقم I – 2
4	Flavones	الشكل رقم I – 3
5	Flavonone	الشكل رقم I – 3
5	Flavonole	الشكل رقم I – 5
6	انطوسينيدين	الشكل رقم I – 6
6	CHA LCONE	الشكل رقم I – 7
6	AURONE	الشكل رقم I – 8
6	ISOFLAVON	الشكل رقم I – 9
11	HIV	الشكل رقم I – 10
21	الكتافة الإلكترونية لجزئية الفينول	الشكل 1-II
32	المدارات الجزيئية HOMO و LUMO	الشكل رقم 2-II
43	واجهة برنامج ChemDraw	الشكل 1-III
44	واجهة برنامج HyperChem	الشكل 2-III
45	البنية الأساسية للفلافونويد ببرنامج Chemdraw	الشكل رقم 3-III
45	البنية الأساسية للفلافونويد ببرنامج Hyperchem	الشكل رقم 4-III
46	البنية الأم للفلافونويد	الشكل رقم 5-III
62	بنية الفلافونويد مع الجذور	الشكل رقم III - 6
74	البنية الأساسية للفلافونويد مرقمة	الشكل رقم 7-III -

قائمة الجداول

الصفحة	العنوان	رقم الجدول
5	تسمية ال Flavones حسب تغير الجذور R.	الجدول رقم I - 1
5	تسمية ال Flavonone حسب تغير الجذر R	الجدول رقم I - 2
5	تسمية ال Flavonole حسب تغير الجذور R	الجدول رقم I - 3
6	تسمية ال ISOFLAVON حسب تغير الجذور R	الجدول رقم I - 4
28	عبارات طاقات التفاعل	الجدول رقم II - 1
46	المركبات الفلافونيدية المدرosaة	الجدول III - 1
61	قيم الطاقة E1(MM+) ، E2(PM3) لمركبات الفلافونويد	الجدول III - 2
62	الجذور R4'R2';R3';R4';R1;R2;R3;R' الثمانية للمركبات المدرosaة	الجدول رقم III - 3
74	قيم شحنة الذرات للبنية الأساسية للمركبات المدرosaة للفلافونيد	الجدول رقم III - 4
75	قيم أطول الرابط للبنية الأساسية للفلافونيد بالانغستروم (A°)	الجدول رقم III - 5
75	قيم أقياس الزوايا للبنية الأساسية للفلافونيد	الجدول رقم III - 6
76	أقياس ثلاث روابط للبنية الأساسية للفلافونيد	الجدول رقم III - 7
76	نتائج العلاقة بنية فاعلية (QSAR) للمركبات المدرosaة بطريقة PM3	الجدول رقم III - 8
80	نتائج طاقة HOMO و LUMO و عزم ثنائي القطب و الحسابات	الجدول رقم III - 9
82	نتائج طاقة HOMO و LUMO والفرق بينهما و عزم ثنائي القطب و الحسابات للمركبات من المرجع رقم 15	الجدول رقم III - 10
63	معايير Drug-likeness للمركبات المدرosaة	الجدول رقم III - 11
84	معايير Drug-likeness للمركبات المدرosaة من المرجع رقم 15:	الجدول رقم III - 12
86	قيم ال IC(50) بوحدة الميكرو مولاري (μM)	الجدول رقم III - 13

قائمة الاختصارات :

الاختصار	الاسم الكامل باللغة الأجنبية
ROS	Reactive oxygen species
HIS	Human immunodeficiency virus
Hvs	Herpes simplex virus
CNDO	Complete Neglect of Differential Overlap
PM3	Parameterized Method 3
MQ	Méthodes Quantiques
MM	Mécanique Moléculaire
DFT	Density Functional Theory
IR	Infra Rouge
HF	Hartree-Fock.
MNDO	Modified Neglect of Diatomic Overlap
Zindo	Zener's Intermediate Neglect of Differential Overlap 2903
Indo	Intermediate Neglect of Differential Overlap
SAM1	Semi-ab initio Model 1
AM1	Austrin Model 1
AMBER	Assisted Model Building with Energy Refinement
CHARMM	Chemistry at Harvard Macromolecular Mechanic
OPLS	Optimised Potentials for Liquide Simulation
MMFF	Merck Molecular Force Field
UFF	Universal Force Field
DM	Dynamique Moléculaire
HOMO	Highest Occupied Molecular Orbital
LUMO	Lowest Unoccupied Molecular Orbital.
QSAR	Quantitative structure-activity relationships

قائمة الرموز :

الرمز	الاسم الكامل باللغة العربية
Ψ	دالة موجية تصف النظام الكمومي
\hbar	ثابت بلانك المخض
\hat{H}	معامل هاميلتون يصف الطاقة الكلية لكل دالة موجية معتبرة

مُهَمَّةٌ عَامَّةٌ

مقدمة عامة :

الكيمياء علم يبحث في دراسة المواد من حيث تركيبها و خواصها و تفاعلاتها مع بعضها البعض بهدف إنتاج نتائج جديدة. فهي واحدة من أهم ما عرفه الإنسان، إذ عرفت تطورا باهرا منذ اكتشافها ولا تزال .

علم الكيمياء سهل الطريق أمام التقدم و التطور وقد هذه الأخيرة من أهم العلوم التي تعتمد عليها جل العلوم الأخرى. [1] ، حيث ظهرت لها فروع كثيرة تستخدم تقنيات كيميائية و تقنية اكثر تطورا. من أهمها الكيمياء الحاسوبية الجديدة والتي تستخدم في دراسة الأدوية المستخدمة لعلاج الامراض و الفيروسات و كذا تأثيراتها الحيوية المختلفة.

الكيمياء الحاسوبية هي شعبة جديدة ظهرت في أوائل القرن العشرين و قد تزامن ظهورها مع تطور ميكانيكا الكم و قد تطورت و زادت شعبيتها أكثر مع التحسينات في تقنيات الحاسوب المختلفة، كما تعد همزة وصل بين علوم الحاسوب و علوم الكيمياء ذلك للوصول إلى حلول سريعة و عاجلة لبعض المسائل التي يتعرض لها الكيميائي [2] . حيث أحدثت أجهزة الكمبيوتر ثورة في النمذجة الجزئية .

إن جزيء نمذجة بواسطة شكل أو لهندسة بياني عرض عموماً تعطي الحاسوب جهاز نظرية طريقة تطبيق بعد الجزي [3] [4] . فالكيمياء الحاسوبية و النمذجة الجزئية تستخدم للنمذجة و محاكاة الحاسوب و النظم الكيميائية والبيولوجية الصغيرة ذلك و فهم سلوكهم و التنبؤ به على المستوى الجزي و كذا لحل المسائل الكيميائية حيث تمكن في نتائجها من ايجاد حلول نظرية تقريبية و عملية من أجل فهم و دراسة الكثير من الأنظمة الكيميائية المختلفة . لديها مجموعة كبيرة من التطبيقات في تخصصات مختلفة من العلوم الهندسية ، مثل علم المواد ، الهندسة الكيميائية و الهندسة الطبية الحيوية ...غيره و ، تعد فرع من الكيمياء وتشكل علما متداخلا بين كل من الكيمياء ، علوم الحاسوب، الفيزياء، والرياضيات،

النمذجة الجزئية (الجزئية الديناميكا و الجزئية الميكانيكا) في الحقيقة ، هي مصطلح عام يجمع تقنيات مختلفة للوصف الجزيئي . فالكيمياء الحاسوبية تسمح بعرض و محاكاة و تحليل و حساب و تجميع خصائص الجزيئات ، كما بت تسمح أيضا بتحديد بنية و طاقة الجزيئات . [5]

لقد أصبحت الدراسات الحاسوبية حاليا لأي مركب أو تفاعل من أهم طرق البحثية لدراسة مختلف الجوانب الخاصة به و معرفة إمكانية تطبيقه و الحصول على النتائج أفضل و دقة أكثر [6] ، فيعتمد عليها في حل المسائل الكيميائية ، و لها جانب نظري إذ تهدف لابتكار تقريرات رياضية فعالة لحل مسائل الكيمياء النظرية و وضع خوارزميات و برامج حاسبية لحساب خواص الجزيئات المختلفة. مثل الطاقة الكلي، التواترات و غيره . و بهدف إيجاد علاقة بين التجارب الكيميائية و المسائل الكمية لجأ الكيميائيون إلى التجارب النظرية تدعى هذه الأخيرة بالنمذجة الجزئية .

و هي تقنية جديدة تختص بنمذجة الهياكل الجزئية للمركبات المعقدة خاصة الأدوية [7]. برامج النمذجة و هي الجزئية هي علم يهتم بتطبيق كل من الأسس النظرية والرياضية في حل المسائل و إيجاد الحلول، كما أنها إحدى تطبيقات هذا العلم، إذ يمكن من خلالها التنبؤ وإيجاد عدة خصائص. [6] ، تساعد أيضا

في تقديم معلومات حول هندسة وشكل الجزيئي ، وإعطاء بعض الخصائص الفيزيوكيميائية (على سبيل المثال الشحنة والإستقطابية ، الحجم و السطح الجزيئي ...) ، إضافة إلى طاقة الجزيئات . [8]

إذ تمثل تطبيق للأساليب النظرية والحسابية في آن واحد للوصول إلى حلول المشاكل التي تنتهي على كل من البنية الجزيئية والتفاعل الكيميائي أو النشاط البيولوجي .

ولاستعمال هذه التقنية بشكل ناجح وجيد يجب فهم البرامج المتوفرة واللازمة في الحاسوب ومعرفة كيفية استخدامها من للحصول على نتائج دقيقة ومقارنتها مع المعطيات الأولية . [7].

نجد مما سبق ذكره أنه وبفضل اجتهاد الكيميائيين النظريين و الباحثين قد تتبئوا و إستطاعوا التأكيد او اعادة دراسة وتفسير التجارل عن طريق النمذجة الجزيئية خاصة بعد التطور الذي شهدته العتاد والموارد الحاسوبية التي بدورها تلعب دور جد مهم و فعال لصالح الكيمياء النظرية وتطبيقاتها.

تطرقنا في موضوعنا هذا على النمذجة الجزيئية البعض المركبات المضادة للأكسدة بإستعمال ، حيث تطرقنا في هذه الدراسة على مركبات الفلافونويد التي

و نظرا للأهمية البالغة التي يحملها هذا الموضوع من رؤى و نظريات و كذا نتائج جد مهمة في مجال الكيمياء ، وضعنا بين أيديكم هذا البحث المتواضع الذي يتضمن في طياته ثلات فصول ، حاولنا المرور فيها بكل ما يخص بالموضوع . لتسهيل الدراسة قسمنا العمل في هذه المذكرة إلى جزئين ، جزء نظري و جزء تطبيقي إحتوى كل منهما على :

الجزء النظري :

✓ **الفصل الأول :** بعنوان مركبات الفلافونويد ، الذي تناولنا فيه شرح للمفاهيم الأساسية للفلافونيدات وكان عبارة عن دراسة عامة لهاته المركبات ، تركيبها الكيميائي

✓ **الفصل الثاني :** أخذ عنوان النمذجة الجزيئية ، تطرقنا فيه لدراسة النمذجة الجزيئية وأين تكمن استخداماتها وإمكانياتها وحدوديتها وكل ما يخص النمذجة الجزيئية ومختلف طرقها والبرامج المستعملة فيها.

الجزء التطبيقي :

✓ **الفصل الثالث :** كان بعنوان نمذجة جزيئية ل مركب من الفلافونويد ، ، تضمنت البرامج والوسائل المستعملة و طريقة حساب بعض الخصائص للمركبات المدرستة في هذا البحث ، وقد تم فيه عرض و تحليل لنتائج الدراسة و مناقشتها. مناقشة الحسابات المتحصل عليها .

المراجع :

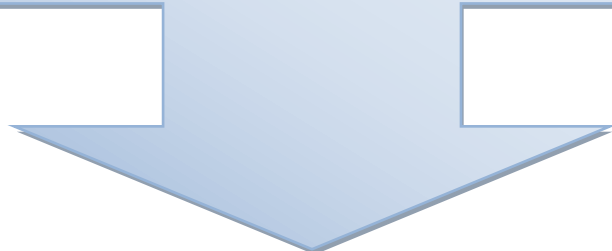
❖ المراجع باللغة اللاتينية :

01. Sylvain Dalençon; Synthèse d'analogues de nucléosides à quatre et six chaînons et incorporation d'analogues cyclobutyliques dans un motif oligonucléotidique antisens. Approche vers la synthèse de composés galactosyl-pyrrolo-pyridinones. thèse de doctorat Université du Maine U.F.R des Sciences et Techniques. 2010,pp
02. E.N.C.H.CHEM, HyperChem Computational Chemistry, in Practical Guide Theory and Methods, I. Hypercube, Editor 1996: CANADA. P. .366
03. 1. S. Belaidi, thèse de doctorat, Batna, 2002.
04. 2. Z. R. Boissier, J. Asselimean, J .P. Zalta "Les antibiotiques, structures et exemples de mode d'action" Herman.Paris.1993.
05. 3. J. Gharbi-Benarous, N. Evrard-Todeschi, P. Ladam, G. Bertho, M
06. B. Liu, Ab initio potential energy surface for linear H₃. The Journal of Chemical Physics, 1973. 58(5): p. .1937-1925
07. Dalal HARKATI.; Etude de la structure et des propriétés physicochimiques associées, de quelques molécules bioactives à intérêt pharmaceutique, thèse de doctorat, université de Mohamed Khider Biskra,2013,pp
08. J. E. M. N .Klein, R.Taylor, J. K. Eur. J. Org. Chem. 2011, .6841-6821.

الجزء النظري

الفصل الأول

الغلاف والتيدات



١-II- مقدمة :

اعتمد العلماء على مركبات الفلافونويد كمصدر أساسى لمحاربة الأمراض الناتجة عن الأكسدة فهى عبارة عن مضادات أكسدة تحمى خلايا الجسم من الجذور الحرة، والتي تنتج عند تكسير الجسم للطعام ، أو عند التعرض إلى دخان التبغ أو الإشعاع . فهذه المركبات تتواجد على نطاق واسع في المملكة النباتية [1] ، وتمثل مكونا مشتركا في النظام الغذائي للإنسان [2] كما يعتقد الكثير أن هذه المركبات تعزز البقاء الفيزيولوجي للنباتات وتحميها [2] [3] إذ تساعد خصائص الفلافونويد المضادة للأكسدة والمخلبة في الوقاية من الأمراض المزمنة وال المتعلقة بالعمر . Schroeter et al , 2002 .

بالإضافة إلى ذلك فهي تشارك في التحسس الضوئي، ونقل الطاقة [4] وبالنظر إلى انتقائية هذه المركبات للإنزيمات دقيقة النواة نجد أنها تختلف من مركب إلى آخر [4] [2] فقد تم الإبلاغ عن امتلاكها للعديد من الخصائص المفيدة، فأصبحت موضوعا للبحث الطبي

فما هي الفلافونيدات؟ وما هي خصائصها؟

٢-II- تعريف الفلافونويد:

هي عبارة عن مركبات عضوية طبيعية تأتي على شكل متعدد الفينول بالإنجليزية (flavonoids) ومن الإغريقية (flavian) اللون الأصفر قابلة للانحلال في الماء، حيث ينتجها الإستقلاب الثانوى للنبات، فهي صبغات نباتية مسؤولة عن ألوان الأزهار والفواكه وأحيانا بعض الأوراق، غنية بالنشاط المضاد للأكسدة و المضاد للجذور الحرة بجرعات معينة تستخدم الفلافونيدات على نطاق واسع في الدول الأوروبية، فهي موجودة في كل مكان في خلايا التمثيل الضوئي و بشكل شائع في الخضروات و الفواكه و المكسرات و البذور، إذ تقوم بحماية النباتات من التأثير الضار للأشعة فوق البنفسجية و الطفيليات ما يميزها أنها تملك أكثر من 5000 نوع من المركبات التي تحدث بشكل طبيعي من نباتات مختلفة [5] حيث تتواجد بتركيز عالية في القسم الهوائي للنبات.



الشكل رقم I – 2 : صورة للفواكه و الخضار

توجد في معظم الأصناف النباتية خاصة الراقيّة منها، وهي واسعة الانتشار عند كاسيات البذور، متوسطة الحضور عند عاريّات البذور و شبه منعدمة عند الطحالب [6] كما وجدت عند الحزازيات[7]، كذلك عند نباتات أحاديّة الفلق، و تعتبر كأدلة تشخيصية لدوّات الفلقتين و تتواجد الفلافونيدات حالة وجودها في صورة أجيликونات (aglycones) على الأنسجة السطحية للأوراق حيث تكون ملزمة لمواد مفرزة هي الأخرى ليبوفيلية و هو حال نباتات المناطق الجافة و شبيه الجافة [8]، و عموماً توجد أغلب الفلافونيدات

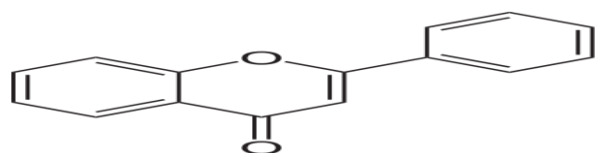
في النباتات بشكل محمي (ايترورزيدات) بينما توجد الأجليكونات في الأنسجة النباتية الميتة (نتيجة التميء الحمضي المحفز بواسطة الإنزيمات) وكذلك في خشب الأشجار [9] .

3-II- بنية الفلافونيد :

تعد الفلافونيدات مستقبلات ثانوية يتم تصنيعها بشكل رئيسي بواسطة النبات لها بنية كيميائية عامة في شكل هيكل عظمي مكون من 15 كربوناً موزعاً على ثلاثة حلقات ، حلقتين بنزين عطريتين A و B تربطهما حلقة (ثلاثية الكربون) غير متجانسة C تحتوي على عنصر الأكسجين [18] وتكون على شكل النموذج C6-C3-C6 و يحمل اسم نواة «فينيل بنزوبuran». شكل رقم (01)

الحلقة A ناتجة عن تكافف وحدات الخلات ، والحلقة B مع ذرات الكربون 2,3 و 4 ناتجة عن مشتق حمض السيناميك ، يتم تقسيم هذه المركبات على حسب موضع التحام الحلقة (C3) (C3) وعدم تشعبها واعتماداً على التركيب الكيميائي إلى ثلاثة أقسام [10]

- على الكربون رقم 2: الفلافونيد-2 benzopyrans flavonoids-2
- على الكربون رقم 3: الايزوفلانويد-3 isoflavonoids-3
- على الكربون رقم 4 : neoflavonoids-4 benzopyrans neoflavonoids-4

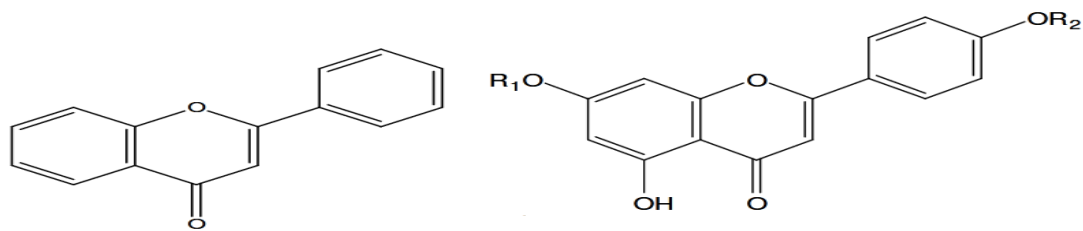


الشكل رقم I - 2 : البنية الأساسية للفلافونيد

4-II- أقسامها :

يتم تقسيم الفلافونيدات حسب درجة تأكسد الحلقة الإلاروماتية "C" وعلى حسب ارتباطها بالحلقة A . كما يمكن تصنيفها وفقاً لأصل التحليق الحيوي لبعض الفئات مثل (الكالكون، فلافانون، فلافان-3-أولس، فلافان-4-3-ديول) ، حيث يمكن تلخيصها في النقاط التالية :

1. **اللافون flavones**: إذا كانت الرابطة 2-3 غير مشبعة و استبدل الموقع 4 بمجموعة كربونيل وكان بإمكان الحلقة B أن تتوارد في الموقع 2 فالمركب هنا يسمى فلافون .

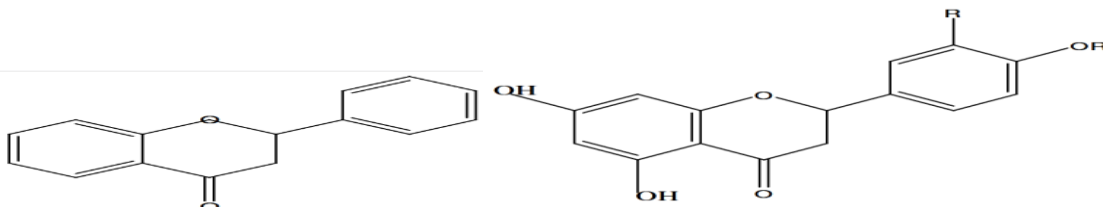


الشكل رقم 3- Flavones :

الإسم	R1	R2
Genkwanine	CH3	H
Acacétine	H	CH3
Apigénine	H	H
7,4'diméthoxyapigénine	CH3	CH3

الجدول رقم I - 1 : تسمية ال Flavones حسب تغير الجذور R.

2. **الفلافون**: إذا كانت الرابطة C2-C3 في هيكل الفلافون مشبعة يسمى المركب فلافانون . قد يحتوي بناها على وحدات سكرية على هيئة سكر أحادي أو ثنائي أو أكثر.

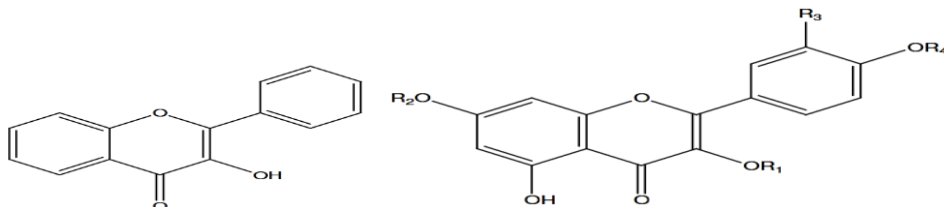


الشكل رقم I - 4 - Flavonone

الإسم	R
Naringenin	H
Eriodictyole	OH

الجدول رقم I - 2 : تسمية ال Flavonone حسب تغير الجذر R

1. **الفلافونول**: إذا وجدنا مجموعة هيدروكسيل (OH) حرة أو مستبدلة (OR) في الموقع (3) لمركب الفلافون نسمى المركب الناتج بالفلافونول وهو النواة الأساسية للعديد من المركبات الفلافونيدية.

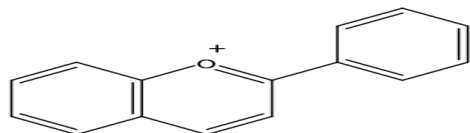


الشكل رقم I - 5 - Flavonole

الإسم	R1	R2	R3	R4
Quercétine	H	H	OH	H
Quercétine -3-glycoside	Glycoside	H	OH	H
Kaempferole	H	H	H	H

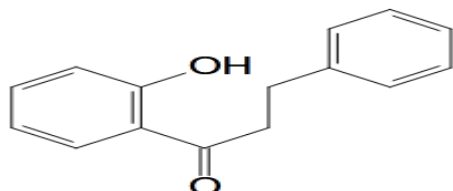
الجدول رقم I - 3- : تسمية ال Flavonole حسب تغير الجذور R

2. انطوسينيدين : عند وجود رابطة ثنائية في الموقع C4-C3 وكذاك في الموقع C2-O1 وغياب الوضعيّة السيتونية في الموقع 4 والتواجد على شكل أملاح فانها تسمى انطوسينيدين.



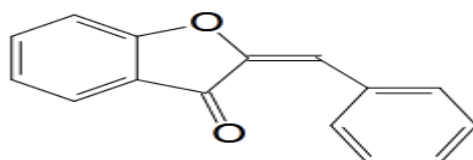
الشكل رقم I - 6: انطوسينيدين

3. الشالكون CHALCONE : مركبات تكون مقابلة للفلافونيدات وتكون مفتوحة أي غياب الحلقة "C" كما يمكن أن تكون فيها الرابطة C2-C3 مشبعة لتعطي ثالثي الهيدروشالكونات.



الشكل رقم I - 7 - I: CHALCONE

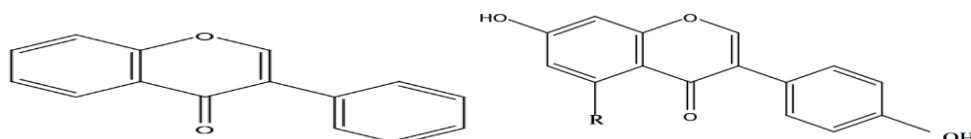
4. الأرون AURONE : تكون فيها الحلقة C خماسية.



الشكل رقم I - 8 : AURONE

5. نيو فلافن ISOFLAVON : اذا وجد استبدال بين مجموعة الكربونيل والمجموعة B في هيكل الفلافونون فان المركب يسمى نيو فلافن ، والذي تم عزله من عدة أنواع للعائلة البقولية [11]

6. ايزو فلافن : وهي لا تختلف في بنائها عن الفلافونات إلا باختلاف ارتباط الحلقة B حيث تتواجد في الموضع رقم 3 . ويعود تاريخ اكتشاف أول ايزو فلافن formononetin كمركب طبيعي إلى منتصف القرن التاسع عشر [12] من جذور النبتة البقولية L. spinosa Ononis . ومع نهاية 2004 تم إحصاء ما يزيد عن 1600 ايزو فلافن أغلبها مفصول من العائلة البقولية [13] التي تعتبر ثالث أهم عائلة زهرية.



الشكل رقم I - 9 : ISOFLAVON

الإسم	R
Daidzeine	H
Genisteine	OH

الجدول رقم I - 4 : تسمية ISOFLAVON حسب تغير الجذور R

عند تحلل السلسلة الجانبية 2- فينيل من الفلافون إلى الموضع 3 فان المركب الناتج يسمى الأسيوفلافونون و الأيسوفلافونويد

II-5- مصادر الفلافونيدات:

إن من أهم مصادر الفلافونيدات نجد الغداء، إذ أنها تحتل معظم الخضر والفواكه والبذور فهي تحتوي على نسب هائلة مثل (البصل، الكرنب، الفاصولياء الخضراء، البروكلي، الهندباء البرية وكذا الكرفس، العنب، الرقوق، الليمون، البرتقال، اليوسفي، الجريب فروت، الخس وعصير الطماطم والفلفل الأحمر والحلو، الفراولة والفول، التفاح والعنب، عصير العنب والباسلة، الماش وفول الصويا، الجوز والكركم) لدينا على سبيل المثال كدالك :

1. **البقونس** : سواء كان طازجاً أو مجففاً ، يحتوي على مركبات الفلافون [14]
2. **العنب البري** : هو مصدر غذائي لأنثوسيانيدين . [14] [15]
3. **الشاي الأسود** : هو مصدر غني للفلافون 3-أولس الغذائية [14]
4. **الحمضيات** : تشمل مركبات الفلافونويد الحمضية هيسبيريدين (جيوكوسيد فلافلانون هسبيريتين) ، وكيرسيتيدين ، وروتين (جيوكوسيدات من فلافلونول كيرسيتيدين) ، فلافلون تانجريتين . تكون مركبات الفلافونويد أقل تركيزاً في اللب مقارنة بالقشور (على سبيل المثال ، 165 مقابل 1156 مجم / 100 جرام في اللب مقابل قشر اليوسفي الساتسوما ، و 164 مقابل 804 مجم / 100 جرام في اللب مقابل قشر الكليمنتين) . [16]
5. **كاكاو**: توجد مركبات الفلافونويد بشكل طبيعي في الكاكاو ، ولكن نظراً لأنها يمكن أن تكون مرة ، غالباً ما يتم إزالتها من الشوكولاتة ، وحتى الشوكولاتة الداكنة . [17] على الرغم من وجود مركبات الفلافونويد في شوكولاتة الحليب ، إلا أن الحليب قد يتداخل مع امتصاصها. [18] ومع ذلك فقد تم التشكيك في هذا الاستنتاج. [19] تحتوي قشرة الفول السوداني (الأحمر) على نسبة كبيرة من مادة البوليفينول ، بما في ذلك مركبات الفلافونويد. [20] [21]

أما بالنسبة للمكملاة الغذائية المتوفرة على الفلافونيدات يوجد عدة مستحضرات من أهمها :

- ✓ **كيراستين**: يؤخذ بمعدل 1500-500 مجم يوميا لعلاج العدوى الفيروسية .
- ✓ **جينستين**: يؤخذ بمعدل 4000 و 6000 مجم يوميا للوقاية من السرطان .
- ✓ **بيوفلافونيدات المركب**: يؤخذ بمعدل 5000-1000 مجم لعلاج مشاكل الدورة الدموية ودوالي الساقين .
- ✓ **بيكنوجينول برو أنثوسيانيدين** : يؤخذ بمعدل ما بين 50 و 100 مجم لعلاج اضطرابات الدورة الدموية التي تشمل التهابات الأوردة .
- ✓ **الكوركومين**: يؤخذ بجرعات 500 و 1500 مجم لعلاج الحساسية والتهاب المفاصل والربو والالتهابات .

II-6- الفاعلية البيولوجية لمركبات الفلافونويد : تتصف مركبات الفلافونيدات بأنها من الفينولات، فهي مركبات هيدروكسيلية ذات صفة حمضية ضعيفة الذوابان في القواعد القوية.

الفلافونيدات التي تحمل عدداً كبيراً من مجموعات الهيدروكسيل الحرة أو التي تحتوي على وحدات سكر بالصفة القطبية تتصف بأنها تذوب في المذيبات القطبية مثل الماء والإيثانول والميثانول وثنائي ميثيل سلفوكسيد والأسيتون . فعند وجود بقية السكر في جزء المركب يجعله أكثر ذوباناً. أما الأقل قطبية مثل الفلافونات التي تحمل عدداً من مجموعة الميتووكسيل فإنها تذوب في الكلوروفورم أو الإيثر .

فهناك بعض الفلافونيدات تستعمل كمبידات للحشرات وكمضادات حيوية مثل (الايزوفلافونات) . كما أن الفلافونيدات لها فعالية علاجية بسبب نشاطها الواقي اتجاه انخفاض سماحة الشعيرات الدموية والمتمثلة في خاصية الفيتامين P.

7-II- بعض خصائص الفلافونويد :

تمتلك الفلافونيدات عدة خصائص فعالة من بينها [22]:

- ✓ مضادة للأكسدة
- ✓ مضادة للالتهاب
- ✓ مضادة للفيروسات
- ✓ مضادة لتسنم الكبد
- ✓ مضادة للبكتيريا

فهي تعتبر فعالة بيولوجياً لتوفيرها في العديد من الأدوية التقليدية والنباتات الطبيعية .

8-II- فعالية الفلافونيدات المضادة للأكسدة :

تمتاز الفلافونيدات بخواصها المقاومة للتآكسد ولوجود مجموعات (OH) و يتلخص ذلك في :

- حماية الأنظمة المضادة للأكسدة داخل الخلية (Vitro In)
- التثبيط الإنزيمي و مخلبة الآثار المعدنية المولدة لـ ROS المسئولة عن إتلاف الأحماض النووية و ظهور الأورام السرطانية كما تتسبب تفاعلاتها المستمرة مع الفوسفوليبيد الغشائي في إتلاف الخلية. [23]
- أسر الجذور الأكسوجينية النشطة ROS مثل NO₂ و يتوقف هذا على مدى قابلية تحرير البروتونات من طرف الفلافونيد [24] ، وعلى العموم يتوقف اصطياد هذه الجذور على الصيغة الكيميائية للفلافونيدات و مستبدلاتها الهيدروكسيلية . [25]
- تعتبر الفلافونيدات كعوامل مرحلة قوية و تعمل على تكسير تسلسل التفاعلات الجذرية نتيجة لبنيتها المستقرة الناتجة عن ظاهرة الرنين الإلكتروني الناشئة عن الحلقات الأروماتية [26][27] وقد بينت الدراسات أن فعالية الفلافونيدات المضادة للأكسدة متعلقة بعدد وموقع مجامي الهيدروكسيل [27] منها تلك المستبدلة في الموقع 3 للحلقة C [28] و اورثوثائي هيدروкси،'4،'3 للحلقة B ، كما تعود مقاومتها للتآكسد لاحتواها على الرابطة المضاغفة في الحلقة C بين C3-C2 المترافق مع 4-الكريونيل [27] ، وجود OH في الموقع 3 و 5 بالإتحاد مع مجموعة الكريونيل 4 و الرابطة المضاغفة بين C3-C2 يزيد من فعالية أسر الجذور الحرة. [29] وفي دراسة L-Sim sub-Gwan وفي آخرون أثبت فيها أنه كلما زادت مجامي الهيدروكسيل في البنية الفلافونيدية زادت القدرة على أسر الجذور الحرة، ففي اختبار

للفلافونيدات الحاوية على الرابطة المضاعفة المترافقه مع مجموعة الكربونيل C-4 في الحلقة C

لكل من الفلافونات : Apigenine,Luteoline Chrysine

و الفلافونولات Kaempferole, Quercetine, Myricetine

Apigenine و Chrysine أبدى فعالية أقل من Luteoline و عند الفلافونولات لوحظ أن

Myricetine على 6 مجاميع OH أظهر فعالية أكبر من Quercetine ذو الخمس

مجاميع OH وهذا الأخير أكبر من Kaempferole ذو الأربع مجاميع. [30]

II-9- مركبات الفلافونويد التي تمتلك نشاطاً مضاداً للبكتيريا :

تم فحص المستخلصات الخام من النباتات التي لها تاريخ في الاستخدام في الطب الشعبي في المختبر من أجل النشاط المضاد للبكتيريا من قبل العديد من المجموعات البحثية.

كثيراً ما تم الإبلاغ عن العينات التي تحتوي على تركيزات عالية من الفلافونويد لإظهار نشاط مضاد للجراثيم [17] ، [31]. كما تم التعرف على بعض المستخلصات النباتية و المستحضرات الكيميائية النباتية التي تكون نسبة الفلافونويد بها عالية من أنواع [32] Capsella [33]، Hypericum ، [33] Chromolaena . وذلك من أجل اكتشاف النشاط المضاد للجراثيم [12] .

لقد قطعت العديد من المجموعات البحثية خطوة أخرى إلى الأمام و عزلت وحددت بنية مركبات الفلافونويد التي تمتلك نشاطاً مضاداً للبكتيريا ، ومن أمثلة عن مركبات الفلافونويد نجد الأjenin [34] ، بينوسيمبرين [35] ، جينكونين [36] ، [37] ، سوفورافلافانون G و مشتقاته [38] ، [39] ، [34] ، [53] ، [53] ، [49] ، مع نشاط مضاد للجراثيم تم تحديدها أيضاً أفاد بعض الباحثين بوجود تأثر بين مركبات الفلافونويد التي تحدث بشكل طبيعي والعوامل المضادة للبكتيريا الأخرى ضد سلالات البكتيريا المقاومة مثل يبيكاتشين جالاتي. [41][42] فقد أظهرت مجموعة واحدة على الأقل تأزراً بين مركبات الفلافونويد ذات النشاط المضاد للبكتيريا [43] . كما قام آخرون بتعديل مركبات الفلافون الطبيعية صناعياً وقاموا بتحليلها بحثاً عن نشاط مضاد للجراثيم [44] ، إذ قام وانج وزملاؤه بتجميع مركب 5-هيدروكسي-4،7-أوميثوكسي فلاون مع عدد من المعادن الانتقالية وأظهروا أن هذه العملية تزيد من النشاط المضاد للبكتيريا. أبلغت مجموعة أخرى عن زيادة النشاط المضاد للبكتيريا لـ 3- ميثيلينفلافانون عندما احتوت الحلقة B على بدائل البروم أو الكلور.

II-10- الفاعلية المضادة للفطريات من مركبات الفلافونويد :

نظراً لقدرة الفلافونويد المنتشرة على تثبيط إنبات الجراثيم لسببيات الأمراض النباتية ، فقد تم اقتراح استخدامها ضد مسببات الأمراض الفطرية للإنسان [11] . تم التعرف على فلاونون جديد تم عزله مؤخراً من شجيرة Eysenhardtia texana على أنه 3--'4,7,5-trihydroxy-8-methyl-6-(2S)-methyl-2-but-enyl-flavanone [45]. وقد ثبت أيضاً أن الفلافونويد 7-هيدروكسي-3 ، 4 - (ميثيلين ديوкси) ، المعزول من فشرة الفاكهة Terminalia bellerica ، يمتلك نشاطاً ضد C. albicans [45]. فلاونون جيديان من Artemisia giraldi ، تم تحديده على أنه 5'-trihydroxy-3-'4,7-dihydroxy-8-'5,5-dimethoxyflavone و 4'-trimethoxyflavone ، جنباً إلى جنب مع

Aspergillus trihydroxy-3'-4,7,5' dimethoxyflavone ، تم الإبلاغ عن [46] ، وهو نوع من الفطريات التي تسبب المرض الغازي في المرضى الذين يعانون من كبت المناعة [47] . نشاط البروبوليس ضد الفطريات الجلدية و Candida spp. يُعزى جزئياً على الأقل إلى محتواه العالي من الفلافونويد [48] . تم إثبات أن Galangin ، وهو فلافونول موجود بشكل شائع في عينات البروبوليس [49] ، له نشاط مثبط ضد Aspergillus tamarii ، A. flavus ، Penicillium italicum ، Penicillium digitatum ، Cladosporium sphaerospermum . [48]

13-II- الفاعلية المضادة للحساسية :

يعود هذا الفعل إلى تأثير الفلافونيدات على إنتاج histamine المسبب للحساسية و ذلك بتنبيطها لبعض ATPase Ca dépendante+2 AMP cyclique phosphodiesterase : ك المحفزة الأنزيمات فمثلا هذا الأخير يساعد على تحرير طاقة تسهل للأغشية الخلوية امتصاص الكالسيوم مما يسمح بتحرير histamine المخزن داخل الحويصلات. كما أثبتت الدراسات أن مركب quercétine أظهر قدرة أكبر من تلك التي لـ sodium de Cromoglycate و هو الدواء المستعمل لتنبيط histamine [50]

8-II- الفاعلية المضادة للالتهابات :

تحت تأثير (1) Cyclooxygenase و (2) lipooxygénase يحدث الأيض الذي ينتج عنه arachidonique acid Landolfi و فريقه أن بعض الفلافونيدات قادرة على تغيير مسار الاصطناع الحيوي لهذا الحمض داخل الصفائح الدموية [51] حيث ثبت أن كلاً من myricétine و quercétine في تراكيز عالية يثبطان الأنزيمين (1) و (2) أما عند تراكيز واطئة فيثطان الأنزيم (2) ، و بالنسبة للأنزيم (1) فيثبط كل من chrys و apigénine

11-II- الفاعلية المضادة للسرطان لمركبات الفلافونيدات :

الفلافونيدات عملها أنها تثبط الشقوق الحرجة وتعيقها فهي تملك القدرة الكافية للوقاية من الاصابة بالسرطان. يقول فراري "يمكنا الآن متابعة نشاط مركبات الفلافونويد في الجسم ، والشيء الوحيد الواضح هو أن الجسم يعتبرها مركبات غريبة ويحاول التخلص منها". "لكن عملية الاستعداد هذه للتخلص من المركبات غير المرغوب فيها تحفز ما يسمى بإنزيمات المرحلة الثانية التي تساعد أيضاً في القضاء على مسببات الطفرات والمواد المتسرطنة ، وبالتالي قد تكون ذات قيمة في الوقاية من السرطان.[52]

هناك القليل من الأدلة التي تشير إلى أن مركبات الفلافونيدات الغذائية تؤثر على خطر الإصابة بسرطان الإنسان بشكل عام . كما اقترحت مراجعة حديثة أن المدخل الغذائي من مركبات الفلافونيدات يرتبط بانخفاض خطر الإصابة بأنواع مختلفة من السرطانات، بما في ذلك سرطان المعدة والثدي والبروستاتا وسرطان القولون والمستقيم حيث أضاف فراري: أنه "يمكن أن تحفز مركبات الفلافونويد أيضًا آليات تساعد في قتل الخلايا السرطانية وتمكن غزو الورم".[62]

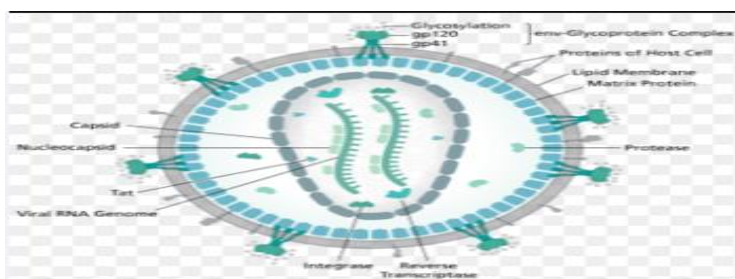
ووفقا لدراسة Bracke فإن لـ: catechine الموجود في كل أنواع الشاي خاصة الأخضر ، فعالية ضد- ورمية حيث يثبط activator plasminogen type-tissue (PA-t) و ذلك بربطه بـ:

laminine و هي جزئية تلعب دورا هاما عند موت الخلايا [53] ، كما أن هذا الفلافونيد يعزز من مقاومة Collagène [44] المنظم لنمو الخلايا و يثبط Collagènase [54]

إن quercétine أيضا تكبح تزايد نمو الخلايا و تغلق بعض المواقع المستقبلة للهرمونات [55] اذ يقول فراي إن مجرد العثور على مركبات الفلافونويد غير فعالة لأن مضادات الأكسدة في جسم الإنسان لا تعني أنها عديمة القيمة. يبدو أنها تؤثر بشدة على مسارات إشارات الخلايا والتعبير الجيني ، ذات الصلة بكل من السرطان وأمراض القلب.[52]

12-II- النشاط المضاد للفيروسات من مركبات الفلافونويد :

اجتمعت معظم التحقيقات في العمل مع جائحة سلالة HIV_1 وانزيماته ، حيث أظهرت مختلف الدراسات في المختبر أن البيكالين يثبط عدو فيروس العوز المناعي البشري -1 وتكاثره. فقد بين "لي" وزملاؤه تثبيط دخول HIV_1 إلى الخلايا التي تعبر عن مستقبلات CD4 ومستقبلات chemokine [56] ، ومناهضة النسخ العكسي لـ HIV-1 [57] بواسطة flavone O - glycoside . بيكلالين [58] . كما يعمل أيضا على تثبيط النسخ العكسي لفيروس HIV_1 اضافة الى ذلك فقد أثبتت الدراسات أن العديد من مركبات الفلافونويد تثبّط بروتيناز HIV_1 Robinetin [40] مثل الغاردينين المنزوع الميثيل A و 3،2'-ثنائي هيدروكسي فلاون. أما ال baicalein و quercetagetin [43] و [59] quercetin 3- O - (2 "-galloyl -α- 1 –arabinopyranoside فهي تعمل على تثبيط فيروس HIV-1 Integrase رقم (02).



الشكل رقم I - 10 : فيروس HIV

يوجد أيضا بعض المركبات تمنع تنشيط فيروس نقص المناعة البشرية -1- و المتمثلة في كريسين وأكاسيتين وأبيجينين وذلك عن طريق آلية جديدة ربما تتضمن تثبيط النسخ الفيروسي [56] .

قامت العديد من المجموعات البحثية بالتحقيق في العلاقة بين بنية الفلافونويد والنشاط المثبط ضد فيروس نقص المناعة البشرية -1- وإنزيماته [60] ، [40] ، [61] ، [62] ، [63] . علاوة على ذلك ، اقترحت مجموعتان على الأقل آليات عمل لتثبيط إنزيم HIV-1 [40] ، [61] .

مركبات الفلافونويد نشطاً مثبطاً ضد مجموعة متنوعة من الفيروسات الأخرى مثل فيروس الهرpes البسيط (HSV) والفيروس المخلوي التنفسى وفيروس شلل الأطفال وفيروس السند بيس [10] ، [64] ، فيروس الكوكساكي أيضا . كما أن هناك مركبات تمنع التكاثر الفيروسي لفيروس الهرpes البسيط وفيروس كورونا البشري والفيروس لعلجي [65] . إذا من خلال هذه الدراسات نجد أن مركبات الفلافونويد لها دور كبير في القضاء على العديد من الفيروسات.

المراجع :

❖ قائمة المراجع باللغة اللاتينية :

- [2] J.B. Harborne, H. Baxter The handbook of natural flavonoids, Vols 1 and 2, John Wiley and Sons, Chichester, UK (1999)
- [3] J.B. Harborne, C.A. Williams Advances in flavonoid research since 1992 Phytochemistry, 55 (2000), pp. 481-504
- [4] E. Middleton Jr., K. Chithan The impact of plant flavonoids on mammalian biology: implications for immunity, inflammation and cancer J.B. Harborne (Ed.), The flavonoids: advances in research since 1986, Chapman and Hall, London, UK (1993)
- [5] Ververidis F 'Trantas E 'Douglas C 'Vollmer G 'Kretzschmar G Panopoulos N.. / 10.1002 2007
- [6] Harborne J. B. (1989). The flavonoids, advances in research since 1980, eds Chapman and Hall, New York
- [7] Harborne J. B. (1975). Progress in phytochemistry, V. 5, eds. Swin, T Pergamon pres
- [8] Wollenweber, E. and Dietz, V. H. (1980). Biochem. Syst. Eco, 8, 21 4241013 a . 12944955 بمدد . S2CID 4381941
- [9] Harborne J. B. (1973). phytochemistry, 2, 334.
- [11] J.B. Harborne, C.A. Williams Advances in flavonoid research since 1992
- [12] Reinsch, H., Repert, (1842). Pharm. 26, 18-25
- [13]. De Laire, G., Tiemann, F., (1893). Iridin, the glycoside of the iris root, J . Am. Chem. Soc. 15, 400-411
- [17] [K. Ono, H. Nakane, M. Fukushima, J.C. Chermann, F. Barre-Sinoussi. Differential inhibitory effects of various flavonoids on the activities of reverse transcriptase and cellular DNA and RNA polymerases. Eur J Biochem, 190 (1990), pp. 469-476.
- [18] Serafini M 'Bugianesi R 'Maiani G 'Valtuena S 'De Santis S 'Crozier A .2003

- [19]Roura E ,Andrés-Lacueva C ,Estruch R ,Mata-Bilbao ML ,Izquierdo-Pulido M ,Waterhouse AL ,Lamuela-Raventós RM (2007).
- [22]Satyajit, D.(2007). Chemistry for Pharmacy Students, John Wiley & Sons Ltd, Englan
- [23]Wagner, H., Wirer, M., Bauer, R. (1986). Planta Med, 184-187
- [24]Pietta, P.G., (2000). Flavonoids as antioxidants, J. Nat. Prod, 63, 1035 -
- [25]Ferraro, G. E. (1983). Acta Farm. Bonaerense, 2, 97
- [26] Bors, W., Heller, W., Michel, C. Saran, M. (1990). Flavonoids as antioxidants, determination of radical scavenging efficiencies methods enzymol,186, 343-355
- [27]Rice-Evans, C. A., Miller, N. J., Paganga, G. (1996). Free Radi. Biol. Med .956-933 ,20
- [28]VanAcker, S.A.B.E., van den Berg, D. J., Tromp, M.N.J.L., Griffioen , D.H.V., Bennekom, W.P.,Van der vijgh, W.J.F., Bast, A. (1996). Free Radi . Biol. Med, 20, 331-342 .
- [29]Heijnen, C.G.M., Haenen, G.R.M.M., Van Acker, F.A.A., Van der Vijgh , W.J.F., Bast, A. (2001). Toxicol. In vitro, 5, 3-6
- [30] sim,G.S.,Lee, B.C., Cho, H.S.,Lee,J.W.,Kim,J.H.,Lee,D.H.,Pyo, H.B.,Moon,D.C(2007).Arch.pharm.Res,30,290_298.
- [31] J.M. Grange, R.W. Davey Antibacterial properties of propolis (bee glue (J R Soc Med, 83 (1990), pp. 159-160.
- [32]I. Mucsi, Z. Gyulai, I. Beladi .Combined effects of flavonoids and acyclovir against herpesviruses in cell cultures.Acta Microbiol Hung, 39 (1992), pp. 137-147 .View Record in ScopusGoogle Scholar
- [33]Phytomedicine, 10 (2003), pp. 511-516
- [34] D.H. Kim, E.A. Bae, M.J. Han Anti-Helicobacter pylori activity of the metabolites of poncirin from Poncirus trifoliata by human intestinal bacteria Biol Pharm Bull, 22 (1999), pp. 422-444

- [35] S.G. Dastidar, A. Manna, K.A. Kumar, et al ..Studies on the antibacterial potentiality of isoflavones .Int J Antimicrob Agents, 23 (2004), pp. 99-102.
- [36] .S. Shiota, M. Shimizu, T. Mizushima, et al Marked reduction in the minimum inhibitory concentration (MIC) of beta-lactams in methicillin-resistant *Staphylococcus aureus* produced by epicatechin gallate, an ingredient of green tea (*Camellia sinensis*) Biol Pharm Bull, 22 (1999), pp. 1388-1390
- [37] H. Arima, H. Ashida, G. Danno Rutin-enhanced antibacterial activities of flavonoids against *Bacillus cereus* and *Salmonella enteritidis* Biosci Biotechnol Biochem, 66 (2002), pp. 1009-1014 View Record in ScopusGoogle Scholar
- [38] F. Cottiglia, G. Loy, D. Garau, et al Antimicrobial evaluation of coumarins and flavonoids from the stems of *Daphne gnidium* L. Phytomedicine, 8 (2001), pp. 302-305
- [39] K. Vijaya, S. Ananthan.Therapeutic efficacy of medicinal plants against experimentally induced shigellosis in guinea pigs.Indian J Pharm Sci, 58 (1996), pp. 191-193
- [40] R.I. Brinkworth, M.J. Stoermer, D.P. Fairlie.Flavones are inhibitors of HIV-1 proteinase.Biochem Biophys Res Commun, 188 (1992), pp. 631-637
- [41] G. Ayhan-Kilcigil, O. Bozdag, M. Tuncbilek, N. Altanlar, R Ertan Synthesis and antimicrobial activity of flavone-6-carboxaldehyde oxime ether derivatives Pharmazie, 54 (1999), pp. 228-229
- [42] O. Bozdag-Dundar, M. Tuncbilek, N. Altanlar, R. Ertan Synthesis and antimicrobial activity of flavone-3'-carboxaldehyde oxime ether derivatives Arzneimittelforschung, 53 (2003), pp. 522-525 View Record in ScopusGoogle Scholar
- H. Arima, H. Ashida, G. Danno[43] Rutin-enhanced antibacterial activities of flavonoids against *Bacillus cereus* and *Salmonella enteritidis* Biosci Biotechnol Biochem, 66 (2002), pp. 1009-1014
- [44] Scutt, A., Meghji, S., Canniff, J.P., Harvey, W.(1987) « Stabilisation of collagen by betel nut polyphenols as a mechanism in oral submucous fibrosis» Experientia. 43: 391-393 .

- [45]R. Valsaraj, P. Pushpangadan, U.W. Smitt, et al..New anti-HIV-1, antimalarial, and antifungal compounds from Terminalia bellerica J Nat Prod, 60 (1997), pp. 739-742.
- [46]W.F. Zheng, R.X. Tan, L. Yang, Z.L. Liu.Two flavones from Artemisia giraldii and their antimicrobial activity Planta Med, 62 (1996), pp. 160-162.
- [47]L.M. Prescott, J.P. Harley, D.A. Klein.Microbiology WCB/McGraw-Hill, London, UK (1999) Google Scholar
- [48]C. Cafarchia, N. De Laurentis, M.A. Milillo, V. Losacco, V. Puccini Antifungal activity of Apulia region propolis.Parassitologia, 41 (1999), pp. 587-590.View Record in ScopusGoogle Scholar
- [49]J. Fearnley Bee propolis Souvenir Press Ltd., London, UK (2001) Google Scholar
- [50].Di Carlo, G., Mascolo, N., Izzo, A.A., Capasso, F.(1999) « Flavonoids: old and new aspects of a class of natural therapeutic drugs » Review. Life Sci. 65: 337-53 .
- [51]Landolfi, R., Mower, R.L., Steiner, M.(1984) « Modification of platelet function and arachidonic acid metabolism by bioflavonoids » Structure-activity relations. Biochem Pharmacol. 33:1525-1530 . e Pestel, G., Mareel, M.(1991) « Effect of catechins and citrus flavonoids on invasion in vitro » Clin Exp Metastasis. 9 :13-25 .
- [52]"Studies force new view on biology of flavonoids", by David Stauth, EurekAlert!. Adapted from a news release issued by Oregon State University. URL accessed
- [53]Bracke, M., Vyncke, B., Opdenakker, G., Foidart, J.M., D].
- [54]Makimura, M., Hirasawa, M., Kobayashi, K., Indo, J., Sakanaka, S., Taguchi, T., Otake, S.(1993) « Inhibitory effect of tea catechins on collagenase activity » J Periodontol. 64:630-636 .
- [55]Larocca, L.M., Giustacchini, M., Maggiano, N., Ranelletti, F.O.; Piantelli,
- [56]J.W. Critchfield, S.T. Butera, T.M. Folks.Inhibition of HIV activation in latently infected cells by flavonoid compounds.AIDS Res Hum Retroviruses, 12 (1996), pp. 39-46.

- [57]B.Q. Li, T. Fu, Y.D. Yan, N.W. Baylor, F.W. Ruscetti, H.F. Kung.Inhibition of HIV infection by baicalin — a flavonoid compound purified from Chinese herbal medicine.*Cell Mol Biol Res*, 39 (1993), pp. 119-124.
- [58]K. Ono, H. Nakane, M. Fukushima, J.C. Chermann, F. Barre-Sinoussi.Inhibition of reverse transcriptase activity by a flavonoid compound, 5,6,7-trihydroxyflavone.*Biochem Biophys Res Commun*, 160 (1989), pp. 982-987.
- [59]H.J. Kim, E.R. Woo, C.G. Shin, H. Park.A new flavonol glycoside gallate ester from Acer okamotoanum and its inhibitory activity against human immunodeficiency virus-1 (HIV-1) integrase .*J Nat Prod*, 61 (1998), pp. 145-14 . Google Scholar
- [60]Y.M. Lin, H. Anderson, M.T. Flavin, et al..In vitro anti-HIV activity of biflavonoids isolated from Rhus succedanea and Garcinia multiflora.*J Nat Prod*, 60 (1997), pp. 884-888.
- [61]M.R. Fesen, Y. Pommier, F. Leteurtre, S. Hiroguchi, J. Yung, K.W. Kohn Inhibition of HIV-1 integrase by flavones, caffeic acid phenethyl ester (CAPE) and related compounds.*Biochem Pharmacol*, 48 (1994), pp. 595-608. ArticleDownload PDFView Record in ScopusGoogle Scholar
- [62]K. Ono, H. Nakane, M. Fukushima, J.C. Chermann, F. Barre-Sinoussi.Differential inhibitory effects of various flavonoids on the activities of reverse transcriptase and cellular DNA and RNA polymerases.*Eur J Biochem*, 190 (1990), pp. 469-476.
- [63]C.Q. Hu, K. Chen, Q. Shi, R.E. Kilkuskie, Y.C. Cheng, K.H. Lee.Anti-AIDS agents, 10. Acacetin-7-O-beta-D-galactopyranoside, an anti-HIV principle from Chrysanthemum morifolium and a structure-activity correlation with some related flavonoids.*J Nat Prod*, 57 (1994), pp. 42-51.
- [64]J.W.T. Selway.Antiviral activity of flavones and flavans.V. Cody, E. Middleton, J.B. Harborne (Eds.), *Plant flavonoids in biology and medicine: biochemical, pharmacological, and structure-activity relationships*, Alan R. Liss, Inc., New York, NY (1986) Google Scholar
- [65] P.C. Cheng, G. Wong .Honey bee propolis: prospects in medicine .*Bee World*, 77 (1996), pp. 8-15 .View Record in ScopusGoogle Scholar

❖ قائمة المراجع باللغة العربية .:

- [1] مركبات الفلافونويد ، فئة من المنتجات الطبيعية ذات فاعلية دوائية عالية Biochem ، 32 () 1983، 1148 – 1141 pp.
- [10] (نوفمبر 2015). "الفلافونويد". معهد لينوس بولينج ، جامعة ولاية أوريغون ، كورفاليس ، أوريغون .
- [14] قاعدة بيانات وزارة الزراعة الأمريكية حول محتوى الفلافونويد
- [15] (أبريل 2016). "مضادات الأكسدة والنشاط الحيوي للفينولات الحرة ، المؤسترة وغير القابلة للذوبان من وجبات بذور التوت". كيمياء الغذاء . 197 (نقطة أ): 221 - 32 .
- [16] (2009). "تحديد الفلافونويد في لب وقشر ثمار اليوسفي (الجدول1)" (PDF) . الزراعة . . 74 (3): 223Conspectus Scientificus
- [20]. "تشعيع جاما يسبب تغيرات في الحالة الميكروبولوجية ، المظهر الفينولي والنشاط المضاد للأكسدة لجذور الفول السوداني". مجلة الأطعمة الوظيفية . 12 : 143-129 . دوى : 10.1016/j.jff. 2014.10.034 .
- [21] (نوفمبر 2009). "لون قشر الفول السوداني: عالمة بيولوجية لمحتوى البوليفينول الكلي والقدرات المضادة للأكسدة لأصناف الفول السوداني". المجلة الدولية للعلوم الجزيئية . 10 (11): 4941-52 . دوى : ijms10114941 . PMC 2808014 / 10.3390 . بميد 20087468 .

الفصل الثاني

النَّمْذَجَةُ الْجَزِيئِيَّةُ



II-1-مقدمة :

في فترة الستينيات من القرن 19، أُسست نظرية البنية الجزيئية The Theory of Molecular Structure التي وضعت وصف لبنية المركبات العضوية التي اعتبرتها نظام مكون من الذرات والروابط ، كما وصفت كل من التفاعل بين الذرات والعلاقة بين بنية مركب وخصائصه الفيزيائية والكيميائية، فكان هذا التمثيل للبني الكيميائية هو أول أشكال النمذجة الجزيئية . ومنذ عام 1970 كانت بداية استخدام النمذجة الجزيئية الحاسوبية Computational Molecular Modeling [1].

يمكن اعتبار النمذجة الجزيئية على أنها مجموعة من التقنيات الحسابية القائمة على طرق الكيمياء النظرية والبيانات التجريبية التي يمكن المستخدمة إما لتحليل الجزيئات والأنظمة الجزيئية أو للتنبؤ بالخصائص الجزيئية والكيميائية الحيوية [2] ، فإن الكيمياء الحاسوبية تعتبر الوسيلة الأكثر استعمالاً نظراً لدقة نتائجها في ظل تطور طرق الحساب في البحوث النظرية للتوصيل لنتائج أكثر دقة بشكل سريع وسهل، تكمن أهميتها في كونها متداخلة مع العلوم الأخرى المختلفة.

مع تطور الكمبيوتر وظهور الحوسبة المتوازية المكثفة على خاصة ، قد أصبحت النمذجة الجزيئية تحدياً حقيقياً. في الواقع فإن الأنظمة الجزيئية التي يتم إجراؤها للدراسة إلى أن تصبح أكثر ليبيولوجية تعقیداً حيث يرتبط تعقيدها بحجم الجزيئات المدروسة وبالبنية الجوهرية للذرات نفسها، ولكن أيضاً بدرجة الدقة المطلوبة للحساب لكميات فيزيائية معينة [3] .

- **فما هي العلاقة بين البيانات النظرية و التجريبية ؟**

II-2-تعريف النمذجة الجزيئية :

النمذجة الجزيئية هي تطبيق للطرق النظرية والحسابية لحل المشاكل التي تتطلب على التركيب الجزيئي والتفاعل الكيميائي [4] . تعرف بالمحاكاة حاسوبية للعمليات والبني الكيميائية بواسطة برامج خاصة تعرض صور ثلاثة الأبعاد للبني الجزيئية ، حيث تظهر المسافات والزوايا الخاصة بالروابط الكيميائية والتعديلات التي تنتج عند استبدال أو إدخال ذرات أو مجموعة من الذرات لهذه البنية. وهي من تقنيات أجهزة الحاسوب المعتمدة على الكيمياء النظرية والمعلومات التجريبية بهدف تحليل تعديل الجزيئات، أو التنبؤ بالخواص الكيميائية والحيوية للجزيئات. تسمح تلك التقنيات بدراسة طاقة وبنية الجزيئات اعتماداً على حركة ونوع النوى ، أي أن النمذجة الجزيئية تعامل الجزيئية على أنها مجموعة من الأوزان المرتبطة بعضها البعض حيث تمثل هذه الأوزان النوى [5] .

تشمل النمذجة الجزيئية جميع الأساليب النظرية والحوسبة المستخدمة لذلك أو وصف سلوك الجزيئات، وتستخدم لإيجاد حل للمشاكل التي لها علاقة بالبني الجزيئية والتفاعل الكيميائي.

يمكن أن تكون هذه الأساليب بسيطة سهلة الاستخدام ، أو أن تكون معقدة و تتطلب وقت على الكمبيوتر. غالباً ما تستخدم هذه الأساليب وسائل إنفوجرافيك (مخططات معلوماتية بيانية معقدة) ، حيث

تسهل تحويل كميات من الأرقام إلى عدد قليل من التمثيلات الرسومية التي يمكن تفسيرها بسهولة . [6] أي أن نمذجة الجزيئات بواسطة الكمبيوتر تستخدم على الأغلب وسائل رسومية متطرفة كعرض بياني

لهندسة او شكل الجزيء، والذي بذلك يسهل بشكل كبير تحويل اعداد هائلة من الأرقام الى تمثيلات بيانية سهلة الدراس . قد تكون بطرق بسيطة وسريعة للغاية، ز قد تتخذ طرق معقدة و بوقت أطول .

اعتمدت الدراسات النظرية على بعض الطرق والنظريات لتحليل وتقدير المسائل الكيميائية ، تتوزع حسب خصائص الدراسة المعتمدة فيها، من أبرزها في الكيمياء الحاسوبية ذكر: طريقة الحل الشامل (ab-initio)، طرق الميكانيكا الجزيئية (MM) و (DFT) وغيرها من الطرق. [7][8][9]، استعمال النمذجة الجزيئية لطرق الحساب النظريه يسمح بتحديد التمثيل البيني لهندسة أو هيئات ذرات الجزيء وكذا تقدير الخصائص الفيزيوكيميائية الموافقة.

II-3- أهداف النمذجة الجزيئية : تتمثل أهداف النمذجة الجزيئية في ما يلي :

- ✓ المساعدة في فهم وتقدير الملاحظات التجريبية
- ✓ استخراج النتائج لنموذج معين
- ✓ الربط بين التفاصيل المجهرية على المستوى الذري والجزيئي والخصائص الفيزيائية والكيميائية للنموذج .
- ✓ تقديم معلومات غير متوفرة من تجارب حقيقة.
- ✓ مقارنة التنبؤات النظرية بالنتائج التجريبية للنموذج.
- ✓ التصوير بالإعلام الآلي ورسم الجزيئات انطلاقاً من معطيات بنوية ، و منه الحصول على معلومات حول الحركات الفعالة للجزيئات وكذا التنبؤ الكيفي بخصائص هذه الجزيئات.

II-4-طرق النمذجة الجزيئية : تتمثل النمذجة الجزيئية استعمال طرق الحساب النظري (الميكانيكا الجزيئية، الديناميكا الجزيئية، الميكانيكا الكوانتية ab-initio أو النصف تجريبية (CNDO و PM3...) ، تسمح بتحديد التمثيل البيني لهندسة أو هيئات ذرات الجزيء و تقدير الخصائص الفيزيوكيميائية الموافقة . و تقسم طرق النمذجة الجزيئية إلى ثلاثة أنواع رئيسية وهي :

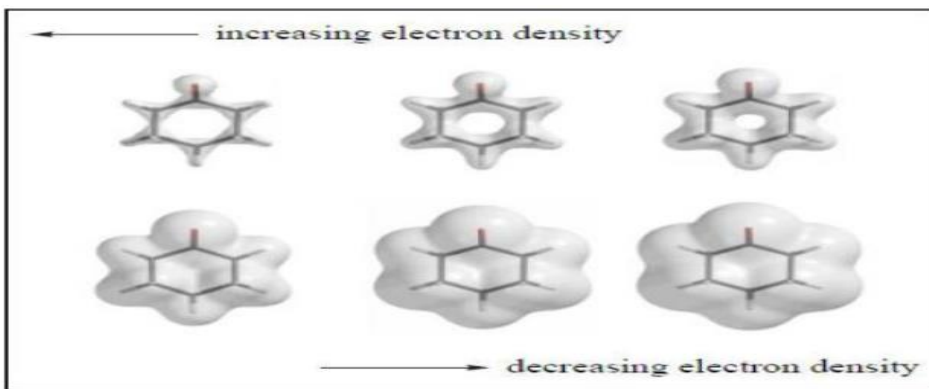
- طرق ميكانيك الكم
- الطرق نصف تجريبية
- الطرق التجريبية

II-4-1-ميكانيكا الكم (MQ) :

تعامل ميكانيكا الكم مع الجسيمات دون الذرية وكذلك الذرات والجزيئات والعناصر والمركبات و الأنظمة الأكبر بكثير، على مستوى دون الذري لا توجد حدود بين الجسيمات وال WAVES ، ففي الحقيقة يجب النظر الى كل من الجسيمات وخصائص الموجة في آن واحد لنظام ما، فميكانيكا الكم تجد انها تقودنا الى فهم المادة والكون خارج الإدراك العام للمادة بحوالينا العادية [10]. فهي تعتمد على حساب المدارات الجزيئية ومن بين الطرق الكمية البسيطة جداً نجد طريقة هيكل « Hückel ». [8]

هذه الطريقة المعقدة لحساب هندسة وخصائص الجزيئات و تعتمد على ثوابت فيزيائية معروفة كسرعة الضوء، قيمة كل من شحنة وكتلة الجسيمات النووية، ولحساب المعادلات التفاضلية المستخدمة لتحديد

توزيع وكتافة الالكترونات في الجزيئية، فتحديد موقعها من كثافة الالكترونات ، حيث أن القيم العالية للكثافة سوف تحدد بداية موقع الذرات ثم موقع الروابط الكيميائية، في حين أن القيم المنخفضة للكثافة تشير لحجم الجزيئية. [11] كما هو موضح في الشكل (1)



الشكل 1-II : يمثل الكثافة الالكترونية لجزيئه الفينول

II-4-1-المبادئ الأساسية لميكانيكا الكم (MQ) :

تعتبر ميكانيكا الكم انها مجموعة من النوى الذرية التي تدور حولها الالكترونات . عند تطبيق قوانين الميكانيكا فإن موجة الالكترونات تسمح بتحديد الحالة الالكترونية للنظام الذري ، وبعض الخصائص التي يمكن ملاحظتها في (الهندسة ، الهيكلية والزوايا والاطوال الطيفية: ترددات الاهتزاز والأشعة فوق البنفسجية ، IR ، الطاقة وغيرها ...)

تهدف طرق النمذجة القائمة على ميكانيكا الكم [12] إلى وصف النظام بواسطة دالة موجية يمكن تحديدها نظرياً عن طريق حل معادلة شرودنغر [13]، ترتبط هذه المعادلة بالحالات الثابتة للنظام الجزيئي والطاقة المرتبطة بها إلى عامل هاميلتوني ووظيفتها الموجية.

❖ معادلة شرودنغر Schrödinger

تم وضع الحساب الكمي عام 1925 من طرف Heisenberg و Jordan ، تم الانتهاء منه عام 1926 بواسطة شروдинغر ومعادلته الشهيرة والتي تسمح تشكيلتها أنه من الممكن وصف بدقة الطبيعة المجهريّة للمادة. [14] [15] .

إن معادلة شرودينغر Schrödinger هي نقطة الانطلاق لأية مناقشة في ميكانيك الكم ، والنماذج الكاملة للمعادلة المتعلقة بالزمن (01) والمعادلة التي لا تعتمد على الزمن (03) على التوالي [16] [17] [18] .

$$\frac{\partial \Psi}{\partial t} = - \left(i / \hbar \right) \times \hat{H} \Psi \quad \rightarrow \quad (01)$$

في هذه المعادلة تعني Ψ دالة موجية تصف النظام الكمومي (نظام صغيري مثل حجم الذرة). حيث أن :

\hbar : ثابت بلانك المخض.

\hat{H} : معامل هاميلتون يصف الطاقة الكلية لكل دالة موجية معتبرة .

معادلة شرودنغر (02) المعتمدة على الزمن في حالة جسيم يتحرك حرفة توافقية تحت تأثير مجال.
[19]

$$i\hbar \times (\theta / \partial t) \times \Psi(r, t) = (-\hbar^2 / 2m) \nabla^2 \times \Psi(r, t) + V(r, t) \Psi(r, t) \rightarrow (02)$$

حيث أن:

V : تأثير حقل خارجي m : كتلة الجسيم

t : الزمن \hbar : ثابت بالانك مقسم على 2π

$$r = xi + yj + zk \quad r: \text{حيث المتجه} \quad \nabla^2 = (\partial^2 / \partial x^2) + (\partial^2 / \partial y^2) + (\partial^2 / \partial z^2)$$

وتعامل معادلة شرودنغر مع الجسيم (إلكترون مثلاً) الذي يتحرك في مجال نواة (مشحونة) على أنه في هيئة دالة موجية $\Psi(r, t)$ معتمدة على الزمن والموقع، حيث يعطي حل المعادلة صفات الجسيم وما يمكن له أن يمتلك من طاقة.

$$\hat{H}\Psi = E\Psi \rightarrow (03)$$

حيث

E : طاقة النظام \hat{H} : l'opérateur hamiltonien :

دالة الموجات المتعددة: Ψ الالكترونات: n

يتم تحديد إجمالي هاميلتوني \hat{H} لجزيء يشتمل على N نوية و n الالكترونات بواسطة مجموعة مجموع خمسة مصطلحات (المصطلح الحركي للإلكترونات، المصطلح الحركي للنواة، نوبات الإلكترون، مدة النواة الأساسية، ومدة الإلكترونات، نواة الجذب).

عندما يؤثر معامل هاميلتون على الدالة الموجية Ψ فربما تكون النتيجة متناسبة طردياً مع نفس الدالة الموجية ، فإذا كانت كذلك فتكون Ψ حالة مستقرة ، ويعطي ثابت التقارب E طاقة الحالة Ψ وحل هذه المعادلة يجب إيجاد قيمة كل من E و Ψ

في الحالة العامة لأنظمة ذات الأهمية الكيميائية، والتي غالباً ما تكون متعددة الأبعاد ومتعددة الإلكترونات، لا يمكن حل هذه المعادلة تحليلياً، وبالتالي تم اقتراح تقرير بورن و أوبنهايمير . [20] .

تمثل تلك التقديرات التقريرية في :

❖ تقرير بورن - أوبنهايمير (Born-Oppenheimer) :

حسب تقرير بورن-أوبنهايمير فإن الاختلاف الكبير في الكتلة وبالتالي السرعة الموجدة بين النوى والإلكترونات يعني أنه يمكن دراسة حركاتها بشكل منفصل. يمكننا بعد ذلك النظر في سلوك

الإلكترونات في الجزيء بافتراض أن النوى تشغل موقع ثابتة في الفضاء. هذا يؤدي إلى "معادلة شرودينغر الإلكترونية".

$$\hat{H}_{elec}\Psi_{elec} = E_{eff}\Psi_{elec} \rightarrow (04)$$

يتضمن الهاميلتوني الإلكتروني ثلاثة مؤثرات الأول يتعلق بالطاقة الحركية للإلكترونات، والثانية للتجاذب بين النوى والإلكترونات، وثالث يتوافق مع تناقض كولوم بين الإلكترونات. [14]

❖ معادلات هارتربي- فوك (Équations de Hartree-Fock)

تستخدم نظرية HF مبدأ التباين وتنسق إلى حقيقة أن الطاقة المحسوبة لحالة إلكترونية معينة لنظام بواسطة دالة موجية Ψ من النوع المتغير دائمًا أكبر من الطاقة التي نحصل عليها لنفس الحالة باستخدام دالة الموجة الدقيقة.

تأخذ معادلات هارتربي- فوك بشكل القيمة ذاتية الأساسية (06):

$$fixi = \delta ixi \rightarrow (05)$$

II-4-1-2- طرق ميكانيكا الكم :

أ.طريقة الحل الشامل (Ab-initio)

هي من الطرق الكمية الأكثر تطورا تتم بحل معادلة شرودينغر لتحديد الدالة الموجية التقريبية للنظام المدروس ، ويطلب الحساب فيها مدة زمنية طويلة نسبياً معامل هاميلتوني « hamiltonien» أو تطمح إلى حل دقيق بهذا المعامل. [21] [22]

لتحسين وتدقيق طرق الحساب و الوصول إلى نتائج أكثر دقة في إيجاد قيمة الطاقة أو الشكل الفراغي الأنسب للجزيء تم تطوير عدد من النظريات والطرق التي تقوم على طريقة هارتربي- فوك ومن بين هذه الطرق ذكر [23] [24] :

- GVB: The generalized Valence Bond Method
- CI: Configuration Interaction
- MCSCF:Multi-Configuration Self-Consistent Field

بالإضافة إلى بعض الطرق الأخرى التي يعبر عنها بأساليب الحسابات المترابطة التي تسبب تحسين الطاقات الحسابية و الهندسة الجزيئية بالنسبة لجزيئات العضوية كنظرية الكتلة المتقاربة CC (MPn:Müller-Plesset Perturbation Theory) وطريقة (Coupled Cluster Theory)

حيث تمثل n ترتيب التصحيف.

بـ- نظرية الكثافة الوظيفية (DFT) :

تم تطوير قواعد نظرية الكثافة الوظيفية (DFT) ، في عام 1927 من قبل توماس وفيري مي اللذين قاما بحساب طاقة الذرة من خلال تمثيل طاقتها الحركية دالة لكثافة الإلكترون [25] ، قام ديراك بتقديم مصطلح التبادل عام 1928 الذي تتبأ به Hartree ولكن حتى الآن لا يوجد حتى أي اعتبار لارتباط الإلكتروني الذي أضافه Wigner.

تعرف بأنها حالة ينتج عن حلها دالة أخرى، وتعتبر الطاقة تابعة لدالة الكثافة [27] [26] ، يتم وصف الحالة الأساسية لهذا النظام من خلال الدالة الموجية $\Psi(r_1, r_2, r_3..r_n)$ والتي تتوافق مع كثافة الإلكترون واحدة (r) يتم تحديد هذه الدالة الموجية والطاقة E_0 المرتبطة بها عن طريق تقليل الطاقة الإجمالية للنظام . يتم بعد ذلك تحديد الجهد الخارجي (r) Vext الذي تم إنشاؤه بواسطة النوى N للنظام وبالتالي إصلاح الهملتوني. إذن فإن عدد الإلكترونات n والجهد (r) Vext يحددان جميع خصائص الحالة الأساسية . [28] .

وتنسند هذه النظرية (DFT) على الفرضية التي اقترحها توماس «Thomas» و فاري «Fermi» التي تقول أن الخصائص الالكترونية يمكن وصفها من حيث وظائف كثافة الإلكترون ومن خلال تطبيق العلاقات المناسبة على نظام الكتروني متجانس[29].

إن طريقة DFT قادرة على تحديد الخصائص الجزيئية الهندسية بدقة ، وطبقات الروابط ، وأنواع الطيف المختلفة للجزيئات المعقدة مثل مركبات التنسيق [30] بالإضافة إلى ذلك ، فإن أسطح الطاقة الكامنة للتفاعلات الكيميائية التي تتبأ بها الوظائف المصححة للتدرج أو الوظائف الهجينية هي كما يلي دقة مثل تلك التي تتبأ بها مستويات النظريات الأكثر تطورا. [31]

في عام 1904 م تبني كل من هونبرج «Hohenberg» وكون «Kohn» نظرية توماس وفاري و أظهرها فيها ان هناك وظيفة وظيفية للطاقة $E[\rho(r)]$ مرتبطة بمبدأ التباين والذي يسمح بوضع أساس نظرية DFT ، وتركز هذه الأخيرة على نظرية هوهنبرغ-كون. [32]

يمكن التعبير عن الطاقة الأرضية $[E(\vec{r})]$ لنظام ما بالمعادلة التالية (07) :

$$E[\rho(\vec{r})] = Ts[\rho(\vec{r})] + J[\rho(\vec{r})] + Exc[\rho(\vec{r})] + ENe [\rho] \quad \rightarrow \quad (06)$$

حيث :

- $Ts [\rho(\vec{r})]$ = kinetic energy of non - interacting system
(طاقة الحركة للنظام غير تفاعلي)
- $J[\rho(\vec{r})]$ = Electron – Electron repulsion energy (طاقة صد الإلكترون)
- $ENe[\rho]$ = External potential (كمون خارجي)
- $Exc[\rho(\vec{r})]$ = Exchange - correlation energy functional
(طاقة التبادل - الارتباط الوظيفية)

II-4-2-الطريقة النصف التجريبية (sem) :

هي طريقة يتم فيها استبدال الحسابات الالزامية لحسابات Hartree-Fock بمعملات تم تعديلها وفقاً للقيم التجريبية (حيث يتم دائمًا عن طريق المقارنة مع المراجع تحديد معلمات الهايبلتوني). تكون جميع هذه الطرق دقيقة جدًا بشكل عام . و تعتبر هذه الطريقة على أنها خليط من الطرق التي لها علاقة بالميكانيك الجزيئية وكيمياء الكم التجريبية، وبفضل استخدام هذا الأسلوب يوفر حل وسط بين السرعة الدقة. [34] يتم فيها تقدير شروط الطاقة الأكثر صعوبة في الحساب من البيانات التجريبية وتستغرق وقتاً أقل للحساب [7]

من بين الطرق نصف التجريبية ذكر :

- **MNDO:** Modified Neglect of Diatomic Overlap

تتمثل في اهمال الفارق بين المدارات الذرية في الذرات المختلفة [14] ويؤخذ بعين الاعتبار التناقض بين الالكترونات فيما بينها وبين الأزواج أيضا .

- **ZINDO:** Zener's Intermediate Neglect of Differential Overlap 2903

تسمى هذه الطريقة بطريقة المنظار الطيفي، حيث تعتمد هذه الطريقة على Huckel لالكترونات ، يتم استخدامها لنمذجة الأنظمة المعدنية الانتقالية، أما في حالة استخدامها لتحسين الهندسة الجزيئية فإنها لا تعطي نتائج إيجابية. [36] ، اقترحه بوبل وسيجال وسانترى في عام 1965 ، حيث لا تؤخذ بعين الاعتبار إلا الالكترونات الكافية، ومن أجل دراسة البنية الالكترونية والفراغية لجزيء. [14]

- **INDO:** Intermediate Neglect of Differential Overlap.

اقتصرت سنة 1967 من بوبل بيفريدج ودوبوش (Pople, Beveridge et Dobosh) ، وفيها يتم التمييز بين الحالات المفردة والحالات ثلاثة لنظام يحافظ على تكاملات التبادل [14] .

- **SAM1:**Semi-Ab-Initio Model 1

أحدث طريقة اقترحت من طرف ديوار (Dewar) سنة ، 1933 وهي تشمل الإرتباط الإلكتروني [14] ، وتحسب التكامل بين الكترونين بواسطة مجموعة أساس STO-3G القياسية. [38]

- **AM1:**Austin Model 1:

كانت من اقتراح ديوار(Dewar) ، سنة 1985 جاءت بهدف القضاء على المشاكل التي كانت في طريقة MNDO وتصحيح عيوبها وقد تحدد بعض الخصائص التي لا يمكن إنشاؤها تجريبيا.[14][39] و تعتبر طريق جد سريعة و شائعة لنمذجة المركبات العضوية إذ أنها تعطي نتائج دقيقة أكثر.

- **PM3 :**(Parametric Method 3):

الطريقة البارامترية وهي الطريقة التي اقترحها ستيفوارت في عام ، 1989 لديها العديد من النقاط المشتركة مع طريقة AM1 . علاوة على ذلك ، لا يزال هناك نقاش حول المزايا النسبية لتحديد المعايير لكل منها. [40] ، يمكننا بواسطتها حساب الخصائص البنوية للطاقة الكلية وغيرها، وهي طريقة مطورة عن نموذج AM1 ومن أدق الطرق التي يتضمنها برنامج (hypechem) . [41] [42]

تكمن ميزة الحسابات نصف التجريبية في أنها أسرع من طرق الكم الأخرى. يمكن عיבدهم في حقيقة أنهم يخضعون للعديد من التقديرات التقريبية. في الواقع ، يمكن التنبؤ بخصائص قليلة بشكل موثوق لجزيئات الهياكل البعيدة جدًا عن تلك المستخدمة في تحديد معاملات الطرق. بشكل عام ، يتم تفزيذ ذلك من أجل إعادة إنتاج خصائص مختلفة : الهندسة ، طاقات التكوين أو طاقات التفاعل ، عزم ثانوي القطب ، إمكانات التأين ... [43] الحساب نصف التجريبي هو التقنية الأكثر استخداماً، لاسيما لدراسة الجزيئات ذات الحجم المتوسط . [44]

3-4-II- الطرق التجريبية (الميكانيكا الجزيئية MM) : تعرف الطرق التجريبية أنها طرق الميكانيكا الجزيئية التي تعتمد أساسا على الميكانيكا الكلاسيكية حيث يتم دمج الذرات وإلكتروناتها في مجموعة من نقاط المواد. [45]

تعتبر هذه الطريقة سريعة، قليلة التعقيد و تستطيع التعامل مع كم هائل من الأنظمة بما فيها الأنزيمات. تحاول هذه الطريقة حساب الطاقات في الجزيئ و إعادة إنتاج هذه الطاقات من خلال تعديل أطوال وزوايا الروابط وزوايا الالتواء للحصول على توازن فيما بينها، إن الميكانيك الجزيئي ينظر للجزيئ على أنها سلسلة من الكرات و النوايض حيث يتم تحديد الطاقات وفق قانون هووك Hooke's Law [11].يشير قانون هووك للمرونة إلى أن الكمية التي يتغير بها الجسم (الإجهاد) مرتبطة خطياً بالقوة المسببة لهذا التغير (الشد). ينطبق هذا القانون عموماً على المواد ذات المرونة الخطية [46].

تستعمل الميكانيك الجزيئية دائمًا في تنفيذ العمليات الحسابية على الأنظمة التي تحتوي على أعداد هائلة من الذرات ، يمكنها تقديم إجابات أكثر دقة حتى من الحسابات الميكانيكية في بعض الحالات.

ظهرت لأول مرة سنة 1930. [47] لكنها تطورت في السبعينيات ومع تطوير أجهزة الكمبيوتر و التقدم في الأداء جعل من الممكن تحديد طاقة الجزيء وفقا للإحداثيات الذرية والبحث عن الحد الأدنى للطاقة.

تعتمد تقنيات النمذجة القائمة على ميكانيكا الكم إلا أنها تعاني من عيب رئيسي وهو أنها مكلفة و تستغرق وقت من حيث الحساب، كما أنه ينطبق فقط على الأنظمة الجزيئية ذات الحجم المحدود وبالتالي الوقت اللازم يتناسب تقريبا مع الطريقة الرابعة في معالجة النظام بواسطة طرق ab-initio . [48]

من جهة أخرى الميكانيكا الجزيئية (MM) تعتبر طاقة النظام كدالة لمواقعها الذرية. [49] حيث يجب أن يتم الفصل حرکة النوى والالكترونات في جزيء ما ويمكن لهذا الجزيء أن يتکيف بشكل شبه فوري مع مواضع النواة وفي ذات الوقت تجاهل حرکة الالكترونات وتوفیر وقت أكبر في الحساب.

وعلى وجه الخصوص تسمح الميكانيكا الجزيئية بدراسة مجموعة من الخصائص من خلال وصف طاقة النظام لمجموع سلسلة من المساهمات المحسوبة والتي يمثل تفاعلاً بين الجزيئات وداخلها . [50]

❖ **طرق الميكانيكا الجزيئية :** لقد اهتمت الميكانيكا الجزيئية (MM) بالتركيب الإلكتروني بشكل ضمني فقط ، إذ تم تمثيل الذرات بواسطة كرات ذات كتل وأنصاف قطر مختلفة تمتلك شحنة ، و الروابط على أنها نوافذ ذات ثوابت قوة مختلفة. نحصل على هذه الأحمال وثوابت القوة بطرق مختلفة (على سبيل المثال البيانات البلورية أو التحليل الطيفي الاهتزازي) (Calcul ab-initio) ويتم احتواوها في مجال القوة. يمثل هذا المجال جميع المعلومات المستعملة لحساب الطاقة الكامنة لهذا النظام .

تسمح الميكانيكا الجزيئية بحساب طاقة التفاعل للنظام بناءً على مواضع النوى ووحدتها ، وبالتالي تجاهل حركة الإلكترونات حيث يتم استخدام تقرير Born-Oppenheimer ومع ذلك لم يعد يتم وصف حركة النوى من قبل هامiltonون الكم كما هو الحال في ميكانيكا الكم ، ولكن من خلال أوصاف الميكانيكا الكلاسيكية [51]

لتحديد مساهمة كل منها في التفاعلات يمكن نمذجة دالة الكمون التي تعطى الطاقة للتفاعل مثل دالة المسافة ، الزاوية أو الشحنة [42] [43]

يتم تطبيق الطاقة عندما ينحرف متغير (مثال: طول الرابطة أو زاوية التكافؤ) عن قيمته المرجعية. تشكل مجموعة هذه الشروط والمعايير التي تهدف إلى وصف كل نوع من أنواع الذرة وتحسب الطاقة الفراغية الدنيا من مجموع ال拉斯يمات المتمثلة على الترتيب في طاقة الاستطاله، طاقة المرونة، طاقة الفتل، طاقة فاندر فالس وطاقة الكهربائية الساكنة. [1] [14]

يعبر عن الطاقة الفراغية الكلية بمجموع طاقات التفاعل كما توضح المعادلة التالية (08) :

$$E(\text{steric energy}) = E_{\text{stretch}} + E_{\text{bending}} + E_{\text{torsion}} + E_{\text{van der Waals}} + E_{\text{electrostatic}}$$

→ (07)

حيث:

E(steric energy) : طاقة استطاله الرابطة

: طاقة الانحناء **E(bending)**

: طاقة الالتواء **E(torsion)**

: طاقة فاندر فالس **E(van der Waals)**

: الطاقة الكهربائية الساكنة **E(electrostatic)**

يتم أيضا استخدام وظائف بسيطة مثل قانون هوك لوصف هذه المساهمات في ميكانيكا الجزيئية التي يمكن أن تؤدي إلى نتائج بشكل مقبول. [34] وعبارة كل طاقة كالتالي:

عباراتها	الطاقة
$E(\text{steric energy}) = \sum_{\text{bonds}} kr(r - r_{\text{eq}})^2$	$E(\text{steric energy})$
$E_{\text{beginning}} = \sum_{\text{bonds}} k_9(g - g_{\text{eq}})^2$	$E_{\text{beginning}}$
$E_{\text{torsion}} = \sum_{\text{bonds}} (\mathbf{Vn}/2) \times [1 + \cos(n\Phi - \gamma)]$	E_{torsion}
$(E_{\text{vanneils}} = \sum_{i < j} (A_{ij} / (R_{ij}^{12})) - (B_{ij} / R_{ij}^6))$	E_{vanneils}
$E_{\text{electro}} = \sum_{i < j} (q_i \times q_j) / \epsilon R_{ij}$	E_{electro}

الجدول II – 1 : عبارات طاقات التفاعل

❖ **أنواع طرق الميكانيكا الجزيئية:** تختلف طرائق الميكانيكا الجزيئية باختلاف حقول القوة، فحقل القوة هو عبارة عن مجموعة من المعاملات والمعادلات التي تصف الذرات و العلاقة فيما بينها (تصف أنواع التأثير المتبادل بين الذرات)، و بالتالي تم تطوير الكثير من هذه الطرائق و منها التالي . [53]

✓ **AMBER:** Assisted Model Building with Energy Refinement

تهدف في المقام الأول لدراسة الجزيئات الحيوية مثل البروتينات والنيوكليوتيدات.

✓ **CHARMM:** Chemistry at HARvard Macromolecular Mechanics

تستخدم عادة في الدراسات البيولوجية والصيدلانية

✓ **OPLS:** optimized potential for liquid simulations

هو الأفضل في استنساخ الخصائص الفيزيائية للجزيئات الحيوية في محليل سائلة[54]

✓ **MMFF:** Merck Molecular Force Field .

تستخدم في الأصل لمحاكاة ديناميات الجزيئية، كما شهدت استخداماً كثيراً لتحسين بنية المركبات [55]

✓ **UFF:** Universal Force Field

تعني القوة العالمية تستخدم في معالجة المركبات غير العضوية، تستخدم أربعة شروط للتكافؤ. باستثناء الكهرباء[56]

✓ **Dreiding:** The Dreiding force field

له شعبية كبيرة لتوقع الحركة الديناميكية للجزيئات والسوائل بكميات كبيرة، وأيضاً تستخدم لنمذجة الجزيئات.

إن حيث أن الفرق بينها هو شكل الدالة المحددة للطاقة و المعاملات الأساسية المستخدمة. تم تهيئة هذه الطرائق بحيث تكون ملائمة للاستخدام في مجموعة من المركبات أكثر من غيرها [53].

❖ **الطاقيات في الميكانيكا الجزيئية [7] :** الأشكال الرئيسية للطاقة التي تأخذها الميكانيكا الجزيئية (MM) ترتبط بالظواهر التالية:

- ✓ التقلبات: الدوران حول الروابط
- ✓ تفاعلات الإلكتروستاتيكية.
- ✓ تفاعلات فان دير فالس
- ✓ اهتزازات الارتباط.

❖ **استخدامات وامكانيات الميكانيكا الجزيئية [7]**:

1/استخداماتها :

- تعتبر الذرة ذات الشكل الكروي صلبة ذات نصف قطر وشحنة محددين.
- كل ذرة تشكل جسيماً تقريباً .
- تحسب الطاقات بواسطة الصيغ المشتقة من الميكانيكا الكلاسيكية

2/امكانياتها :

- بالبحث عن الحد الأدنى لطاقة الجزيئات
- وصف الطاقة كدالة للإحداثيات الذرية (المحتوى الحراري).
- لا تسمح بعبور حواجز الطاقة
- لا تسمح بوصف الطاقة كدالة ل الوقت و درجة الحرارة (الإنترودبيا ، الطاقة الحرية).

4-4-II- الديناميكا الجزيئية [7]: DM

الديناميكا الجزيئية هي طريقة للتمثيل ، باستخدام جهاز الحاسوب و يمكن من خلالها محاكاة الحركات الموجودة للنظام الجزيئي ، ولذا فان التعامل مع الجزيئات يكون أن كل ذرة تعامل وكأنها جسيمة تخضع لقانون فعل الكتلة لنيوتن.

A- مبدأ الديناميكا الجزيئية DM :

يتمثل مبدأ هذه الطريقة في دراسة مسار الجزيء بتطبيق قوانين الميكانيكا الكلاسيكية النيوتونية لمحاكاة الحركات الذرية هذه الحركات تتوافق مع الاهتزازات للوصول إلى الحد الأدنى للطاقة أو المرور من الحد الأدنى إلى أقل طاقة أخرى. وبالتالي يمكن استخراج الديناميكيات الجزيئية من الحد الأدنى المحلي . وفي

سنة 1990 ظهرت إمكانيات معلوماتية، أكثر فعالية تسمح بتوسيع طرق الحساب في الديناميكا الجزيئية [58]

بـ- إنجاز (أو تطبيق) حساب DM:

أولاً يجب أن يكون نموذج البدء قريب من البنية الفعلية ، هذا الأمر جد المهم قبل البدء في النمذجة بواسطة الديناميكا الجزيئية .

✓ التقليل إلى الحد الأدنى بواسطة الميكانيكا الجزيئية : تكون البداية بشكل عام بالتشكيل الأمثل بواسطة الميكانيكا الجزيئي MM.

✓ الديناميكا الجزيئية : لحساب DM يتم التقسيم إلى ثلاثة مراحل ، و هي :
*الحرارة : تستوجب الحرارة ، ذلك من أجل تسخين النظام من أجل إحضاره إلى درجة الحرارة المرغوبة (300K).

*الإتزان: هو المرحلة جد مهمة لأنها تحافظ على استقرار درجة حرارة النظام ، بعد ذلك يحدث تبادل بين كل من الطاقة الكامنة والطاقة الحركية. خلال هذه المرحلة يتم حساب درجة الحرارة بعد كل خطوة .

*الديناميكية أو الإنتاج: وهي المرحلة القابلة للاستغلال والتي تدوم في المتوسط من 60 إلى 100 ps.

II-5- تطبيقات الكيمياء الحسابية :

النمذجة الجزيئية تستوجب المعرفة الدقيقة للكيمياء الفراغية للروابط الذرية داخل الجزيئات كطول الروابط التساهمية وكذا زوايا التكافؤ و زوايا ثنائية الأضلاع وأنصاف قطرات الذرات أيضا . كما يقوم بحسابات القوة على الذرات ، ويوضع نماذج لتوزيع الإلكترونات والشحنات الجزيئية ، والقوى الكهروستاتيكية.

يمكن لطريقة MM أن تغير الإحداثيات الذرية إلى الحد الأدنى من الطاقة الكامنة كما يمكنها التحسين في هندسة الجزيء [7] . إن حساب القوى التي تمارس على ذرات الجزيء أو بين ذرات عدة جزيئات يجعل من الممكن تحديد المركبات المستقرة المقابلة للحد الأدنى من الطاقة ، وهذا هو مجال الميكانيكا الجزيئية . و تهتم النمذجة الجزيئية أخيراً بالعرض المرئي للجزيئات والمحاكاة ثلاثية الأبعاد ، وهذا هو مجال الرسومات الجزيئية [59]

II-5-1- معاينة و دراسة البنية الجزيئية Molecular et Etude de Structure : Visualization

بواسطة الكيمياء الحاسوبية نستطيع إيجاد البنية الجزيئية الفراغية عند نقاط الاتزان و يمكن أن نتوقع سرعة التفاعلات الحاصلة و ذلك من خلال معرفة الحالة الانتقالية و طاقة المواد الداخلة و الخارجة

تعتبر معاينة البنية الجزيئية الجانب الأهم في مفهوم النمذجة الجزيئية ، تتم العممية في مجال ثلاثي الأبعاد عبر تمثيلات متنوعة مثل العصي المترابطة ، Connected Sticks نموذج الكرة والعصا Ball and Stick Models تمثيلات ملأ الفراغ Space-Filling Representations [11]

5-II-2- توليد بنى (هياكت) كيميائية : Generation of Chemical Structures

من الممكن توليد بنى جزيئية ثلاثة الأبعاد باستخدام برمجيات Software متعددة، وذلك عبر وسائل بنائية متعددة Building Functions مثل خلق رابطة، قطع رابطة، حذف ذرة، إضافة ذرة .. إلخ . تسمح النمذجة الحاسوبية للكيميائيين ببناء نماذج ديناميكية للمركبات والتي بدورها تساعدهم على تصور الهندسة الجزيئية وشرح المبادئ الكيميائية. [11]

5-II-3 - الفعالية الكيميائية : Chemical Reactivity

يقصد بها أنه يمكننا أن نكشف عن فعالية التفاعل بالكيمياء الحاسوبية و ذلك من خلال معرفة أماكن تموضع الإلكترونات في الجزيء و يمكن إيجاد كل من الموضع المحبة للنوى و المحبة للإلكترونات ، كما يمكن حساب شحنات الذرات منفردة و حساب العزم الثنائي القطب (أو العزم متعدد الأقطاب) ، بالإضافة إلى الخصائص الحرارية (مثل طاقة جبيس و الانتالبية)

5-II-4 – نمذجة تداخلات المستقبل الدواني : Modeling of Drug Receptor Interaction

قد تكون البنية الثلاثية الأبعاد للجزيئات الدوائية التي سترتبط بالمستقبل معلومة، في حين بنية معظم المستقبلات ليست معلومة.

يعتبر التفاعل بين المستقبلات والجزيئات الدوائية الصغيرة خطوة أساسية في العديد من العمليات البيولوجية مثل : التأثير الدوائي وآلياته، بالإضافة لمعرفة التأثير السمي لمركبات كيميائية محددة. يسمح وجود نموذج للمستقبل بتامين معلومات فيزيائية وكميائية عن المستقبل، حجم شكل هذا التجويف ، وتوقع الروابط الممكنة معه [11]

5-II-5- تفسير قابلية الفعالية : (Interprétation de la réactivité)

الميكانيكا الجزيئية يمكنها أن تسمح بتفسيير الآثار الفراغية (stériques effets les) على الفعالية بطرائقين مختلفتين.[42]

5-II-6- المطيافيات :

يمكن توقع و حساب مطيافيات مختلفة للمركبات المجهولة و الجديدة . [53] [60]

7-5-II التحليل الإمثالي (Analyse conformationnelle)

عندما لا تكون أي من الروابط مفككة أو مشكلة، ولا يوجد أي وسيط مشحون متدخل فإن الميكانيكا الجزيئية تصف الانقلاب الامثلائي (interconversion conformationnelle) المهيأ بشكل خاص ، وصفاً جيداً. [42]

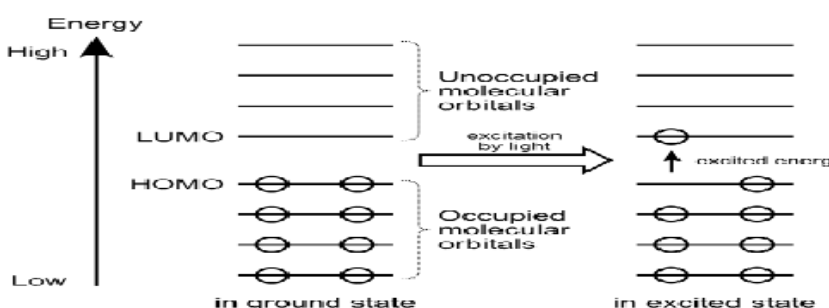
8-5-II التفاعلات الجزيئية (Molecular Interaction) : Docking

هي تحديد وضعية الارتباط الأفضل لجزيئه صغيرة (ربيطة Ligand) ضمن موقع فعال لجزيئه كبيرة Macromolecule أو مستقبل Receptor معروفة البنية، هذا ما يعد من أهم الوسائل المستخدمة في عملية اكتشاف الأدوية باستخدام الحاسوب Computer-Aided Drug Discovery Process ، إن نمذجة التفاعل بين الدواء ومستقبله مشكلة معقدة، تشارك العديد من القوى في هذا التداخل الجزيئي ومنها : الروابط الكارهة للماء Dispersion Force، قوى التنافس Hydrophobic Bonds، الروابط الشاردية Van Der Waals Bonds، الروابط الهيدروجينية Hydrogen Bonds [11]

9-5-II المدارات الجزيئية الحدودية HOMO و LUMO :

هذه المدارات عبارة عن مصطلح يستخدم للإشارة إلى وضع المدارات الجزيئية من حيث شغلها بالإلكترونات.

يرمز لأعلى مدار مشغول بالإلكترونات باسم HOMO، في حين ان أدنى مدار جزيئي غير مشغول بالإلكترونات يرمز له ب LUMO، وتدعى هذه المدارات باسم المدارات الحدودية. يستخدم الفرقة الطيفي بين هذين المدارين الحدوديين في معرفة استقرارية وثباتية معقدات الفلزات الانتقالية، بالإضافة الى اللون الذي تظهره في المحاليل. والشكل الموجي يوضح المدارات الجزيئية الحدودية



الشكل رقم 2-II : للمدارات الجزيئية HOMO و LUMO

10-5-II تحديد الخصائص الجزيئية (Determination of Molecular Properties)

الخصائص الجزيئية هي مؤشرات هامة لمختلف الجزيئات الكيميائية، ويمكن تصنيف هذه الخصائص إلى خصائص فيزيائية، كيميائية وبيولوجية. [11]

6-II - بعض مجالات و إستخدامات النمذجة الجزيئية:

يمكن أن نقسمها إلى ثلاثة فئات وهي : [14]

- ✓ عند الحصول على هندسة ذات أهمية ، وتنشأ هذه الحالة عندما توجه النمذجة تفسير النتائج المستمدة من الدراسات الهيكلية للأشعة السينية أو للإلكترون المنفوس ، أو عند نمذجة جزيء ما لأغراض رسومات حاسوبية (فوقية).
- ✓ عند تغيير الآثار الصلبة على التفاعل او الاستقرار النسبي للايزومرات كطاقة أو توتر.
- ✓ عندما لا يتم كسر او تشكيل أي رابط ولا يتدخل أي وسيط مشحون فإن الانصهار المطابق يستجيب بشكل جيد "شكل خاص" لوصف من طرف MM ، ويمكن الحصول على المعلومات البنوية من هذا التحليل في شكل صورة طاقة او خرائط طاقة D3.

1. تستخدم النمذجة الجزيئية لفحص التركيبات الجزيئية، و دراسة الديناميكية لها، و دراسة الخصائص الفيزيوكيميائية للمركيبات، كما أنها تستخدم أيضاً لفحص أنواع الأنشطة البيولوجية التي تشمل: التفاعف البروتيني، والتغيرات التوافقية المرتبطة بالوظيفة الجزيئية البيولوجية والتقدير الجزيئي للبروتينات والأغشية المعقدة وكذلك تستخدم لتطوير الأدوية [7]

7-II - محدودية النمذجة الجزيئية:

النمذجة الجزيئية مخصصة في المقام الأول لعلماء الكيمياء العضوية المهتمين بمشاكل التفاعل وهيكل الجزيئات التي تضم بالفعل عدداً كبيراً من الذرات، كما أنها مخصصة للكيميائيين والصيادلة المعنيين بعلاقة التركيب والنشاط إذا أراد المرء استغلال البرامج المتاحة للحساب والتصور بذكاء، فيجب الاحتفاظ ببعض المبادئ الأساسية ومن الضروري معرفة أصول الطريقة وإمكانياتها وحدودها. [14] لا يمكن تطبيق هذه الطريقة التجريبية إلا عند دراسة جزيئات مشابهة لتلك التي استخدمت لإنشاء مجال القوة، كلما كان مجال القوة الميكانيكا الجزيئية أكثر تعقيداً ($MM > MM3$) هناك حاجة إلى مزيد من المعلومات، من الصعب أن يكون لديك مجال قوة عام ونحن نميل بدلاً من ذلك إلى مجالات قوة محددة، على الهيدروكربونات المترافقية والبروتينات والببتيدات. [14] أو البولимерات ... الخ.

أخيراً يجب التتحقق من صحة دراسة النمذجة الجزيئية من خلال المقارنة مع تجربة الأشعة السينية الرنين المغناطيسي النووي ... على الجزيئات النموذجية.

قبل البدأ في البرامج المتوفرة والجاهزة من أجل الحساب والمعاينة، يجب على بعض المبادئ القاعدية أن تكون معتبرة و الضروري معرفة أصول هذه الطريقة، بالنسبة لهذه طريقة التجريبية فإنها لا تطبق جيداً إلا عند دراسة الجزيئات المجاورة التي استعملت لإنشاء حقل القوة، عندها نطور أكثر حقل القوة ($MM2 \rightarrow MM3$) يكون محتاجاً أكثر إلى الثوابت ومن الصعب إيجاد حقل قوة عام ولكن نتجه دائماً نحو حقول قوة خاصة مثل الحقول الخاصة بالفحوم الهيدروجينية المرافقة [61] والالسانات و البروتينات و البولимерات..... الخ .

8-II. العلاقة بنية - فاعلية QSAR [66]:

انطلاقاً من التطورات الأخيرة التي ظهرت في مجال الكيماء الطبية (لوصف الهيكل الجزيئي) وبالاعتماد على مجموعة التخصصات العلمية المختلفة كالرياضيات التجميعية والمحاكاة الحاسوبية والاحصاء فقد تم التوصل إلى نموذج جديد يشار إليه باسم علاقة النشاط الكمي QSAR (العلاقات الكمية بين البنية و الفاعلية).

العلاقة بنية - فاعلية (QSAR) لها فائدة كبيرة في الكيماء الحيوية والكيماء الحديثة لأنها تبحث عن تحويل مركبات ذات خواص مرغوبة باستخدام الحدس الكيميائي والخبرة في العمليات الحسابية. إذ يتميز نموذج (QSAR) بأساليب يتعلّقان بالعلاقة بين البنية الكيميائية و الفاعلية الحيوية للمركبات. الأسلوب الأول يسمح بقياس الكمية الميكيلية لخواص الخاصة بالنشاط البيولوجي للمركب وهذه الخواص يمكن أن تكون فيزيائية كيميائية مثل معامل التقسيم و البنية الفراغية ...، أما الأسلوب الثاني هو التعبير الرياضي عن النشاط البيولوجي المراد تطويره.

يبعد أن بعض دراسات QSAR ليست أكثر من دراسات جامعية ، وهناك عدد كبير من التطبيقات لهذه الدراسات مثل [38]

- ✓ تحسين النشاط الدوائي.
- ✓ التنبؤ بالسمية والأثار الجانبية للمركبات الجديدة .
- ✓ تحديد المركبات الخطرة في المراحل الأولى من تطوير المنتج أو إسقاط مخزون المركبات الموجودة .
- ✓ التصميم العقلاني للعديد من المنتجات الأخرى مثل المواد الخافضة للتوتر السطحي والعطور والأصباغ والمواد الكيميائية الدقيقة.
- ✓ التنبؤ بمصير الجزيئات التي يتم إطلاقها في البيئة
- ✓ اختيار المركبات ذات الخواص الحرارية الدوائية المثلثة سواء كانت مستقرة أو متوفّرة في النظم البيولوجية.
- ✓ التنبؤ بمجموعة متنوعة من الخصائص الفيزيائية والكيميائية لجزيئات

إن QSAR نموذج رياضي يربط بين النشاط البيولوجي ومجموعة من الخصائص الفيزيائية والكيميائية تسمى بالمواصفات لأنها تصف المركبات التي تم فحصها [57].

يعد QSAR أساس من أساسيات التنمية و التحسين كما يستخدم كأداة لتطوير الأدوية واكتشافها، والتنبؤ بالمواد الكيميائية التي تكون قادرة على توليد استجابة سامة أو تفتقر إلى بعض الخصائص والجزيئات في تركيبها، ولهذا يعتبر ذا مصداقية علمية للتنبؤ وتصنيف المواد الكيميائية غير المختبرة، كما يتم الأخذ بعين الاعتبار الأشعة السينية المعروفة من البروتينات والانزيمات، وكذلك تفاعلات الأدوية انطلاقاً من من ربط الخواص الفيزيائية والكيميائية لجزيئات بأنشطتها البيولوجية

بعض خصائص QSAR :

❖ السطح الجزيئي (SAG) :

هو غلاف يحيط بالذرات الموجودة في المحيط ، وهو ما يفسر سطح اتصال Ligand-Receptor ، أي تقارب ربط L-R [22-23] يسمح HyperChemp بحساب سطح الشبكة (SAG) مهما كانت المساحة التي يمكن الوصول إليها من المذيب أو سطح فان دير فالس. [23] في هذه النظرية يتم تمثيل كل ذرة من الجزيء بواسطة كرة. يحدد السطح الخارجي لجميع المجالات الذرية سطح فان دير فالس [24].

❖ معامل التجزئة : هو عبارة عن بيانات تجريبية تصف المادة، وتقرب الوسط الى جسم الكائن الحي ونشاطه البيولوجي فقد تكون المواد منخفضة الدهون للغاية أقل قدرة على تمرير الأغشية الدهنية والمواد التي تترافق بدرجة عالية في الأنسجة الدهنية وبالتالي قد لا تحرر الاستجابة البيولوجية. لمعامل التجزئة تأثير كبير على الذوبان والامتصاص والتوزيع والتمثيل الغذائي وإفراز الأدوية، وقدر هانش و ليو (Hanch et Léo) أن الجزيئات ذات درجة الدسم العالية سيتم الاحتفاظ بها داخل الدهون الغشائية [62]

إن أفضل طريقة لمعرفة قدرة المركب على الذوبان في الوسط المائي والوسائل العضوية هو قياس درجة الاحساس بالذوبان ويقدر ذلك بحساب توزع الدواء بين وسط مائي وعصوي مكون من مذيب الاكتانول

$$\text{Log P} = [\text{concentration du médicament}] \text{ Octanol} / [\text{concentration du médicament}] \text{ Eau}$$

❖ لقطبية: هي تعبر عن التوزيع الإلكتروني في المادة وهي ضرورية لربط أو إطلاق المادة (الجزيئات الضخمة) في أغشية الكائن الحي وبالتالي تحدد ما إذا كانت الاستجابة البيولوجية قد تحدث أم لا [3]

❖ الحجم الجزيئي (V) : هو حجم يشغل الجسم في درجة الحرارة والضغط العاديين. حسابه مشابه جداً لحساب السطح، يتم تعريف الحجم بالعلاقة التالية [3]

$$V = W / d$$

W : الكتلة الجزيئية.

d : الكثافة.

❖ المساحة الجزيئية: تعبّر عن غلاف فاند فالس للجزيء المعتبر، ولقد أثبتت أن هناك عدة ارتباطات بين الفعالية البيولوجية جزيء والمساحة الموقعة لكل مستبدالته غير القطبية، حيث أن

المساحة المناسبة والخاصية الليبوفيلية (محب للدسم) للمجموعات غير القطبية مرتبطة بدقة.

[45]

❖ السطح الجزيئي هو عبارة عن غلاف يحيط بالدارات الواقعة محيطيا، وهو ما يفسر سطح

التلامس المستقبلي [34, 35]Ligand

❖ التركيب الفراغي: يجب أن يكون الحجم والشكل المناسبين بالمستقبل أو التزيم قبل أن يحدث الجراء البيولوجي لكي لا يؤثر التركيب الفراغي على إمكانية التفاعل مع الجزيئات الكبيرة للكائن الحي. [43]

❖ الاستقطاب: نسمى الاستقطابية السهلة التي تتشوه بها السحابة الالكترونية من خلال حقل كهربائي خارجي، تلعب هذه الخاصية دوراً مهماً جدًا في نمذجة العديد من الخصائص الجزيئية، كما يمكن ان تؤدي قابلية الاستقطاب لجزيء ما الى تحسين قابليتها للذوبان في الماء، يتم تعريف الاستقطاب الجزيئي بالعلاقة التالية:[67, 68]

$$p(e) = \epsilon_0 \alpha E$$

α : معامل الإستقطابية (coefficient de polarisabilité)

ϵ_0 : ثابت العزل الكهربائي (constante diélectrique)

(moment électrique du dipole induit) (e) : العزم الكهربائي لثاني القطب المحرض

❖ الانكسارية المولية : ان الانكسار هو حالة خاصة من الحجم الجزيئي، لأن الانكسارية هي جودة الانكسار للجسم، فهي تستخدم في الكهرباء الاشعاعية في علم الأحياء[39]

في الكيمياء يعتبر الانكسار الجزيئي معياراً مهماً لقياس العامل الاستاتيكي، فمن المهم في الحالة التي تكون فيها المستبدلة تمتلك الكترونات او ثنائيات حرة، يتم تعريف الانكسارية الجزيئية بالعلاقة التالية:

$$MR = Vn (2 - 1/n^2 + 1)$$

V: حجم الجزيئية.

n: هو معامل الانكسار

❖ مساحة الشبكة: في هذه الطريقة يتم تمثيل كل ذرة من الجزيء بواسطة كرة، وهي طريقة شبكتية الأسرع والأكثر تقريرًا بغض النظر عن المنطقة التي يمكن الوصول إليها بالمذيبات. [1]

المراجع :

❖ قائمة المراجع باللغة اللاتينية :

- [1] Ramachandran ,I. ,Deepa ,G. Computational Chemistry and Molecular Modeling Principles and Applications. Computational Chemistry ,2008.
- [2] H. D. Höltje, G. Folkeis, Molecular Modeling: Basic Principles and Applications. VCH, New York, 1997.
- [3] C. Audouze, Vers une parallelisation par bandes en chimie quantique, Laboratoire deMathematique, UMR CNRS 8628, Universite Paris-Sud, 2003.
- [4] D. Liotta, Advances in Molecular Modeling, 1, Ed. JAI Press, .1988.
- [5] 48. Leach ,R. Molecular Modelling: Principles and Applications. Molecular Modelling ,2001.
- [6] J. Debord, Introductionà la modélisationmoléculaire, 41-37, .2004
- [8] Sylvain Dalençon; Synthèse d'analogues de nucléosides à quatre et six chaînons et incorporation d'analogues cyclobutyliques dans un motif oligonucléotidique antisens. Approche vers la synthèse de composés galactosyl-pyrrolo-pyridinones. thèse de doctorat Université du Maine U.F.R des Sciences et Techniques. 2010,pp1
- [9] S. Belaïdi, Thèse de doctorat, Université de Batna, 2002
- [10] BOUCHAREB, Lebbad Fatima. Etude par modélisation moléculaire des mécanismes de 0complexation. Thèse de doctorat. 09/01/2016.
- [11] Nadendla ,R. Molecular Modeling: A Powerful Tool for Drug Design and Molecular Docking ,resonance. Journal of Science Education. 2004; 51- 58.
- [12] A.R. Leach, Quantum Mechanical Models, in Molecular modelling: Principles and applications. Addison Wesley Longman Ltd.: Harlow. 1996, 25- 130.
- [13] E. Schrodinger, Ann. phys. Leipzig, 76, 361 (1926).

- [14] Dalal HARKATI.; Etude de la structure et des propriétés physicochimiques associées, de quelques molécules bioactives à intérêt pharmaceutique, thèse de doctorat, université de Mohamed Khider Biskra,2013,pp.
- [15] J. Hladik; M. Chrysos; P.-E. Hladik.L.U. Ancarani, Mécanique quantique, Masson,1997 1[H. D. Höltje, G. Folkeis, Molecular Modeling: Basic Principles and Applications. VCH, New York, 1997.
- [17] I. N. Levine, Quantum Chemistry, 5th Edition. USA, New Jersey, PrenticeHall, Inc 2000.
- [18] Æ. Frisch, and M. J. Frisch, Gaussian 98 User's Reference, 2nd Edition. U. S. A.: Gaussian, Inc 1999.
- [19] E.schrodinger. the physical review. An undulatory theory of the mechanics of atoms and molecules. Vol.28, No.6 .
- [20] M. Born.J.R. Oppenheimer, Ann. Physik. 84 (1927) 457.
- [21] K. B. Lipkowitz et D. B. Boyd, "The Application of Quantitative Design Strategies in Pesticide Discovery".Rewiews in Computational Chemistry, p. 119,1990
- [22] J.L.Rivail "Elément de chimie quantique à l'usage des chimistes".Inter Editions. Paris. 1994.
- [23] Jensen, F. Introduction to computational chemistry. John wiley& sons. 2017.
- [24] W. Koch and M. Holthausen. A Chemist's Guide to Density Functional Theory, 2 ed., Weinheim: Wiley VCHVerlag GmbH. 2001.
- [25] P. A. M. Dirac, Proc. Roy. Soc. London A117 (1928) 610-624. (b) P. A. M. Dirac, Proc.Roy. Soc.London A118.1928 , 351-361.
- [26] Young, D. (2004). Computational chemistry: a practical guide for applying techniques to real world problems. John Wiley & Sons
- [27] Sholl, D., & Steckel, J. A. (2011). Density functional theory: a practical introduction. John Wiley & Sons.

- [28] POPLE, John A., SANTRY, D. Po, et SEGAL, Gerald A. Approximate self-consistentmolecular orbital theory. I. Invariant procedures. The Journal of Chemical Physics,vol.43, no 10,1965 ,p. S129-S135.
- [29] L.R. Domingo; E.Chamorro.P.Perez, J.Org. Chem. 73 4615
- [30] CHERMETTE, H. Density functional theory: a powerful tool for theoretical studies in coordination chemistry. Coordination chemistry reviews,vol. 178,1998 , p. 699-721.
- [31] VON RAGUÉ SCHLEYER, Paul. Encyclopedia of computational chemistry.Chichester, UK : Wiley, 1998. [19] M. J. S. Dewar, G.L. Gladys, J. J. P. Stewart, J. Am. Chem. Soc. 106, 6771 1978.
- [32] P. Hohenberg.W. Kohn, B864. (1964)
- [34] W.P. Anderson, T. Cundari, R. Dargo, M.C. Zerner, Inorg.Chem. 29, 1 1990.
- [35] R Ouahas, Eléments de radiocristallographie, Office de Publication Universitaire (1995).
- [36] D. Avignant . Résolution structurale sur monocristal, Université Blaise Pascal, France(1998).
- [37] (a) Vince, R.; Hua, M.; Brownell, J.; Daluge, S. M.; Lee, F. C.; Shannon, W. M.; Lavelle, G. C.; Qualls, J.; Weislow, O. S.; Kiser, R.; Canonico, P. G.; Schultz, R. H.; Narayanan, V. L.; Mayo, J. G.; Shoemaker, R. H.; Boyd, M. R.; Biochem. Biophys. Res. Commun.; 156, 1988, pp 1046.
 (b) Vince, R.; Hua, M. J.; Med. Chem.; 33, 1990, pp 17. (c) Vince, R.; Nucleic Acids Symp. Ser.; 25, 1991, pp 193. (d) Parker, W. B.; Shaddix, S. C.; Bowdon, B. J.; Rose, L. M.; Vince, R.; Shannon, W. M.; Bennett, L. L.; Antimicrob. Agents Chemother.; 37, 1993, pp1004
- [40] A. Hocquet.M. Langgård, Molecular modeling annual. 4 (1998) 94.
- [41] Sylvain Dalençon; Synthèse d'analogues de nucléosides à quatre et six chaînons et incorporation d'analogues cyclobutyliques dans un motif oligonucléotidique antisens. Approche vers la synthèse de composés galactosyl-pyrrolo-pyridinones. thèse de doctorat Université du Maine U.F.R des Sciences et Techniques. 2010,pp1

- [42] S. Belaidi, Thèse de doctorat, Université de Batna, 2002
- [43] 50. Graeme 'W. The Theory of Composites 'Cambridge Monographs on Applied and Computational Mathematics. Cambridge University Press ' 2002.
- [44] D.H. Andrews, Physical Review. 36 (1930) 544.
- [45] A. Hamdouch.M.-H. Depret, (2008)
- [46] R.H. Holm; P. Kennepohl.E.I. Solomon, Chemical Reviews. 96 (1996) 2239.
- [47] I. Bremner, The American journal of clinical nutrition. 67 (1998) 1069S.
- [48] BOUCHAREB, Lebbad Fatima. Etude par modélisation moléculaire des mécanismes de complexation. Thèse de doctorat. 09/01/2016.
- [49] Lewars, E. G. Computational chemistry: introduction to the theory and applications of molecular and quantum mechanics. Springer. 2016.
- [50] HyperChem 5.0 user manuals, Hypercube, Inc., FL 1996.
- [51] S. L. Mayo, B. D. Olafson and W. A. Goddard III, J. Chem. Phys. 94, 8897 ,1990.
- [52] A. Halgren, J. Computational Chem. 17, 490 ,1990.
- [53] A. Albright; K. Burdett.H. Whangbo, Orbital interactions in chemistry, John Wiley & Sons, 2013.
- [54] Lee, Jumin, et al. "CHARMM-GUI input generator for NAMD, GROMACS, AMBER, OpenMM, and CHARMM/OpenMM simulations using the CHARMM36 additive force field." Journal of chemical theory and computation 12.1 (2016): 405-413.
- [55] Kollman, P. A. Advances and continuing challenges in achieving realistic and predictive simulations of the properties of organic and biological molecules. Accounts of ChemicalResearch, 29(10),1996 , 461-469.
- [56] N.L.Allinger, F.Li and L.Yan, J.Am. chem. Soc.1990, 117, 868.

[58] The Danish Environmental Protection Agency, Quantitative Structure-Activity Relationships (QSAR) and pesticides, pesticides Research No. 94 2004.

[59] N. Melkemi and S. Belaidi, Structure-Property Relationships and QSAR Modeling of Detoxication Properties of some 1,2-Dithiole-3-thione Derivatives, International journal of chemical research vol 4, pp. 134-139(2012.)

[60] B. Yavorski et A. Detlaf, "Aide-mémoire de physique", p.376, Editions Mir, Moscou, 1980.

❖ قائمة المراجع باللغة العربية :

- [7] صبرينة كباس ،راضية هبال ؛ دراسة بواسطة النمذجة الجزيئية للبنية والخصائص الفيزيوكيميائية لبعض الجزيئات النيكلويزية المضادة للفيروسات ، مذكرة مقدمة لنيل شهادة ماستر أكاديمي في الكيمياء التخصص: كيمياء عضوية ، ص 3
- [16] سمر باكون و أحلام هوده) تدريبات يف جمال النمذجة اجزئية (مركز أبحاث الشرق الأوسط للجينات والتقنية البيولوجية، رأس حناش، قضاء برتون، لبنان
- [33] أ. د. نعيمة عبد القادر أحمد و أ.د. محمد أمين سليمان (علم البلورات وألأشعة السينية) دار الفكر العربي، الطبعة الأولى (2005).
- [38] كتاب الإنسان و الفيروسات، المؤلف أستريد هيئة أبو ظبي الطبعة الأولى 1433هـ 2012 م.ص 39-17-15
- [39] رشيدة زواري أحمد؛ دراسة البرامترات المحبة للماء و الكارهة للماء على السطح المشترك (محب للماء/كاره) للماء للمضادات الحيوية الماكروليدية ذات 11 ذرة، مذكرة لنيل شهادة الماجستير في الكيمياء، جامعة ورقلة كلية العلوم و العلوم الهندسية قسم هندسة الطرائق،
- [57] كتاب الاستعراض العلمي لبحوث فيروس الجدري 1999-2010، المؤلف الصحة العالمية ، ، ص 14

البَرْزَانِي

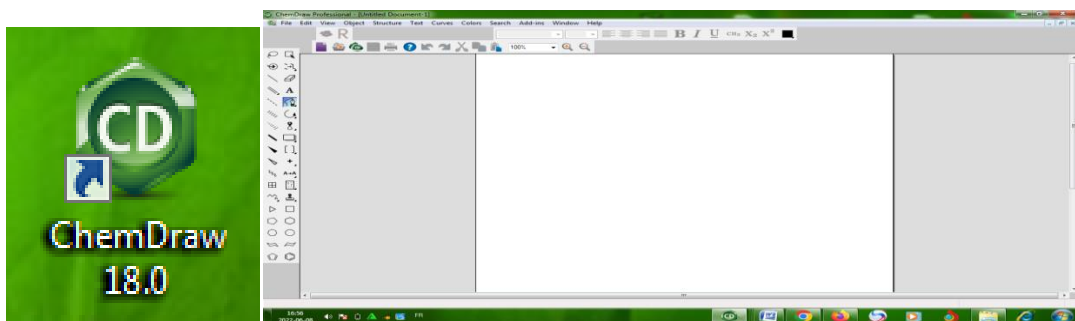
III-1- البرامج المستعملة في النمذجة :

1-1-III- البرامج الحاسوبية :

إن أجهزة الكمبيوتر قد أحدثت صورة في النمذجة الجزيئية ، إذ أن جل الحسابات توصلت إلى أنه لا يمكن النمذجة دون استخدام الحاسوب². فهناك برامج حاسوبية خاصة و مناسبة لنمذجة المركبات الكيميائية و غيره ، و تختلف حسب ما تقدمه من معلومات ، إذ أن هناك البرامج البسيطة التي تؤدي مهمة واحدة فقط ، و البرامج المعقدة التي تدمج العديد من الطرق المختلفة .

(الشكل رقم 18.0 ChemDraw :-1-1-III III)

يمثل ChemDraw أداة تمكن العلماء المحترفين و طالب العلوم والمُلّوّفين العلميين من التوصل للهيكل الكيميائي. يستخدم أيضا لرسم المركبات الكيميائية في صورها ثنائية أو ثلاثية الأبعاد ملخّصة الصور الفراغية ، كما يوفّر البرنامج خصائص أخرى كقياس الزوايا بين الروابط وأطوال الروابط الكيميائية والكتافة الإكرتونية [1] [2]



الشكل-1: واجهة برنامج ChemDraw

يحتوي البرنامج مجموعة من الأدوات تسهل إعداد أساسيات البيانات الكيميائية واستخراج أسماء الجزيئات وبعض خصائصها المتوفرة

(الشكل رقم 8.03 2007 سنة : 2-1-III)

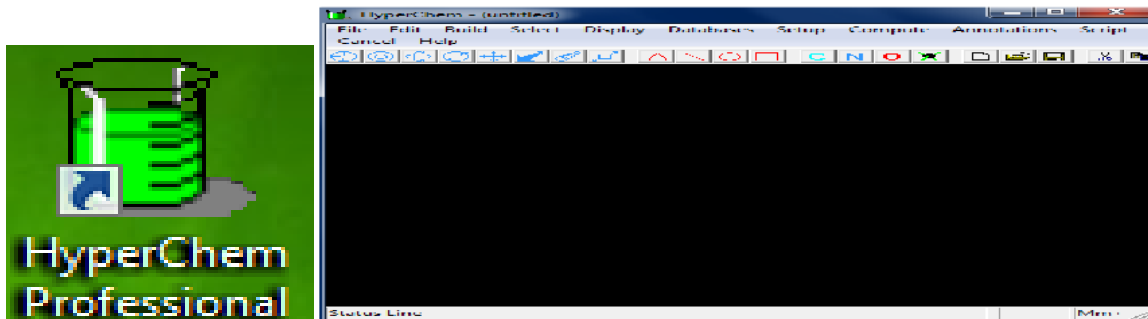
هو أحد البرامج المتقدمة في مجال النمذجة الجزيئية ذو قدرات حسابية عالية تتعلق بالأنظمة الجزيئية البسيطة والمعقدة ، وهو قادر على رسم الجزيء ببعدين وثلاثة أبعاد وبإحداثيات خطية وصولا إلى أفضل شكل مستقر للجزيئي [3] [4].

برنامج ال Hypercham جزئي متعدد الاستخدامات ذو حزمة حاسوبية قوية يقدم العديد من النماذج الجزيئية و حسابات ميكانيكا الكم يحتوي على واجهة رسومية تسهل استخدامه في بناء و عرض الجزيئات و التعامل مع هندسة الروابط والزوايا و الالتواءات و يحتوي على قاعدة بيانات لنماذج جزيئية تتمكن من بناء الجزيئات العملاقة (البوليميرات البروتينات) بسهولة ويستخدم :
*حسابات ميكانيكا الكم.

*تحسين هيكل الجزيئات.

*تقييم المسارات والاليات الكيميائية.

*استكشاف جهد الطاقة السطحي. [5]



الشكل-2-III : واجهة برنامج HyperChem

2-III-2. الوسائل و البرامج المستعملة في هذا العمل :

جهاز كمبيوتر محمول، برنامج Hyperchem,CChemDraw3

1-2-III-1. الأجهزة : تم إستخدام جهاز كمبيوتر من نوع msi، ذو الخصائص التالية :

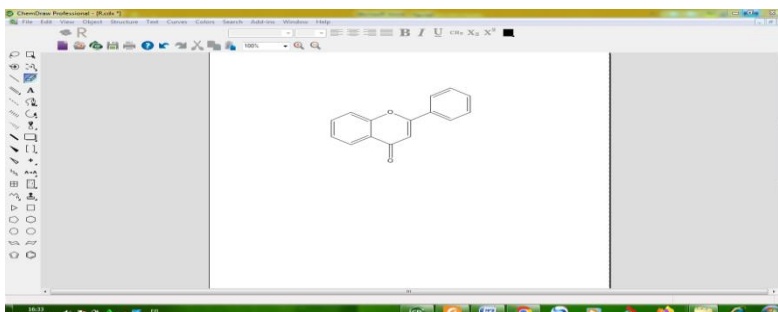
1. المعالج Intel(R) Xeon(R) CPU E5-2620 v3@ 2.40 GHz
2. سعة القرص الصلب : HDD 500GB
3. الذاكرة Memory installée (RAM): 64Go ويندوز تشغيل بنظام Windows 10

2-2-III-2. خطوات و طريقة العمل : كأي عمل تطبيقي أو بحث علمي ، فإن أول ما نشرع به هو عملية البحث ، إقتصرت عملية البحث في عملنا هذا في إيجاد و جمع مركبات الفلافونويد المختلفة ، فمن خلال موقع Al sndl قد استخرجنا أهم المقالات و التقارير السابقة التي تتناول في موضوعها هذه المركبات .

بعد البحث المتواصل ، استخرجنا كل المقالات تقريبا و التي تتناول هذا الموضوع . يجب اختيار بعضها ، بحيث يجب أن يتتوفر فيها :

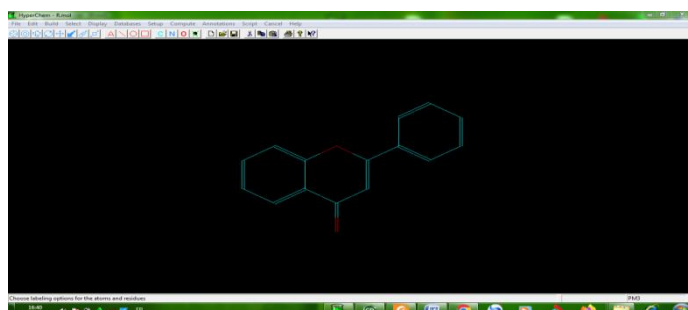
- أن يحتوي المقال على مركبات الفلافونويد الحاملة لنفس التركيبة الأم لمركبات الفلافونويد.
- أن يتتوفر المقال على مثل الأسم و الصيغة الكيميائية لكل مركب .
- و أن تتتوفر المركبات على الخاصية المضادة للأكسدة IC(50) dpph

بعد اختيار مركبات الفلافونويد . بالنسبة لبرنامج ال Chemdrawm نقوم برسم المركبات و حفظها .



الشكل رقم 3-III : البنية الأساسية للفلافونويد ببرنامج Chemdraw

بعد رسم مركبات الفلافونويد و رسمها و حفظها ، نشرع في العمل ببرنامج ال Hyperchem .



❖ الشكل رقم 4-III : البنية الأساسية للفلافونويد ببرنامج Hyperchem

بالنسبة للنتائج نعرض الجداول التالية :

قيم الطاقة (E) ؛ E(PM3) تظهر قيمة الطاقة .

جذور هاته المركبات حسب تغيرها وفقاً لبنية الفلافونويد الأساسية .

قيم الشحنة نختار بالنسبة ل البنية الأساسية .

قيم أطوال الروابط بالنسبة ل البنية الأساسية .

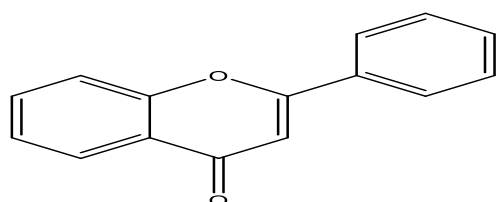
قيم أقياس الزوايا بالنسبة ل البنية الأساسية .

قيم ثلاث روابط بالنسبة ل البنية الأساسية .

قيم خصائص QSAR لمركبات الفلافونويد : عناصر QSAR هي : Surface Partial Charges ، Log P ، Hydration Energy ، Volume ، Surface Area (Grid) ، Area (Approx) . Mass ، Polarizability ، Refractivity . قيم ال Homo و Lomo و بعض الحسابات .

الجزء التطبيقي

بعد عملية البحث ، تحصلنا في الأخير على 53 مركب فلافونويد تتوفر لديهم الشروط المذكورة أعلاه .
هاته المركبات ، أسمائها الشائعة و العلمية و كذا المرجع المستوحاة منه ، مدونة في الجدول التالي :
(جدول رقم .).



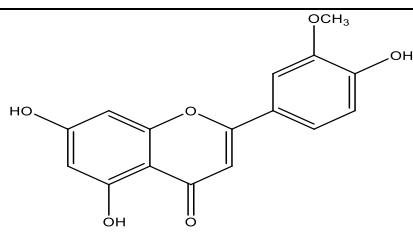
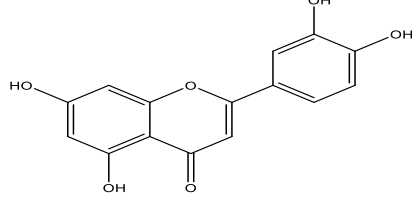
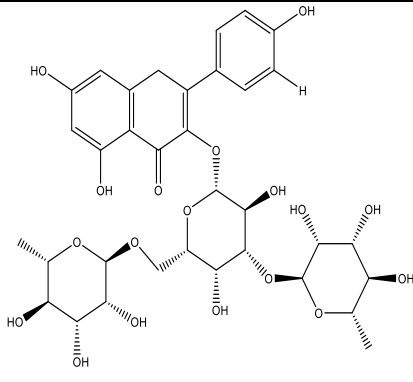
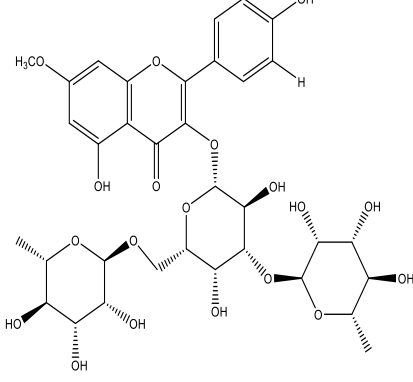
الشكل رقم 3-III : البنية الأم للفلافونويد

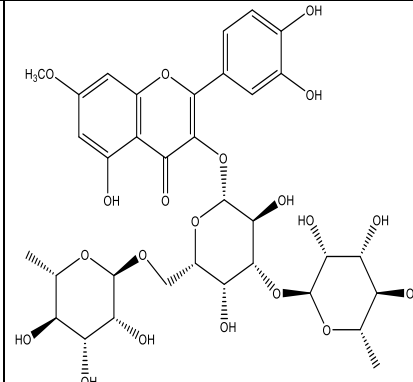
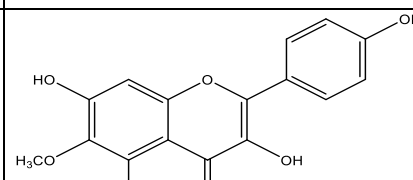
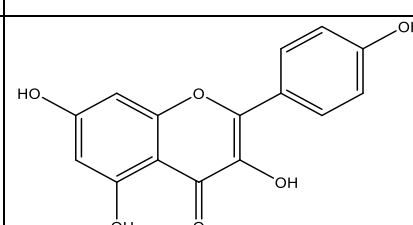
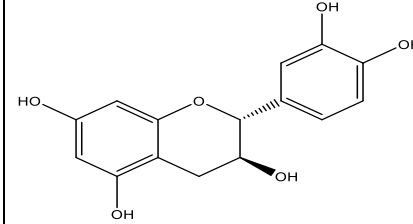
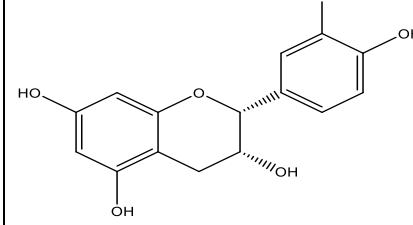
الجدول -3- قاعدة البيانات :

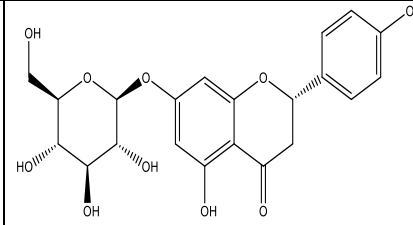
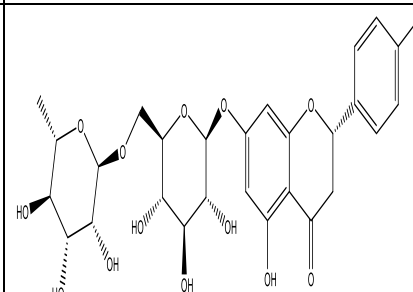
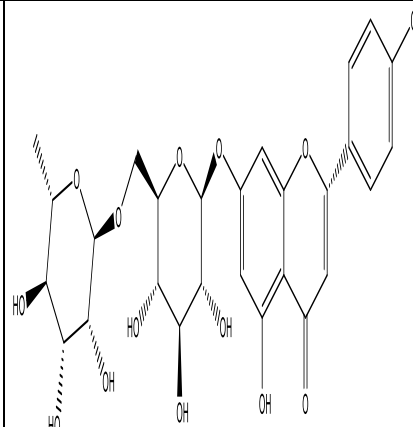
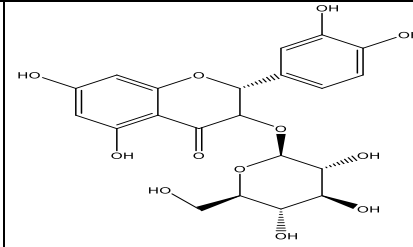
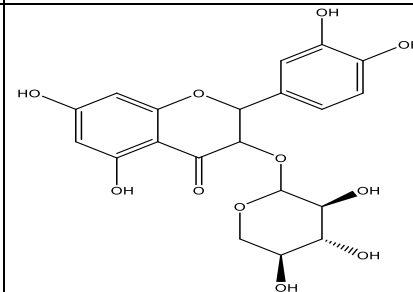
الجدول -1- المركبات الفلافونيدية المدروسة

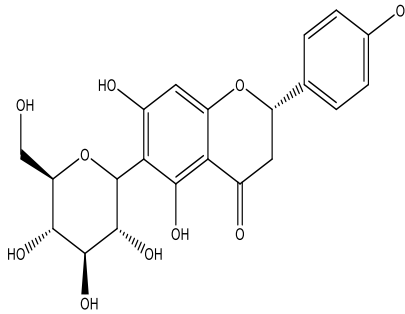
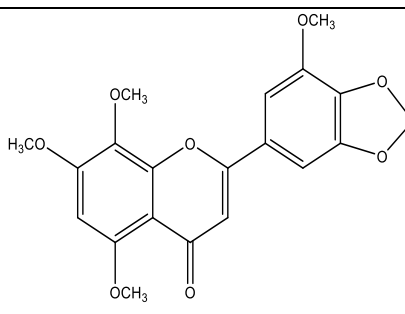
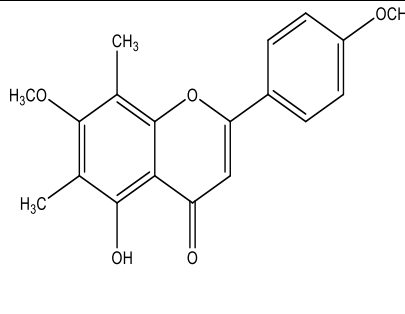
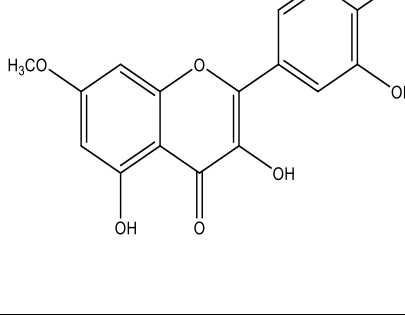
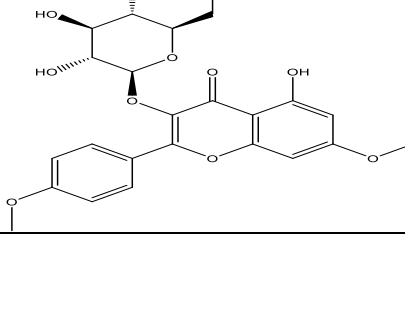
المرجع	الإسم العلمي	الاسم التجاري	المركب	الرقم
6	((2R,3S,5R)-3,4,5-trihydroxy-6-((5-hydroxy-2-(4-hydroxyphenyl)-4-oxo-4H-chromen-7-yl)oxy)tetrahydro-2H-pyran-2-yl)methyl (E)-3-(4-hydroxyphenyl)acrylate	Apigenin-7-O- β -[6''-O-E-p-coumaroyl glucoside]		1
6	(2R,3S,4R,5R,6S)-4,5-dihydroxy-6-((5-hydroxy-2-(4-hydroxyphenyl)-4-oxo-4H-chromen-7-yl)oxy)-2-(hydroxymethyl)tetrahydro-2H-pyran-3-yl (E)-3-(4-hydroxyphenyl)acrylate	Apigenin-7-O- β -[4''-O-E-p-coumaroyl glucoside]		2

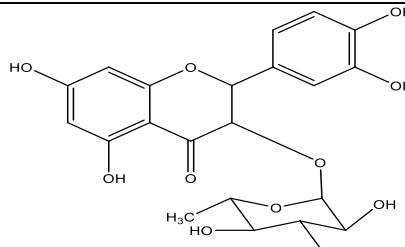
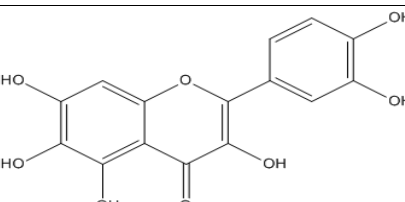
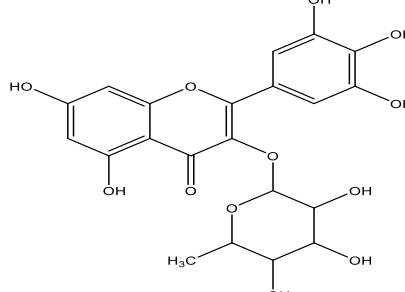
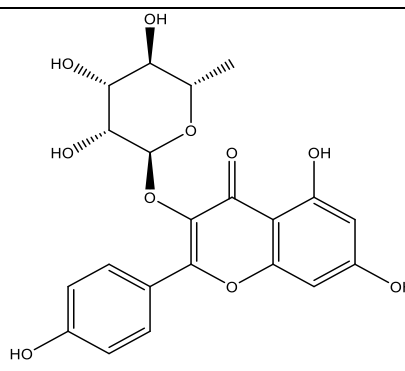
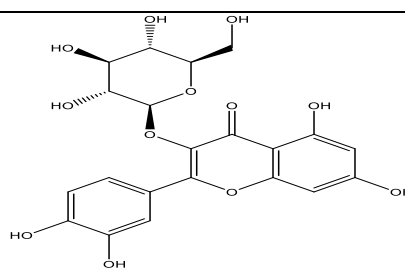
7	2R,3R)-2-(3,4-dihydroxyphenyl)-(3,5,7-trihydroxychroman-4-one	Taxifolin		3
8	2-(3,4-di-dihydroxyphenyl)-3,5,7-trihydroxy-4H-chromen-4-one	Quercetin		4
9	5-hydroxy-2-(4-hydroxyphenyl)-7-(((2S,3R,4S,5S,6R)-3,4,5-trihydroxy-6-(hydroxymethyl)tetrahydro-2H-pyran-2-yl)peroxy)-4H-chromen-4-one	Apigenen 7_O Glucoside		5
9	2-(3,4-dihydroxyphenyl)-5-hydroxy-7-(((2S,4R,5S)-3,4,5-trihydroxy-6-(hydroxymethyl)tetrahydro-2H-pyran-2-yl)oxy)-4H-chromen-4-one	Luteolin 7_O Glucoside		6
10	5-hydroxy-2-(4-hydroxyphenyl)-7,8-dimethoxy-4H-chromen-4-one	7,8_Dimethoxy isoscutellarein		7
10	5,7-dihydroxy-2-(4-hydroxyphenyl)-4H-chromen-4-one	Apigenin		8

10	5,7-dihydroxy-2-(4-hydroxy-3-methoxyphenyl)-4H-chromen-4-one	Chryseriol		9
10	2-(3,4-dihydroxyphenyl)-5,7-dihydroxy-4H-chromen-4-one	Luteolin		10
11	2-(((2R,3S,4R,5R,6S)-3,5-dihydroxy-4-(((2S,3R,4R,5R,6S)-3,4,5-trihydroxy-6-methyltetrahydro-2H-pyran-2-yl)oxy)-6-((((2R,3R,4R,5R,6S)-3,4,5-trihydroxy-6-methyltetrahydro-2H-pyran-2-yl)oxy) methyl) tetrahydro-2H-pyran-2-yl) oxy)-6,8-dihydroxy-3-(4-hydroxyphenyl)naphthalen-1(4H)-one	kaempferol 3-O-β-isorhamnino side		11
11	3-(((2R,3S,4R,5R,6S)-3,5-dihydroxy-4-(((2S,3R,4R,5R,6S)-3,4,5-trihydroxy-6-methyltetrahydro-2H-pyran-2-yl)oxy)-6-((((2R,3R,4R,5R,6S)-3,4,5-trihydroxy-6-methyltetrahydro-2H-pyran-2-yl)oxy) methyl) tetrahydro-2H-pyran-2-yl)oxy)-5-hydroxy-2-(4-hydroxyphenyl)-7-methoxy-4H-chromen-4-one	rhamnocitrin 3-O-β-isorhamnino side		12

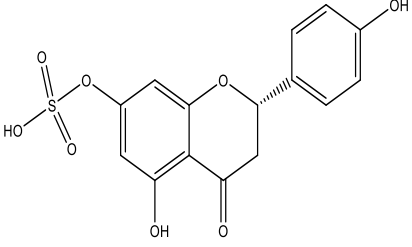
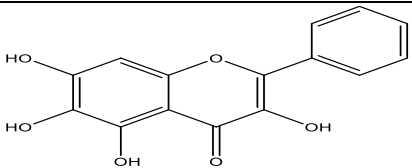
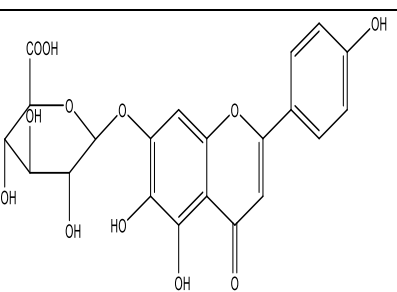
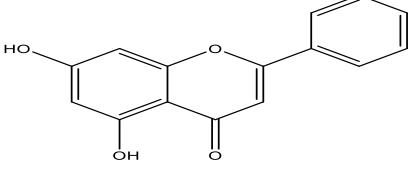
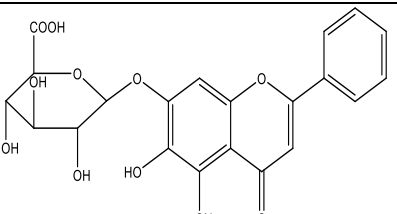
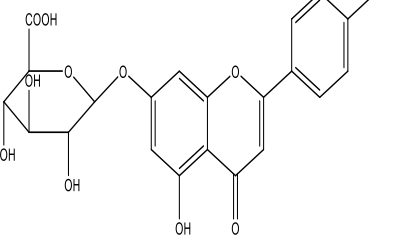
11	3-(((2R,3S,4R,5R,6S)-3,5-dihydroxy-4-((2S,3R,4R,5R,6S)-3,4,5-trihydroxy-6-methyltetrahydro-2H-pyran-2-yl)oxy)-6-(((2R,3R,4R,5R,6S)-3,4,5-trihydroxy-6-methyltetrahydro-2H-pyran-2-yl)oxy) methyl) tetrahydro-2H-pyran-2-yl)oxy)-2-(3,4-dihydroxyphenyl)-5-hydroxy-7-methoxy-4H-chromen-4-one	rhamnetin-3-O- <i>b</i> -isorhamnino side		13
12	3,5,7-trihydroxy-2-(4-hydroxyphenyl)-6-methoxy-4H-chromen-4-one	3 (6-methoxykaempfeol)		14
13	3,5,7-trihydroxy-2-(4-hydroxyphenyl)-4H-chromen-4-one	Kaempferol		15
14	(2R,3S)-2-(3,4-dihydroxyphenyl)chromane-3,5,7-triol	catechin-($-$)		16
14	(2R,3R)-2-(3,4-dihydroxyphenyl)chromane-3,5,7-triol	epi--($-$)catechin		17

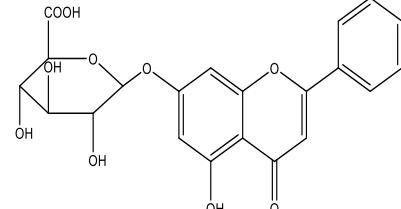
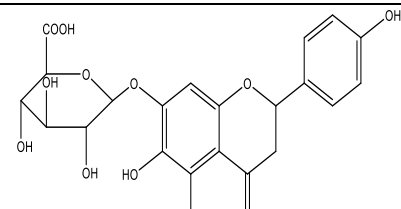
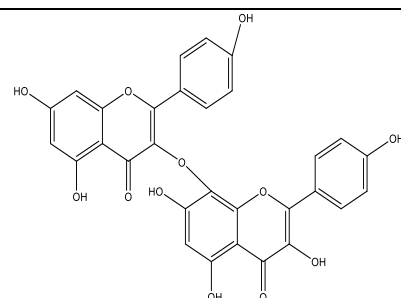
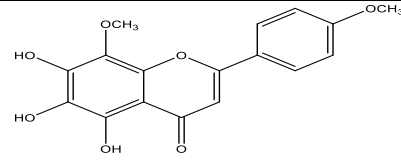
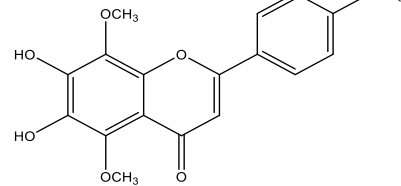
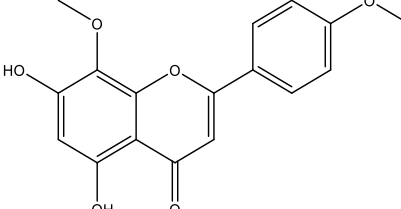
14	(S)-5-hydroxy-2-(4-hydroxyphenyl)-7-(((2S,3R,4S,5S,6R)-3,4,5-trihydroxy-6-(hydroxymethyl)tetrahydro-2H-pyran-2-yl)oxy)chroman-4-one	naringenin-7-O- β -D-glucopyranoside		18
14	(S)-5-hydroxy-2-phenyl-7-(((2S,3R,4S,5S,6R)-3,4,5-trihydroxy-6-(((2R,3R,4R,5R,6S)-3,4,5-trihydroxy-6-methyltetrahydro-2H-pyran-2-yl)oxy)methyl)tetrahydro-2H-pyran-2-yl)oxy)chroman-4-one	pinocembrin 7-O-rutinoside		19
14	5-hydroxy-2-(4-hydroxyphenyl)-7-(((2S,3R,4S,5S,6R)-3,4,5-trihydroxy-6-(((2R,3R,4R,5R,6S)-3,4,5-trihydroxy-6-methyltetrahydro-2H-pyran-2-yl)oxy)methyl)tetrahydro-2H-pyran-2-yl)oxy)-4H-chromen-4-one	naringenin 7-O- β -D-rutinoside		20
13	(2R)-2-(3,4-dihydroxyphenyl)-5,7-dihydroxy-3-(((2S,3R,4S,5S,6R)-3,4,5-trihydroxy-6-(hydroxymethyl)tetrahydro-2H-pyran-2-yl)oxy)chroman-4-one	quercetin-3-O- β -D-glucopyranoside		21
14	2-(3,4-dihydroxyphenyl)-5,7-dihydroxy-3-(((3S,4R,5S)-3,4,5-trihydroxytetrahydro-2H-pyran-2-yl)oxy)chroman-4-one	quercetin-3-O-xyloside		22

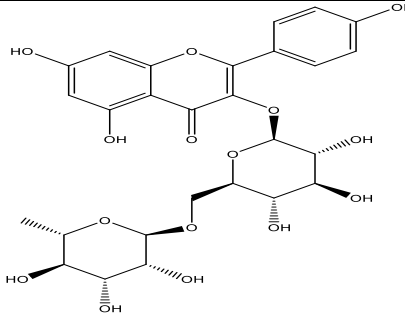
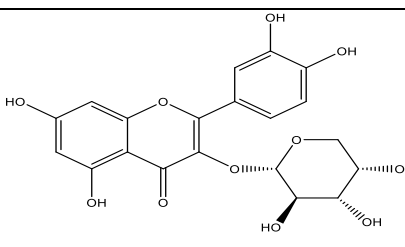
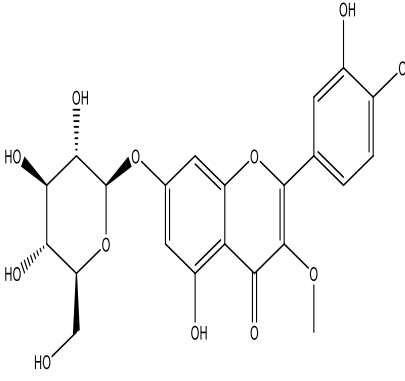
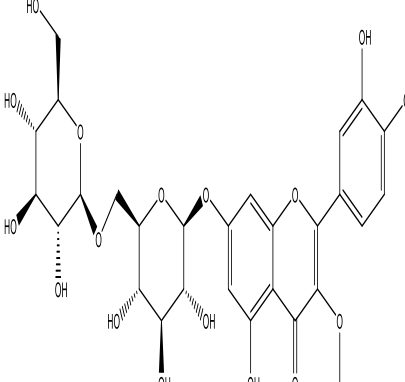
14	(2S)-5,7-dihydroxy-2-(4-hydroxyphenyl)-6-((3R,4R,5S,6R)-3,4,5-trihydroxy-6-(hydroxymethyl)tetrahydro-2H-pyran-2-yl)chroman-4-one	Isovitexin	
23			
14	5,7,8-trimethoxy-2-(7-methoxybenzo[d][1,3]dioxol-5-yl)-4H-chromen-4-one	5,7,8,5'-tetramethoxy-3', 4'-methylenedioxy flavones	
24			
14	5-hydroxy-7-methoxy-2-(4-methoxyphenyl)-6,8-dimethyl-4H-chromen-4-one	5hydroxy—4,7--dimethoxy-6,8-di-C-methylflavone	
25			
14	2-(3,4-dihydroxyphenyl)-3,5-dihydroxy-7-methoxy-4H-chromen-4-one	quercetin 7-methyl ether	
26			
14	hydroxy-7-methoxy-2-(4--5-methoxyphenyl)-3-(((2S,3R,4S,5S,6R)-3,4,5-trihydroxy-6-(hydroxymethyl)tetrahydro-2H-	Kaempferol 7,4'-dimethylether 3-O-b-D-	
27			

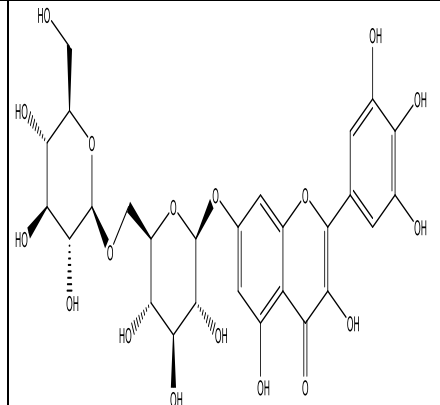
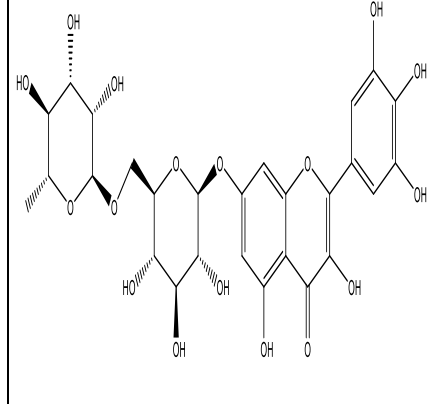
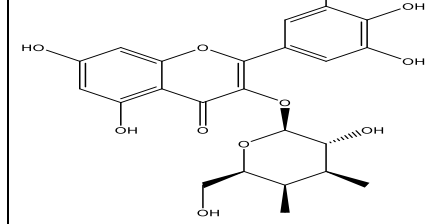
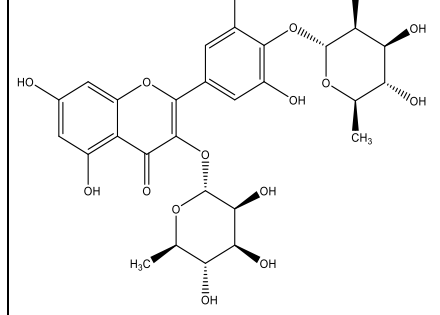
	pyran-2-yl)oxy)-4H-chromen-4-one	glucopyranoside		
15	2-(3,4-dihydroxyphenyl)-5,7-dihydroxy-3-((2S,3S,4R,5R,6S)-3,4,5-trihydroxy-6-methyltetrahydro-2H-pyran-2-yl)oxy)chroman-4-one	taxifolin 3-O- <i>a</i> -L-rhamnopyranoside		28
16	2-(3,4-dihydroxyphenyl)-3,5,6,7-tetrahydroxy-4H-chromen-4-one	Quercetagetin		29
8	5,7-dihydroxy-3-((3,4,5-trihydroxy-6-methyltetrahydro-2H-pyran-2-yl)oxy)-2-(3,4,5-trihydroxyphenyl)-4H-chromen-4-one	Myricetin-3-O- <i>b</i> -D-rhamnoside		30
8	dihydroxy-2-(4-hydroxyphenyl)-5,7-3-((2S,3R,4R,5R,6S)-3,4,5-trihydroxy-6-methyltetrahydro-2H-pyran-2-yl)oxy)-4H-chromen-4-one	Kaempferol-3-O- <i>b</i> -D-rhamnoside		31
8	dihydroxyphenyl)-5,7--3,4)-2-dihydroxy-3-((2S,3R,4S,5S,6R)-3,4,5-trihydroxy-6-(hydroxymethyl)tetrahydro-2H-pyran-2-yl)oxy)-4H-chromen-4-one	Quercetin-3-O- <i>b</i> -D-glucoside		32

8	2-(3,4-dihydroxyphenyl)-5,7-dihydroxy-3-((3,4,5-trihydroxy-6-(hydroxymethyl)tetrahydro-2H-pyran-2-yl)oxy)-4H-chromen-4-one	Quercetin-3-O-β-D-galactoside		33
8	2-(3,4-dihydroxyphenyl)-5,7-dihydroxy-3-((3,4,5-trihydroxy-6-(((3,4,5-trihydroxy-6-methyltetrahydro-2H-pyran-2-yl)oxy)methyl)tetrahydro-2H-pyran-2-yl)oxy)-4H-chromen-4-one	Rutin		34
17	(2R,3R)-2-(3,4-dihydroxyphenyl)-3,5-dihydroxy-4-oxochroman-7-yl hydrogen sulfate	taxifolin-7-sulfate		35
17	(2R,3R)-3,5-dihydroxy-2-(4-hydroxyphenyl)-4-oxochromane-7-sulfonic acid	dihydrokaempferol-7-sulfate		36
17	(2R,3R)-3,5-dihydroxy-2-(4-hydroxyphenyl)-4-oxochromane-7-sulfonic acid	eriodictyol-7-sulfate		37

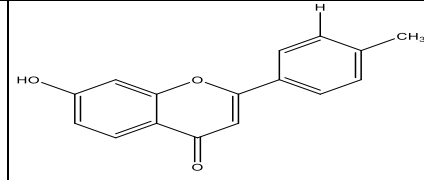
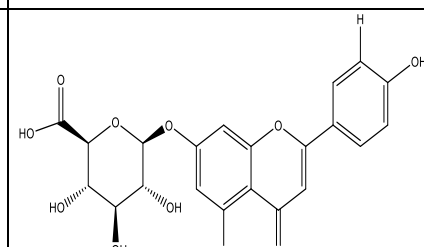
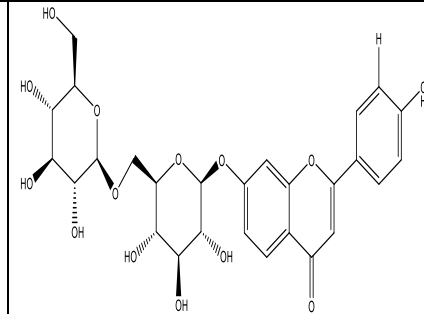
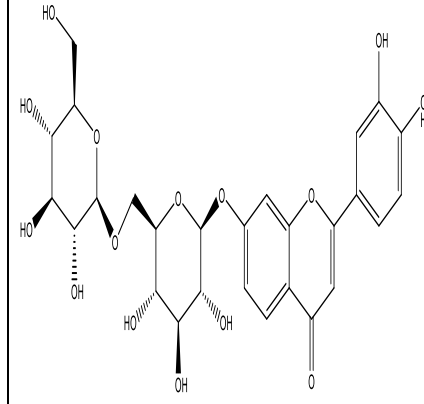
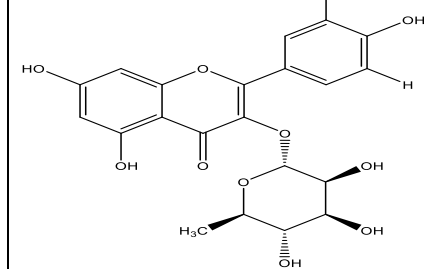
17	(S)-5-hydroxy-2-(4-hydroxyphenyl)-4-oxochroman-7-yl hydrogen sulfate	naringenin-7-sulfate		38
18	3,5,6,7-tetrahydroxy-2-phenyl-4H-chromen-4-one	Baicalein		39
18	(2S,3S,4S,5R,6S)-6-((5,6-dihydroxy-2-(4-hydroxyphenyl)-4-oxo-4H-chromen-7-yl)oxy)-3,4,5-trihydroxytetrahydro-2H-pyran-2-carboxylic acid	Scutellarin		40
18	5,7-dihydroxy-2-phenyl-4H-chromen-4-one	Chrysin		41
18	5,7-dihydroxy-2-phenyl-4H-chromen-4-one	Baicalin		42
18	(2S,3S,4S,5R,6S)-3,4,5-trihydroxy-6-((5-hydroxy-2-(4-hydroxyphenyl)-4-oxo-4H-chromen-7-yl)oxy)tetrahydro-2H-pyran-2-carboxylic acid	apigenin-7-O-glucuronide		43

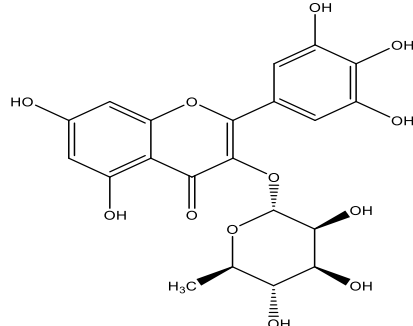
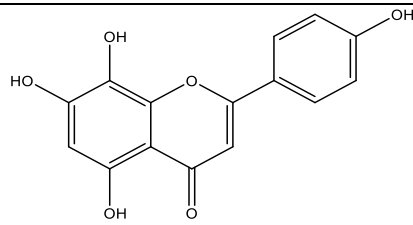
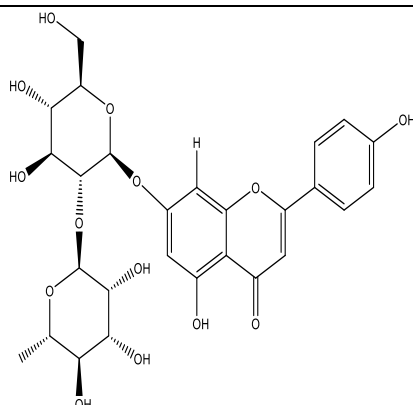
18	(2S,3S,4S,5R,6S)-3,4,5-trihydroxy-6-((5-hydroxy-4-oxo-2-phenyl-4H-chromen-7-yl)oxy)tetrahydro-2H-pyran-2-carboxylic acid	chrysin-7-O-glucuronide		44
18	(2S,3S,4S,5R,6S)-6-((5,6-dihydroxy-2-(4-hydroxyphenyl)-4-oxochroman-7-yl)oxy)-3,4,5-trihydroxytetrahydro-2H-pyran-2-carboxylic acid	isocarthamidin-7-O-glucuronide		45
19	8-((5,7-dihydroxy-2-(4-hydroxyphenyl)-4-oxo-4H-chromen-3-yl)oxy)-3,5,7-trihydroxy-2-(4-hydroxyphenyl)-4H-chromen-4-one	dimeric kaempferol		46
19	5,6,7-trihydroxy-8-methoxy-2-(4-methoxyphenyl)-4H-chromen-4-one	5, 6, 7-trihydroxy-8, 4'-dimethoxyflavone		47
19	6,7-dihydroxy-5,8-dimethoxy-2-(4-methoxyphenyl)-4H-chromen-4-one	6, 7-dihydroxy - 6, 8, 4'-trimethoxyflavone		48
20	5,7-dihydroxy-8-methoxy-2-(4-methoxyphenyl)-4H-chromen-4-one	Galangustin		49

15	5,7-dihydroxy-2-(4-hydroxyphenyl)-3-(((2S,3R,4S,5S,6R)-3,4,5-trihydroxy-6-(((2R,3R,4R,5R,6S)-3,4,5-trihydroxy-6-methyltetrahydro-2H-pyran-2-yl)oxy)methyl)tetrahydro-2H-pyran-2-yl)oxy)-4H-chromen-4-one	Kaempferol 3-O-rutinoside		50
15	2-(3,4-dihydroxyphenyl)-5,7-dihydroxy-3-(((2S,3R,4S,5S)-3,4,5-trihydroxytetrahydro-2H-pyran-2-yl)oxy)-4H-chromen-4-one	Quercetin 3-O-a-L-arabinoside		51
15	2-(3,4-dihydroxyphenyl)-5-hydroxy-3-methoxy-7-(((2R,3S,4R,5R,6S)-3,4,5-trihydroxy-6-(hydroxymethyl)tetrahydro-2H-pyran-2-yl)oxy)-4H-chromen-4-one	Quercetin 3-methoxy-7-O-beta-D-glucoside		52
15	2-(3,4-dihydroxyphenyl)-5-hydroxy-3-methoxy-7-(((2S,3R,4S,5S,6R)-3,4,5-trihydroxy-6-(((2R,3R,4S,5S,6R)-3,4,5-trihydroxy-6-(hydroxymethyl)tetrahydro-2H-pyran-2-yl)oxy)methyl)tetrahydro-2H-pyran-2-yl)oxy)-4H-chromen-4-one	Quercetin 3-methoxy-7-O-gentiobioside		53

15	3,5-dihydroxy-7-(((2S,3R,4S,5S,6R)-3,4,5-trihydroxy-6-(((2R,3R,4S,5S,6R)-3,4,5-trihydroxy-6-(hydroxymethyl)tetrahydro-2H-pyran-2-yl)oxy)methyl)tetrahydro-2H-pyran-2-yl)oxy)-2-(3,4,5-trihydroxyphenyl)-4H-chromen-4-one	Myricetin 7-O-gentiobioside		54
15	3,5-dihydroxy-7-(((2S,3R,4S,5S,6R)-3,4,5-trihydroxy-6-(((2S,3S,4S,5S,6R)-3,4,5-trihydroxy-6-methyltetrahydro-2H-pyran-2-yl)oxy)methyl)tetrahydro-2H-pyran-2-yl)oxy)-2-(3,4,5-trihydroxyphenyl)-4H-chromen-4-one	Myricetin 7-O-rutinoside		55
15	5,7-dihydroxy-3-(((2S,3R,4S,5R,6S)-3-hydroxy-6-(hydroxymethyl)-4,5-dimethyltetrahydro-2H-pyran-2-yl)oxy)-2-(3,4,5-trihydroxyphenyl)-4H-chromen-4-one	Myricetin 3-O-β-D-galactoside		56
15	2-(3,5-dihydroxy-4-(((2R,3S,4S,5S,6R)-3,4,5-trihydroxy-6-methyltetrahydro-2H-pyran-2-yl)oxy)phenyl)-5,7-dihydroxy-3-(((2R,3S,4S,5S,6R)-3,4,5-trihydroxy-6-methyltetrahydro-2H-pyran-2-yl)oxy)-4H-chromen-4-one	Myricetin 3,4-O-di-α-L--rhamnoside		57

15	2-(3,5-dihydroxy-4-methylphenyl)-5,7-dihydroxy-3-(((2S,3R,4S,5R,6R)-3,4,5-trihydroxy-6-(hydroxymethyl)tetrahydro-2H-pyran-2-yl)oxy)-4H-chromen-4-one	Myricetin 40 methoxy-3-O- <i>b</i> -D-galactoside		58
15	2-(3,5-dihydroxy-4-methylphenyl)-5,7-dihydroxy-3-(((2R,3S,4S,5S,6R)-3,4,5-trihydroxy-6-methyltetrahydro-2H-pyran-2-yl)oxy)-4H-chromen-4-one	Myricetin 40 methoxy-3-O- <i>a</i> -L-rhamnoside		59
15	3,7-dihydroxy-2-(3,4,5-trihydroxyphenyl)-4H-chromen-4-one	3,7,3'4', 5' -pentahydroxyflavone		60
15	2-(3,5-dihydroxy-4-methylphenyl)-3,7-dihydroxy-4H-chromen-4-one	3,7,3',5'-tetrahydroxy-4'-methoxyflavone		61
15	3,7-dihydroxy-2-(4-hydroxy-3,5-dimethylphenyl)-4H-chromen-4-one	3,7,4'-trihydroxy-3' , 5'-dimethoxyflavone		62

15	7-hydroxy-2-(p-tolyl)-4H-chromen-4-one	4 0 Methoxy--apigenin		63
15	(2S,3S,4S,5R,6S)-3,4,5-trihydroxy-6-((5-hydroxy-2-(4-hydroxyphenyl)-4-oxo-4H-chromen-7-yl)oxy)tetrahydro-2H-pyran-2-carboxylic acid	Apigenin 7-O-b-D-glucuronide		64
15	2-(4-hydroxyphenyl)-7-(((2S,3R,4S,5S,6R)-3,4,5-trihydroxy-6-(((2R,3R,4S,5S,6R)-3,4,5-trihydroxy-6-(hydroxymethyl)tetrahydro-2H-pyran-2-yl)oxy)methyl)tetrahydro-2H-pyran-2-yl)oxy)-4H-chromen-4-one	Apigenin 7-O-gentiobioside		65
15	2-(3,4-dihydroxyphenyl)-7-(((2S,3R,4S,5S,6R)-3,4,5-trihydroxy-6-(((2R,3R,4S,5S,6R)-3,4,5-trihydroxy-6-(hydroxymethyl)tetrahydro-2H-pyran-2-yl)oxy)methyl)tetrahydro-2H-pyran-2-yl)oxy)-4H-chromen-4-one	Luteolin 7-O-gentiobioside		66
15	2-(3,4-dihydroxyphenyl)-5,7-dihydroxy-3-(((2R,3S,4S,5S,6R)-3,4,5-trihydroxy-6-methyltetrahydro-2H-pyran-2-yl)oxy)-4H-chromen-4-one	Taxifolin 3-O-a-L-rhamnoside		67

15	5,7-dihydroxy-3-((2R,3S,4S,5S,6R)-3,4,5-trihydroxy-6-methyltetrahydro-2H-pyran-2-yl)oxy)-2-(3,4,5-trihydroxyphenyl)-4H-chromen-4-one	Dihydromyricetin 3-O-alpha-L-rhamnoside	 68
15	5,7,8-trihydroxy-2-(4-hydroxyphenyl)-4H-chromen-4-one	Hydroxy-8-naringenin	 69
15	7-(((2S,3R,4S,5S,6R)-4,5-dihydroxy-6-(hydroxymethyl)-3-((2S,3R,4R,5R,6S)-3,4,5-trihydroxy-6-methyltetrahydro-2H-pyran-2-yl)oxy)tetrahydro-2H-pyran-2-yl)oxy)-5-hydroxy-2-(4-hydroxyphenyl)-4H-chromen-4-one	Naringenin 7-O-neohesperidoside	 70

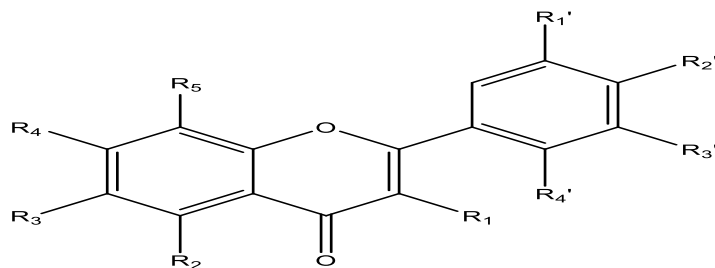
قيم الطاقة E بالنسبة لحقل MM+ و الحقل PM3 لمركبات الفلافونويد المدروسة مدونة كالتالي :

الجدول III - 2 :- قيم الطاقة E2(PM3) ، E1(MM+) لمركبات الفلافونويد :

E2(PM3)	E1(MM+)	المرتب	E2(PM3)	E1(MM+)	المرتب	E2(PM3)	E1(MM+)	المرتب
-7625.0869	42.400387	50	-3993.3378	23.619820	28	-7571.0784	47.356794	1
-5395.5482	349324 .30 .	51	-5631.5849	20.35694	29	-7573.2609	52.33749	2
-6041.8800	25560738	52	-5799.7258	20.567902	30	-3844.7442	6.909972	3
-58083.391	50.252747	53	-3824.8886	16.552942	31	-3726.4429	19.817144	4
-7926.6226	47.402858	54	-3654.9866	16.32565	33	-5616.1125	31.996335	5
-7825.9952	46.592968	55	-2516.2546	20.32548	34	-5718.6144	30.535894	6
-6181.9273	747.732788	56	-4200.1549	23.256841	35	-4157.3107	24.260679	7
-7728.8906	47.894855	57	-2354.2365	21.236584	36	-3524.5573	16.824410	9
-61442.132	40.186733	58	-3265.2546	19.325695	37	-3895.0668	20.036743	10
-6045.5930	36.539757	59	-4209.9717	18.116243	39	-3627.1174	15.310415	11
-3719.9462	17.203643	60	-3997.0316	17.923705	40	-9762.7004	64.962120	12
3988.4049	32.474311	61	-4116.3197	17.483192	41	-9842.6831	63.059509	13
-4254.9346	28.203902	62	-4011.9610	19.409301	42	-9947.7538	66.455939	14
-3595.3592	15.516032	63	-3617.4075	17.972357	43	-3989.9735	25.160802	16
-5568.9852	29.301825	64	-5671.6312	26.077171	44	-3623.7529	21.230620	17
-7507.7549	45.180337	65	-3419.4528	16.615265	45	-3861.2161	2.084261	18
-7714.6244	44.481798	66	-5565.7830	25.865571	46	-3861.1261	2.084261	19
-5677.7618	32.625426	67	-5569.6311	29.166514	47	-5691.3773	25.067139	20
-5780.5113	30.941452	68	-5464.3290	28.925330	48	-7541.4338	35.529425	21

-3621.1401	14.212362	69	-5791.1757	16.139637	49	-7523.3270	44.863709	22
-7529.8158	47.387358	70	-7116.1019	35.659005	50	-5898.8904	21.103832	23
			-4259.6667	25.179074	51	-5519.7451	18.468577	24
	.		-4519.1581	25.179074	52	-5788.7589	22.920933	25
			-4161.1425	22.439616	53	-5033.7750	38.983432	26
			-7625.0869	42.400387	50	-4620.4743	22.897962	27

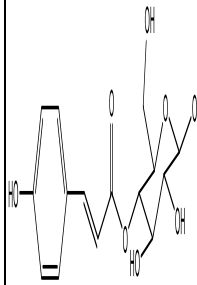
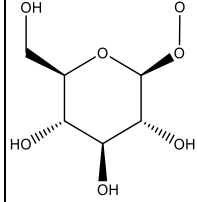
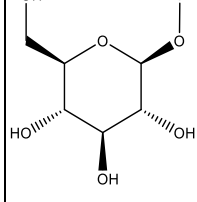
استخرجنا جذور هاته المركبات حسب تغيرها وفقاً لبنية الفلافونويد الأساسية (شكل رقم) ، و لخصت في الجدول التالي :



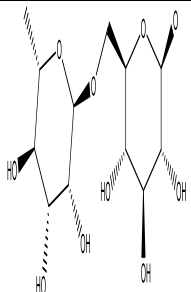
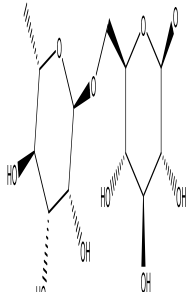
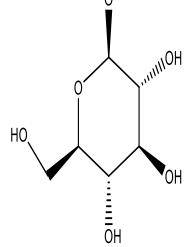
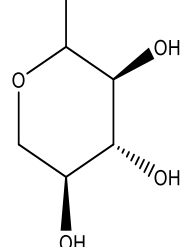
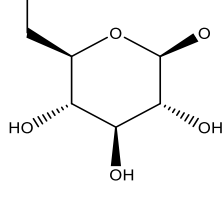
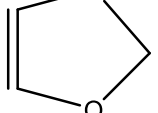
الشكل رقم رقم III-6 - بنية الفلافونويد مع الجذور

الجدول رقم III-3 - الجذور R';R2';R3';R4';R1;R2;R3;R4 الثمانية للمركبات المدروسة ،
كالآتي :

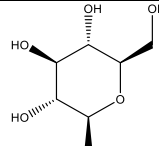
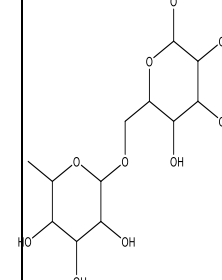
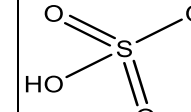
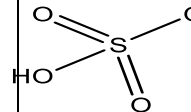
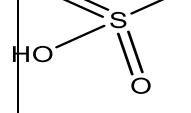
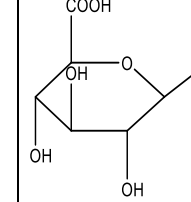
المركب	R1'	R2'	R3'	R4'	R1	R2	R3	R4	R5
1	\	OH	\	\	\	O H	\		\

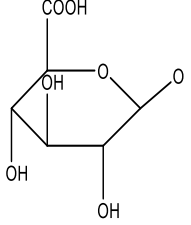
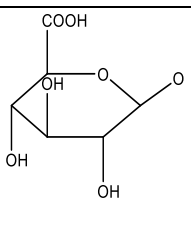
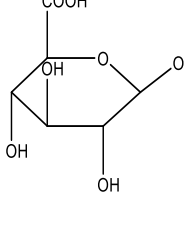
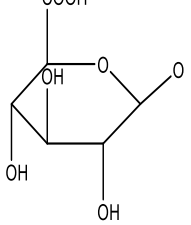
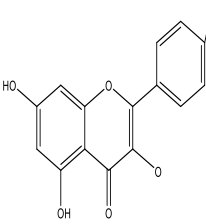
2	\	OH	\	\	\	O H	\		\
3	OH	OH	\	\	OH	O H	\	OH	\
4	OH	OH	\	\	OH	O H	\	OH	\
5	\	OH	\	\	\	O H	\		\
6	OH	OH	\	\	\	O H	\		\
7	\	OH	\	\	\	O H	\	H3CO	OCH3
8	\	OH	\	\	\	O H	\	OH	\
9	OC H3	OH	\	\	\	O H	\	OH	\
10	OH	OH	\	\	\	O H	\	OH	\

11	\	OH	H	\		O H	\	OH	\
12	\	OH	H	\		O H	\	OCH3	\
13	\	OH	OH	\		O H	\	OCH3	\
14	\	OH	\	\	OH	O H	H3CO	OH	\
15	\	OH	\	\	OH	O H	\	OH	\
16	OH	OH	\	\	OH	O H	\	OH	\
17	OH	OH	\	\	OH	O H	\	OH	\
18	\	OH	\	\	\	O H	\		\

19	\	H	\	\	\	O H	\		\
20	\	OH	\	\	\	O H	\		\
21	OH	OH	\	\		O H	\	OH	\
22	OH	OH	\	\		O H	\	OH	\
23	\	OH	\	\	\	O H		OH	\
26	OC H3		\	\	\	O C H3	\	OCH3	OCH3

25	\	OC H3	\	\	\	O H	CH3	OCH3	CH3	
26	\	OH	OH	\	OH	O H	\	OCH3	\	
27	\	OC H3	\	\		O H	\	OCH3	\	
28	\	OH	OH	\		O H	\	OH	\	
29	/	OH	OH	\	OH	O H	OH	OH	\	
30	OH	OH	OH	\		O H	\	OH	\	
31	\	OH	/	\		O H	\	OH	/	
32	/	OH	OH	\		O H	\	OH	\	

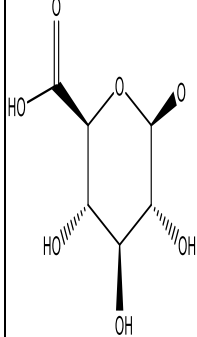
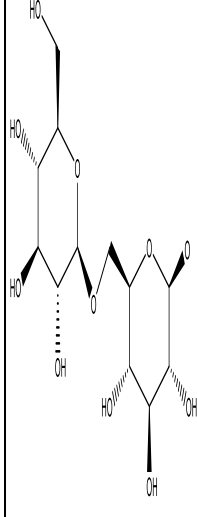
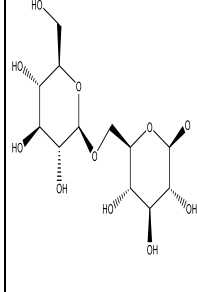
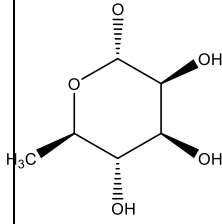
33	\	OH	OH	\		O H	\	OH	\
34	OH	OH	\	\		O H	\	OH	\
35	\	OH	OH	\	OH	O H	\		\
36	\	OH	\	\	OH	O H	\		\
37	\	OH	OH	\	\	O H	\		\
38	\	OH	\	\	\	O H	\		\
39	\	\	\	\	\	O H	OH	OH	\
40	\	OH	\	\	\	O H	OH		\

41	\	\	\	\	\	O H	\	OH	\
42	\	\	\	\	\	O H	OH		\
43	\	OH	\	\	\	O H	\		\
44	\	\	\	\	\	O H	\		\
45	\	OH	\	\	\	O H	OH		\
46	\	OH	\	\	OH	O H	\	OH	
47	\	OC H3	\	\	\	O H	OH	OH	OCH3

48	\	OC H3	\	\	\	O C H3	OH	OH	OCH3
49	/	OC H3	/	/	/	O H	/	OH	OCH3
50	/	OH	/	/		O H	/	OH	/
51	OH	OH	/	/		O H	/	OH	/
52	OH	OH	/	/	OCH3	O H	/		/

53	OH	OH	/	/	OCH ₃	O H	/		/
54	OH	OH	OH	/	OH	O H	/		/
55	OH	OH	OH	/	OH	O H	/		/
56	OH	OH	OH	/		O H	/	OH	/

57		OH	/		O H	/	OH	/		
58		OH	OC H3	OH	/		O H	/	OH	/
59		OH	OC H3	OH	/		O H	/	OH	/
60	OH	OH	OH	/	OH	/	/	OH	/	
61	OH	OC H3	OH	/	OH	/	/	OH	/	
62	OC H3	OH	OC H3	/	OH	/	/	OH	/	
63	H	OC	/	/	/	O	/	OH	/	

		H3				H			
64	H	OH	/	/	/	O H	/		/
65	H	OH	/	/	/	O H	/		/
66	OH	OH	/	/	/	O H	/		/
67	OH	OH	H	/		O H	/	OH	/

68	OH	OH	OH	/		O H	/	OH	/
69	/	OH	/	/	/	O H	/	OH	OH
70	/	OH	/	/	/	O H	/		H

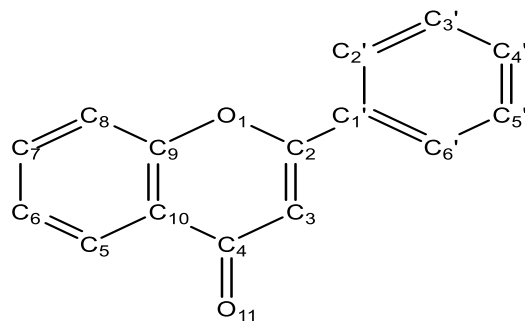
بالنسبة لهاته القيم فقد تم حسابها بالنسبة للمركب الأساسي فقط (الشكل رقم 7-III) و ليس جميع المركبات . هاته القيم مدونة في الجداول التالية :

قيم الشحنات (الجدول رقم رقم 4-III -)

قيم طول الروابط (الجدول رقم 5-III -)

قيم الزوايا (الشكل رقم 6-III -)

قيم ثلاث روابط (الشكل رقم 7-III -)



الشكل رقم III-7 - : البنية الأساسية للفلافونويد مرقمة

الجدول رقم III-4 – قيم شحنة الذرات للبنية الأساسية للمركبات المدروسة للفلافونويد :

الذرات	MM+	PM3	الذرات	MM+	PM3
O1	0.00	-0.104	C10	0.00	-0.212
C2	0.00	0.156	O11	0.00	-0.332
C3	0.00	-0.313	C1'	0.00	-0.072
C4	0.00	0.384	C2'	0.00	-0.062
C5	0.00	0.008	C3'	0.00	-0.109
C6	0.00	-0.144	C4'	0.00	-0.080
C7	0.00	-0.044	C5'	0.00	-0.104
C8	0.00	-0.147	C6'	0.00	-0.080
C9	0.00	0.108			

قمنا بهذه الدراسة في حقلين، الحقل MM+ والحقول PM3 ادى يظهر لنا الجدول أن كل الدرات لها شحنة معدومة في الحقل MM+ وشحنة سالبة في الحقول PM3 ماعدا الدارة C2 و C9 فهي دات شحن موجبة ما يدل على انه يقع عليها هجوم نيكليو فيلي.

الجدول رقم III - 5- قيم أطول الروابط للبنية الأساسية للفلاغونويد بالانغستروم (A°) :

الرابطة	MM+	PM3	الرابطة	MM+	PM3
O1 - C2	1.36128	1.37663	C9 – C10	1.34398	1.40142
C2 = C3	1.34701	1.35272	C2 - C1'	1.35537	1.47437
C3 - C4	1.36154	1.46853	C1' - C2'	1.35074	1.39899
C4 - C10	1.36113	1.48032	C2' = C3'	1.34248	1.39051
C10 = C5	1.34568	1.39898	C3' - C4'	1.33943	1.39056
C5 – C6	1.3422	1.38659	C4' = C5'	1.33955	1.39123
C6 - C7	1.34084	1.3958	C5' - C6'	1.34311	1.38829
C7 = C8	1.341278	1.38602	C6' = C1'	1.3495	1.40088
C8 - C9	1.34397	1.40395	C4 = O11	1.21206	1.22054
C9 = C1	1.355436	1.3799			

الجدول رقم III-6- قيم أقياس الزوايا للبنية الأساسية للفلاغونويد :

الزاوية	MM+	PM3	الزاوية	MM+	PM3
O1 - C2 = C3	117.284	223.592	C2' = C3' – C4'	120.122	119.759
C2 = C3 – C4	122.769	122.015	C3' – C4' = C5'	118.881	120.081
C3 – C4 – C10	118.786	113.998	C4' = C5' – C6'	120.347	120.526
C4 – C10 = C9	119.261	119.116	C5' – C6' = C1'	122.089	119.069
C10 = C9 – O1	121.06	123.873	C6' = C1' – C2'	116.189	120.111
C9 – O1 – C2	120.838	117.406	C3 – C4 = O11	118.955	122.472
C10 – C5 = C6	119.874	120.266	O11 = C4 - C10	122.258	123.529
C5 = C6 – C7	119.867	120.423	C4 - C10 - C5	119.883	122.213
C6 – C7 = C8	119.704	120.6	O1 – C9 – C8	120.521	114.763
C7 = C8 – C9	121.281	118.677	O1 – C2 – C1'	118.982	112.924
C8 – C9 = C10	118.418	121.364	C2 – C1' – C2'	118.551	122.349
C9 = C10 – C5	120.856	118.671	C6' = C1' – C2	125.26	118.582
C1' – C2' = C3'	122.344	120.454	C1' – C2 = C3	123.733	123.484

الجزء التطبيقي

الجدول أعلاه يبين لنا قيم زوايا البنية الأساسية للفلافونويد باستعمال الحقلين $MM+$ و $PM3$ فنلاحظ أن للحقلين بعض القيم مقاربة حيث كانت أكبر قيمة لزاوية $C2' - C1' = C6'$ وبلغت 125.26 درجة ، وأصغر قيمة لزاوية $C6' - C1' = C2'$ وكانت 116.189 درجة وهذا في الحقل $MM+$ أما بالنسبة للحقل $PM3$ فكانت أكبر قيمة 223.592 درجة لزاوية $C3 - C2 = O1$ وأصغر قيمة 113.998 درجة لزاوية $C3 - C4 - C10$.

الجدول رقم III-7- أقياس ثالث روابط ل البنية الأساسية للفلافونويد :

الثلاث روابط المشكلة	MM+	PM3	الثلاث روابط المشكلة	MM+	PM3
$O1-C2=C3-C4$	-0.119926	0.0154268	$C2-C1'-C2'-C3'$	-179.761	-179.81
$C2=C3-C4=O11$	179.91	179.896	$C1'-C2'-C3'-C4'$	-0.103759	-0.0160385
$C2=C3-C4=C10$	-0.065849	-0.0878076	$C2'-C3'-C4'-C5'$	-0.0760873	-0.0475232
$C3-C4=C10-C9$	0.144431	0.108442	$C3'-C4'-C5'-C6'$	0.163346	0.062626
$C4=C10-C9-O1$	-0.0122757	-0.0725092	$C4'-C5'-C6'-C1'$	-0.0569339	-0.007E 6.98313
$C10-C9-O1-C2$	-0.170593	-006E 8.57276	$C5'-C6'-C1'-C2'$	-0.11648	-0.0819955
$C9-O1-C2-C3$	0.241285	-005*2.47314	$C6'-C1'-C2'-C3'$	0.20224	0.0960198
$O11-C4-C10-C5$	0.0980089	0.123098	$C6'-C1'-C2-C3$	-0.470145	-0.464782
$C4-C10-C5-C6$	180	180	$C7-C8-C9-O1$	-179.978	-179.925
$C10-C5-C6-C7$	0.120544	0.0369234	$C8-C9-O1-C2$	-179.92	180
$C5-C6-C7-C8$	-0.0430306	-0.0312688	$C9-O1-C2-C3$	-0.241285	-0.005E 2.47313
$C6-C7-C8-C9$	-0.0684792	-005E -2.8283	$C5'-C6'-C1'-C2$	179.844	179.827
$C7-C8-C9-C10$	0.11694	0.0660358	$C1'-C2-C3-C4$	-179.942	-179.911
$C8-C9-C10-C5$	-0.0369447	-0.0611609	$C9-O1-C2-C1'$	-179.94	179.968
$O1-C2-C1'-C2'$	-0.32064	-0.500403			

قيم QSAR التي قمنا بحسابها ببرنامج Hyperchem ، مدونة في الجدول الآتي :

الجدول رقم III-8- نتائج العلاقة بنية فاعلية (QSAR) للمركبات المدروسة بطريقة PM3 :

المرتب	Partial Charges	Surface Area (Approx)	Surface (Grid)	V	Hydration Energy	Log P	Refractivity	Polarizability	Mass
1	0.0	636.12	814.40	1441.22	-36.57	-2.89	157.63	56.38	578.53
2	0.0	621.06	799.37	1424.54	-37.35	-2.89	157.63	56.38	578.53

3	0.0 0	352.91	466.72	768.21	-31.74	-3.02	81.20	28.73	304.26
4	0.0	366.09	471.33	764.09	-34.24	-4.01	83.17	28.54	302.24
5	0.0	499.81	659.73	1120.91	-36.47	-3.38	113.93	41.33	448.38
6	0.0	504.49	669.47	1139.37	-42.07	-4.40	115.54	41.96	464.38
7		429.10	499.82	840.89	-18.79	-3.05	91.03	31.57	314.29
9	0.0	359.87	446.13	721.25	-23.84	-2.09	79.88	27.27	270.24
10	0.0	403.72	489.70	796.61	-24.55	-3.08	86.26	29.74	300.27
11	0.0	364.68	458.81	741.24	-29.49	-3.11	81.49	27.90	286.24
12	0.0	686.68	856.30	1702.45	-49.54	-3.81	177.89	68.09	738.70
13	0.0	723.41	882.60	1744.04	-45.73	-5.28	180.50	68.37	754.70
14	0.0	741.59	917.03	1767.20	-52.23	-6.31	182.11	69.37	770.69
16	0.0	399.09	499.88	818.59	-26.64	-3.98	87.94	30.38	316.27
17	0.0	359.96	463.22	745.25	-28.66	-2.99	81.56	27.90	286.24
18	0.0	369.73	473.78	776.61	-32.22	-3.12	80.69	28.65	290.27
19	0.0	369.73	473.78	776.61	-32.22	-3.12	80.69	28.65	290.27
20	0.0	480.59	650.21	1102.76	-30.40	-3.03	110.69	40.88	434.40
21	0.0	586.69	788.50	1411.41	-30.65	-2.43	139.95	53.03	564.54
22	0.0	595.48	774.69	1405.55	-37.94	-3.98	143.18	53.47	578.53
23	0.0	461.88	613.22	1097.90	-42.72	-4.24	113.62	42.15	466.40
24	0.0	474.85	607.34	1060.91	-41.55	-3.86	107.65	39.68	436.37
25	0.0	465.52	644.35	1115.03	-30.01	-4.05	112.30	41.52	450.40
26	0.0	524.27	599.46	1022.83	-11.78	-4.78	106.15	37.58	386.36
27	0.0	486.03	531.22	913.76	-9.95	-1.72	97.99	34.61	326.35

28	0.0	411.04	489.43	814.98	-29.01	-3.98	87.94	30.38	316.27
29	0.0	494.35	659.12	1175.69	-22.99	-4.39	123.53	45.00	476.44
30	0.0	621.51	621.51	1098.22	-39.90	-3.45	112.07	41.52	450.40
31	0.0	481.68	481.68	783.66	-38.39	-5.04	84.77	29.18	318.24
33	0.0	444.47	602.56	1084.13	-40.19	-5.72	115.66	41.96	464.38
34	0.0	431.85	590.47	1054.71	-30.68	-3.67	112.45	40.69	432.38
35	0.0	413.45	607.16	1080.42	-37.89	-5.48	115.60	41.96	464.38
36	0.0	431.45	607.16	1080.42	-37.89	-5.48	115.60	41.96	464.38
37	0.0	527.28	743.35	1391.21	-44.31	-5.91	146.47	54.75	610.53
39	0.0	450.14	531.04	891.42	-37.01	-3.08	91.19	30.51	384.31
40	0.0	425.12	511.06	845.49	-28.33	-2.32	88.24	29.23	352.32
41	0.0	444.74	529.88	874.13	-33.09	-2.65	89.86	29.87	368.31
42	0.0	436.19	508.37	849.16	-27.99	-1.62	88.25	29.23	352.32
43	0.0	344.66	459.47	742.51	-25.98	-2.99	81.56	27.90	286.24
44	0.0	505.99	647.21	1112.71	-39.21	-4.47	113.79	41.41	462.37
45	0.0	345.72	435.95	700.35	-17.01	-1.06	78.28	26.63	254.24
46	0.0	489.08	635.74	1091.85	-32.19	-3.44	112.18	40.77	446.37
47	0.0	512.44	648.06	1101.78	-35.75	-3.44	112.18	40.14	446.37
48	0.0	497.75	635.62	1081.70	-28.89	-2.42	110.58	41.60	430.37
49	0.0	507.08	659.30	1131.14	-37.55	-3.94	112.16	55.03	464.38
50	0.0	573.21	717.35	1325.23	-49.06	-7.05	161.53	55.03	570.47
51	0.0	439.46	413.32	862.68	-22.59	-4.07	92.63	32.21	330.29
52	0.0	477.00	547.52	918.87	-18.00	-4.04	97.40	34.05	344.32

53	0.0	437.12	500.49	842.25	842.25	-3.05	91.03	31.57	314.29
50	0.0	564.46	714.38	1370.37	-44.47	-4.88	144.86	54.11	594.53
51	0.0	457.30	600.44	1048.47	-40.02	-5.10	109.64	39.49	434.36
52	0.0	512.23	669.56	1166.97	-28.28	-5.44	120.37	43.80	478.41
53	0.0	614.59	822.26	1510.62	-44.97	-6.66	152.78	57.22	640.55
54	0.0	581.01	799.52	1470.30	-56.36	-7.72	149.62	56.02	642.52
55	0.0	618.79	817.80	1478.97	-53.71	-6.93	148.07	55.38	626.52
56	0.0	370.63	610.62	1097.93	-35.00	-4.45	23.73	45.00	476.44
57	0.0	564.09	755.12	1399.54	-46.95	-6.39	146.55	54.75	610.53
58	0.0	527.62	661.43	1188.98	-42.18	-6.47	121.97	44.43	494.41
59	0.0	511.44	634.33	1135.83	-38.46	-5.68	120.43	43.80	478.41
60	0.0	371.92	465.29	766.55	-33.96	-4.01	83.17	28.54	302.24
61	0.0	412.75	504.01	825.72	-28.1	-3.98	87.94	30.38	316.27
62	0.0	449.46	530.29	882.33	-23.17	-3.95	92.71	32.21	330.29
63	0.0	388.17	458.58	739.22	-10.19	0.12	80.95	27.83	252.27
64	0.0	484.88	635.61	1083.42	-33.64	-3.44	112.18	40.77	446.37
65	0.0	578.40	781.48	1413.81	-33.97	-3.74	143.12	53.47	578.53
66	0.0	583.93	790.93	1432.66	-40.79	-4.77	144.73	54.11	594.53
67	0.0	460.71	600.20	1064.71	-39.33	-4.69	114.06	41.33	448.38
68	0.0	472.71	604.64	1084.98	-44.66	-5.72	115.66	41.96	464.38
69	0.0	359.70	451.09	736.13	-27.65	-3.11	81.49	27.90	286.24
70	0.0	575.14	773.23	1391.86	-38.57	-3.98	143.18	53.47	578.53

الحجم (Volume Moléculaire (V) : نلاحظ من الجدول أن أكبر قيمة في الحجم قد سجلت للمركب 13 حيث بلغت 1767.20 في حين سجلت أقل قيمة للمركب وقد كانت 41 700.35

قيم P (Coefficient de partition) Log P الماء

الكتلة المولية (MW (Masse Moléculaire) : جميع قيم الكتلة المولية أقل من 800 حيث سجلنا أكبر قيمة لها عند المركب 13 و كانت 770.69 أما بالنسبة لأكبر قيمة فقد سجلها المركب 63 وكانت 252.27

الإستقطابية (POL) Polarisabilité : لقد سجلت قيم الإستقطابية فكانت أقل قيمة لها هي 26.63 للمركب 41 وأكبر قيمة بلغت 69.37 للمركب 13

طاقة الإماهة (Energie d' hydraion(Kcal/mol) (EH) : سجلنا أكبر قيمة للمركب 25 وبلغت 9.95- وهذا يظهر لنا قدرة المركب على الدوبيان في الماء(شحيخ الدوايابان) بينما سجلت أقل قيمة للمركب 54 حيث بلغت 56.36- مما يدل على أن هذا المركب هو أحسن دوابانية في الماء مقارنة مع باقي المركبات.

الإنكسارية Ref : أكبر قيمة سجلت للانكسارية كانت للمركب 13 و قد بلغت 182.11 و أما بالنسبة لأقل قيمة فقد سجلها المركب 56 وكانت 23.73

المساحة السطحية (Surface Area (Approx) : سجلت أكبر قيمة للمركب 13 و بلغت 741.59 في حين سجلت أقل قيمة المركب 39 وكانت نتيجتها 344.66

المساحة السطحية (Surface Area (Grid) : سجلت أكبر قيمة للمركب 13 و بلغت 917.03 في حين سجلت أقل قيمة المركب 47 وكانت نتيجتها 413.32

الجدول رقم III - 9- نتائج طاقة HOMO و LUMO و عزم ثانوي القطب و الحسابات مدونة في الجدول أدناه :

المركب	Chaleur de Formation	HOMO	LUMO	الفرق في E	Total Energy	U(D)
1	-379.6263447	-9.064415	-1.113419	7.950996	-172437	5.025
2	-377.2009244	-9.028223	-0.908031	8.120192	-172434	6.074
3	-239.2571774	-9.024499	-0.8502218	8.174277	-92646.2	1.531
4	-225.1599351	-9.03314	-0.8658667	8.167273	-91924.9	4.46
5	-330.2335049	-9.234089	-1.413642	7.820447	-138910	4.065
6	-373.1764509	-9.159975	-1.442256	7.717719	-145685	3.134
7	-165.3986952	-9.04333	-1.048326	7.995004	-92019.4	4.322
8	-142.3922596	-9.155233	-1.033492	8.121741	-78378	4.817
9	-178.2488.72	-9.065286	-1.059093	8.006196	-88589.1	3.865
10	-185.3934198	-9.103106	-1.096409	8006697	-85153.1	3.621

11	-692.0943867	-9.156925	-0.7719565	8.384968	-229743	6.579
12	-712.5180657	-9.073581	-0.702133	8.371448	-236495	7.176
13	-758.0298377	-9.078332	-0.8702542	8.208078	-243273	5.36
14	-213.5964663	-8.960944	-0.8667049	8.094239	-95356.5	5.853
15	-182.0288695	-9.016113	-0.8202909	8.195822	-85149.7	5.381
16	-211.0841588	-9.072188	-0.1408162	8.931372	86593.1	2.173
17	-211.0841588	-9.072188	-0.1408162	8.931372	-86593.1	2.173
18	-360.8533216	-9.337348	-0.6920229	8.645325	-132916	3.997
19	-485.8728363	-9.428833	-0.7741856	8.654647	-173188	2.751
20	-512.4113383	-9.259955	-1.129359	8.130596	-179240	3.365
21	-449.2484968	-9.250458	-0.8923963	8.358062	-146468	4.081
22	-404.7561034	-9.123507	-0.8444012	8.279106	-136248	3.419
23	-398.6759509	-9.2184.7	-0.8696275	8.348843	-139685	5.739
24	-201.6670148	-9.017187	-1.012601	8.004586	-115142	2.475
25	-137.9333383	-8.838103	-1.004602	7.833501	-902146.1	4.235
26	-216.9607567	-8.915356	-0.9167664	7.9985896	-95359.9	6.013
27	-366.7590634	-9.041111	-0.6556632	8.3854478	-145833	4.144
28	-409.6427724	-9.170644	-0.7842474	8.3863966	-138964	2.228
29	-264.0465699	-8.711515	-0.8341628	7.877352	-142407	6.128
30	-417.7403929	-8.732417	-0.6309224	8.1014946	-145729	0.8225
31	-337.0219328	-8.938074	-0.5108047	8.427269	-132185	3.48
32	-425.1174691	-9.141252	-0.6282045	8.5130475	-145737	3.523
33	-425.1174691	-9.141252	-0.6282045	8.5130475	-145737	3.523
34	-579.4760881	-9.044936	-0.9244778	8.120458	-192771	6.912
35	-359.4077404	-9.089894	-0.9863282	8.103566	-117260	2.454
36	-265.5856492	-9.418646	-1.527608	7.891038	-103702	3.931
37	-325.3147521	-9.084847	-0.8885694	8.196278	-110493	2.346
38	-280.5150084	-9.401268	-0.7469965	8.6542715	-103717	4.898
39	-175.6836339	-8.731371	-0.9000849	7.831286	-85143.4	5.246
40	430.3971852	-9.014666	-1.183422	7.831244	-145035	4.132
41	-96.84682794	-9.244973	-1.066883	8.17809	-71600.4	5.137
42	-384.1080174	-9.04655	-1.216958	7.829592	-138257	3.349
43	-387.9561095	-9.188581	-1.061348	8.127233	-138260	2.492
44	-342.2130032	9.293136	-1.093086	8.20005	-131483	2.576
45	-445.7377131	-8.905362	-0.8413513	8.064011	-145757	4.286
46	-336.8579674	-8.874683	-1.212277	7.662406	-169565	9.955
47	-208.195677	-8.787215	-1.072957	7.714258	-98794.2	5.676
48	-192.5931283	-8.934143	-0.9045636	8.029579	-102222	4.643
49	-169.2305424	-9.064054	-1.029739	8.034315	-92023.2	5.155

الجدول رقم III -10- نتائج طاقة HOMO و LUMO و عزم ثانوي القطب و الحسابات للمركبات من المرجع رقم 15 :

المركب	Chaleur de Formation	HOMO	LUMO	الفرق في E	Total Energy	U(D)
50	-554.6119339	-9.177817	-0.8550928	8.322724	-186014	5.149
51	-384.7763250	-9.053896	-0.8543465	8.1995495	-135521	3.023
52	-421.380164	-8.958576	-1.082397	7.876179	-149176	5.655
53	-202.9855089	-8.972228	-1.184915	7.787313	-202986	1.59
54	-677.4705609	-9.178904	-1.173188	8.005716	-206333	4.35
55	-636.4023077	-9.050436	-1.002307	8.048205	-199560	6.106
56	-345.8603224	-8.647698	-0.9454335	7.7022645	-145812	5.223
57	-598.8565995	-9.222917	-1.035513	8.187404	-192790	5.195
58	-462.0414424	-9.182405	-0.9650713	8.057111	-155949	2.404
59	-425.010128	-9.272132	-1.261765	8.018154	-149180	2.549
60	-218.6631636	-8.914869	-0.8421215	8.0727475	-91918.4	4.093
61	-212.0279612	-9.085036	-0.77434	8.163341	-95354.9	4.972
62	-203.4636362	-9.009626	-0.7524238	7.9905297	-98789.5	3.982
63	-57.21822264	-9.232865	-0.8877123	8.345153	-68271.8	4.682
64	-387.310363	-9.288653	-1.155279	8.135863	-138260	4.797
65	-496.838904	-9.173254	-0.9591171	8.214137	-179224	2.323
66	-544.149387	-8.985798	-0.93493	8.050868	-186004	2.52
67	-391.8828334	-9.155347	-1.28056	7.874787	-138972	2.746
68	-435.0732684	-9.134845	-1.249384	7.885461	-145747	2.67
69	-179.416093	-8.842715	-1.020298	7.822417	-85147.1	4.054
70	-518.899793	-9.269764	-1.143733	8.126031	-179246	6.787

الطاقة الكلية ET : سجلنا أقل قيمة للمركب 13 حيث وصلت الى 243273 . أما بالنسبة لأكبر قيمة فقد كانت للمركب 63 وسجلت قيمتها -68271.8

و ببين لنا الجدول المسجل في الاعلى أن أصغر قيمة لحرارة التكوين هي -968.4682794 Kcal/mol وقد سجلها المركب فهو المركب الأقل ثباتا وأصغر قيمة كانت قيمته - 137.9333383 Kcal/mol للمركب فهو المركب الأكثر ثباتا

بالنسبة لقيم ال HOMO , أعلى قيمة كانت ev-8.647698ev ، وأقل قيمة هي ev-9.428833

بالنسبة لقيم ال LUMO , أعلى قيمة كانت ev-0.1408162ev ، وأقل قيمة هي ev-1.527608

نلاحظ أنه كلما قل ال فان فجوة الطاقة HOMO LUMO تكون اقل و هدا يؤدي الى تدفق سهل للإلكترونات مما يجعل المركب أكثر ليونة وكلما زادت كانت فجوة الطاقة HOMO LUMO كبيرة وهذا ما يعني تدفق أقل في الإلكترونات مما يجعل الجزيء صلب وأقل تفاعلاً من ناحية أخرى

في جدول نلاحظ ان المركب 16 يحتوي على فرق طاقة أكبر قيمته هي 8.931372 اما المركب 47 هو المركب الذي يحتوي على فرق طاقة أصغر حيث كانت قيمته 7.714258

بالنسبة لوزم ثنائي القطب بلغت أعلى قيمة للمركب 46 فهو المركب الأكثر قطبية ووصل الى القيمة 9.955 أما أقل قيمة كانت للمركب 30 حيث كانت 0.8225

الجدول رقم III- 11- معايير Drug-likeness للمركبات المدرosaة :

المركب	MW	Log P	HBD	HBA	PIC50	LLE	N H	LE	LELP
1	578.53	-2.81	8	14	4.461296	7.271296	42	0.14871	-18.8959
2	578.53	-2.89	8	14	3.860121	6.750121	42	0.128671	-22.4604
3	304.26	-3.02	5	7	3.468521	6.488521	22	0.220724	-13.6822
4	302.24	-4.01	5	7	3.68403	7.69403	22	0.234438	-17.1047
5	448.38	-3.38	6	11	3.30103	6.68103	31	0.149079	-22.6726
6	464.38	-4.4	7	11	4.263603	8.663603	32	0.186533	-23.5884
7	314.29	-3.05	2	6	4.182831	7.232831	23	0.254607	-11.9792
8	270.24	-2.09	3	5	3.924453	6.014453	20	0.274712	-7.60798
9	270.24	-3.08	3	6	4.689	7.769	22	0.298391	-10.322
10	738.70	-3.11	4	6	5.537652	8.647652	21	0.369177	-8.42415
11	286.24	-3.81	11	19	4.50674	8.31674	51	0.123714	-30.7967
12	738.70	-5.28	10	19	4.297991	9.577991	53	0.113532	-46.5068
13	754.70	-6.31	-	-	5.710788	12.02079	54	0.148057	-42.6186
14	770.69	-3.98	4	7	4.33036	8.31036	21	0.288691	-13.7864
15	286.24	-2.99	4	6	4.228587	7.218587	21	0.281906	-10.6064
16	316.27	-3.12	5	6	4.492144	7.612144	21	0.299476	-10.4182
17	286.24	-4.03	5	6	4.466991	8.496991	21	0.297799	-13.5326
18	290.27	-3.03	6	10	4.522879	7.552879	30	0.211068	-14.3556
19	290.27	-2.43	-	-	4.522879	6.952879	40	0.158301	-15.3505
20	434.40	-3.98	8	14	3.408935	7.388935	41	0.116403	-34.1917
21	564.54	-4.24	8	12	4.716699	8.956699	33	0.200102	-21.1892
22	578.53	-3.86	-	-	4.599117	8.459117	31	0.207702	-18.5843
23	466.40	-4.05	-	-	4.608007	8.658007	22	0.293237	-13.8114
24	436.37	-4.78	-	-	3.585027	8.365027	28	0.179251	-26.6665
25	450.40	-1.72	1	5	3.534617	5.254617	24	0.206186	-8.34198
26	386.36	-3.98	4	7	3.928118	7.908118	23	0.239103	-16.6456
27	326.35	-	-	-	-	0	34	0	-
28	316.27	-3.45	7	11	3.910095	7.360095	32	0.171067	-20.1676

29	318.23	-5.04	6	8	4.788425	9.828425	23	0.291469	-17.2917
30	318.24	-5.04	8	12	5.522879	5.522879	33	0.234304	0
31	448.38	-4.45	7	11	6.69897	6.69897	31	0.302534	0
32	464.38	-5.72	8	12	4.920819	4.920819	33	0.208762	0
33	464.38	-3.67	8	12	4.958607	4.958607	33	0.210365	0
34	610.53	-5.91	10	16	4.79588	4.79588	42	0.159863	0
35	462.41	-3.08	-	-	3.798603	6.878603	26	0.20454	-15.0582
36	462.41	-2.32	-	-	3.30103	5.62103	25	0.184858	-12.5502
37	384.31	-2.65	-	-	3.707744	6.357744	25	0.207634	-12.7629
38	352.32	-1.62	4	6	3.30103	4.92103	24	0.19256	-8.41296
39	368.31	-2.99	7	12	3.886057	6.876057	20	0.272024	-10.9917
40	352.32	-4.47	2	4	4.049566	8.519566	33	0.1718	-26.0187
41	286.24	-1.06	6	11	3.774691	4.834691	19	0.278135	-3.8111
42	462.37	-3.44	6	11	4.013408	7.453408	32	0.175587	-19.5915
43	254.24	-3.44	5	10	3.60206	7.04206	32	0.15759	-21.8288
44	446.37	-2.42	-	-	3.512862	5.932862	31	0.158645	-15.2541
45	446.37	-3.94	-	-	3.492144	7.432144	33	0.148152	-26.5944
46	430.37	-7.05	-	-	0.26371	7.31371	42	0.00879	-802.017
47	464.38	-4.07	-	-	4.639226	8.709226	24	0.270622	-15.0395
48	570.47	-4.04	2	6	4.547067	8.587067	25	0.254636	-15.8658
49	330.29	-3.05	9	15	-	-	23	-	-

الجدول رقم III-12- معايير Drug-likeness للمركبات المدروسة من المرجع رقم 15:

المركب	MW	Log P	HBD	HBA	PIC50	LLE	N H	LE	LELP
50	344.32	-4.88	7	11	4,30103	9.18103	42	0,143368	-34,0384
51	594.53	-5.10	-	-	6,920819	12.02082	31	0,312553	-16,3172
52	478.41	-5.44	10	17	4,718967	10.15897	34	0,19431	-27,9964
53	434.36	-6.66	12	18	4,675718	11.33572	45	0,145467	-45,7837
54	640.55	-7.72	11	17	4,30103	12.02103	45	0,13381	-57,6938
55	642.52	-6.93	-	-	4,30103	11.23103	44	0,136851	-50,639
56	642.52	-4.45	10	16	4,30103	8.75103	34	0,177101	-25,1269
57	626.52	-6.39	-	-	4,30103	10.69103	43	0,140034	-45,6319
58	476.44	-5.32	-	-	4,406714	9.726714	34	0,181453	-29,3189
59	610.53	-4.54	5	7	4,603801	9.143801	33	0,195313	-23,2448
60	478.41	-4.01	-	-	4,89279	8.90279	22	0,311359	-12,879
61	462.41	-2.83	3	7	5,294136	8.124136	22	0,3369	-8,40013
62	302.24	-1.66	-	-	5,428291	7.088291	22	0,345437	-4,80551
63	300.27	-0.21	6	11	5,100727	5.310727	19	0,375843	-0,31928

64	290.30	-3.44	-	-	4,829738	8.269738	32	0,211301	-16,2801
65	252.27	-3.74	-	-	4,407823	8.147823	41	0,150511	-24,8487
66	446.37	-4.77	9	15	4,779892	9.549892	41	0,163216	-29,0413
67	594.53	-4.69	6	11	5,299296	9.989296	32	0,231844	-20,2291
68	330.29	-5.72	8	12	4,809668	10.52967	33	0,204047	-28,0328
69	448.38	-3.11	4	6	4,342944	7.452944	21	0,28953	-10,7416
70	464.38	-3.98	9	14	4,30103	8.28103	27	0,223016	-17,8462

يوضح الجدول الخصائص الفاعلية ل 70 مركب حيث ان قيم Log P والوزن الجزيئي MW فوجد أن كل المركبات وزنها الجزيئي أقل من 770.69 و Log P أقل من 3 وهذا الأخير قيمه كلها سالبة ما يعني أنها قابلة للذوبان في الماء ، حيث أن :

LLE : كفاءة الترابط (lipophilicity efficiency - ligand) هي معيار مستخدم في اكتشاف الأدوية لتقدير جودة بعض المركبات

Lipophilic efficiency : LE

NH هو عدد الدرجات الثقيلة (أي درجات غير الهيدروجين)

IC50 تمثل التركيز وهو مقياس لوصف فعالية مادة معينة في كبح أو تثبيط وظيفة حيوية ما تستخدم المصطلحات المذكورة أعلاه بشكل شائع من قبل فرق اكتشاف الأدوية وغيرها من الفعالية لقد تم حساب القيم أعلاه من القوانين الآتية :

$$LE = 1.4 * pIC50/NH$$

$$LLE = pIC50 - \log P$$

$$pIC50 = -\log (IC50)$$

$$LELP = \log P/LE$$

الجدول رقم III-13- قيم ال Ic(50) بوحدة الميكرو مولاري (μM) مدونة في الجدول التالي :

المركب	Ic(50) (μM)	المركب	Ic(50) (μM)	المركب	Ic(50) (μM)
1	34.57038	25	292	49	/
2	138	26	118	50	>50
3	340	27	0	51	0.12
4	207	28	123	52	19.1
5	500	29	16.27702	53	21.1
6	54.5	30	3	54	>50
7	65.64001	31	0.2	55	>50
8	119	32	12	56	>50
9	20.46445	33	11	57	>50
10	2.899665	34	16	58	39.2
11	31.13577	35	159	59	24.9
12	50.35113	36	500	60	12.8
13	1.946308	37	196	61	5.08
14	46.44765	38	500	62	3.73
15	59.0763	39	130	63	7.93
16	32.2	40	89.21426	64	14.84
17	34.12	41	168	65	39.1
18	30	42	96.95992	66	516.6
19	30	43	250	67	5.02
20	390	44	307	68	15.5
21	19.2	45	322	69	45.4
22	25.17	46	1835329	70	>50
23	24.66	47	22.94953		
24	260	48	28.3748		

الخلاصة العامة :

في هذا العمل دراسة الخصائص الفيزيوكيميائية للمركيبات الفلوفونيدية المضادة للأكسدة حيث تطرقتنا إلى دراسة تفصيلية للخصائص الفيزيوكيميائية للبنية الأساسية و للمركيبات والمتمثلة في طول الروابط و شحنة الذرات وتم أيضا حساب الخصائص بنية- فاعلية QSAR كالمساحة و الحجم ، الانكسارية و الاستقطاب ومعامل التقسيم $\log P$ بالإضافة إلى دراسة مستويات الطاقة HOMO و LUMO للمركيبات المدروسة و ذلك بواسطة برنامج المذكورة. Hype rchem حيث اعتمدنا في دراستنا على الحقلين PM3 و MM+ ، أظهرت النتائج حساب طاقة المستويات LUMO ، HUMO قيم متفاوتة حيث كانت أعلى قيمة ل HOMO هي 8.647698 - للمركب رقم 56 ، و أقل قيمة 9.428833 - للمركب 19 و بلغت أعلى قيمة ل LUMO هي 8.1408162 - للمركب رقم 16 ، في حين سجلت أقل قيمة للمركب 36 و بلغت 1.527608 - ، و يظهر في الجدول ان المركب 16 يحتوي على فرق طاقة اكبر 8.931372 بـ 8.714258 ، كما بلغت اما المركب 47 هو المركب الذي يحتوي على فرق طاقة اصغر و بلغت قيمته 7.714258 ، كما اننا تحصلنا على نتائج QSAR لـ الحجم (Moléculaire Volume) V نلاحظ من الجدول ان اصغر قيمة في الحجم سجلت للمركب 41 حيث كانت 700.35° (A) في حين سجلت اكبر قيمة للمركب 13 و بلغت 1767.20 (Å³) ، و تحصلنا على كل قيم (Coffcient de partition) P Log (Coffcient de partition) كانت سالبة و أقل من 1 هذا مايعني ان كل المركيبات قابلة للذوبان في الماء ، وأيضا بالنسبة لجميع قيم الكتلة المولية MW (Moléculaire Masse) اقل من 770.69 ، حيث سجلت اقل قيمة للمركب رقم 63 و بلغت 252.27 (uma) و اكبر قيمة للمركب 13 حيث سجلت 754.70 (uma) ، و تراوحت قيم الإستقطابية POL (Polarisabilité) من 69.37 الى 26.63 حيث كانت القيمة الصغرى لمركب رقم 41 و القيمة الكبرى للمركب 13 كما تم حساب طاقة الإمامهة EH (Energie d' hydraion) ، و سجلت اصغر قيمة للمركب 54 وبلغت 56.36- (mol/Kcal) وهذا يعني ان المركب 56 هو افضل ذوبانية في الماء بينما سجل اعلى قيمة للمركب 25 حيث بلغت 9.95- (mol/Kcal) وهذا يعني انه اشح ذوبانية في الماء مقارنة مع باقي المركيبات و قمنا بحساب الانكسار Refractivity سجلت اقل قيمة للإنكسارية للمركب 56 حيث بلغت 23.73 و اعلى قيمة للمركب 13 بلغت قيمتها 11.182 وسجلت اقل قيمة للمركب 2 و 5 و 0 وبلغت 222° (A) في حين ان المركب 24 سجل اعلى قيمة بلغت 157 (A[°]) بالنسبة للطاقة الكلية ET سجلت اعلى قيمة للمركب 63 حيث وصلت الى 68271.8- (mol/Kcal) اما اقل قيمة فكانت 243273 (Kcal/mol) للمركب 13 . بالنسبة لقيم HBA ال اعلى قيمة عند المركيبين 12 و 19 بلغت 12 . و اقل قيمة عدد المركب 40 بلغت 4 . و قيم HBD ال اعلى قيمة عند المركب 53 بلغت 12 . و اقل قيمة عند المركب 25 و بلغت 1 .

المراجع :

01. C. Loichot et M. Grima, introduction a la pharmacocinetique passages transmembranaires, Module de Pharmacologie Générale, Faculté de Médecine de Strasbourg, 2006.
02. K. Ajeet, Int. J. Bijander, Pharm. & Pharm. Sci., 4, 445.
03. V. Dimitrov, T. Komatsu, An interpretation of optical properties of oxides and oxide glasses in terms of the electronic ion polarizability and average single bond strength, Journal of the University of Chemical Technology and Metallurgy , 2010vol 45, pp. 219-250.
04. S. Fahn and J. Can. Neural Sci'1987. 14, 528, bartok, a., The Gaussian Approximation Potential, 2010: Berlin Springer Heidelberg Dordrecht London New York. p. 96.
05. Davis A, Ward S E, The Handbook of Medicinal Chemistry: Principles and Practice, Royal Society of Chemistry, 2014.
06. Study toward antioxidant activity of Clematis flammulae extracts: Purification and identification of two flavonoids-glucoside and trisaccharide. R. Saidi et al. / South African Journal of Botany 123 (2019) 208–213
07. Structure–antioxidant activity relationships of flavonoids isolated from different plant species. Food Chemistry 92 (2005) 349–355
08. Antioxidant potential of flavonoid glycosides from Manniophyton fulvum Müll. (Euphorbiaceae): Identification and molecular modeling. ScientificAfrican8(2020)e00423
09. Flavonoids as antioxidants in plants: Location and functional significance. Plant Science 196 (2012) 67–76
10. Flavonoids of Zinnia elegans: Chemical profile and, in vitro antioxidant and in silico anti-COVID-19 activities. South African Journal of Botany 147 (2022) 576585
11. .Antioxidant and free radical-scavenging properties of three flavonoids isolated from the leaves of Rhamnus alaternus L. (Rhamnaceae) : A structure-activity relationship study Food Chemistry 116 (2009) 258 264.
12. Effect of extracts and isolated compounds derived from Retama monosperma (L.) Boiss. on anti-aging gene expression in human

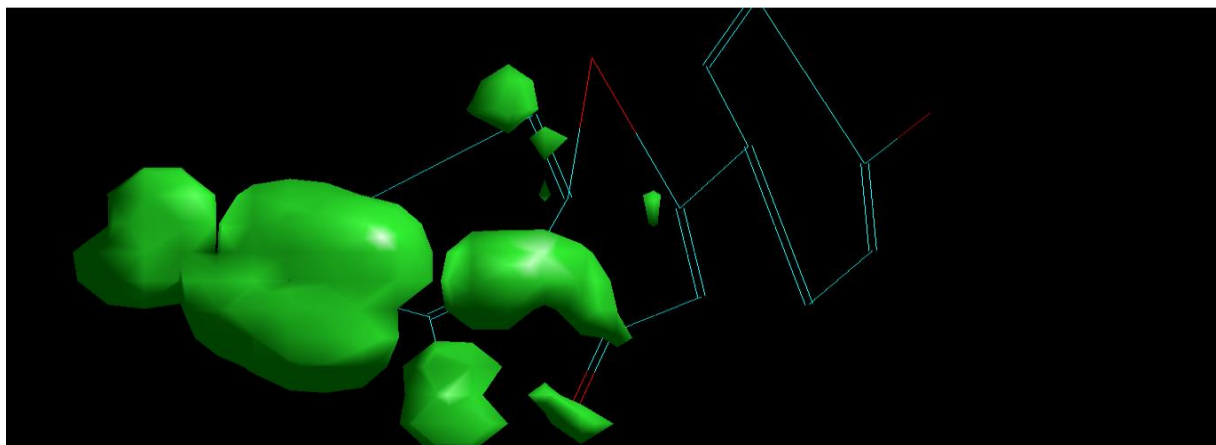
- keratinocytes and antioxidant activity .Journal of Ethnopharmacology 280 (2021) 114451
- 13.** Antioxidant activity of different species and varieties of turmeric (Curcumaspp): Isolation of active compounds. Comparative Biochemistry and
- 01.** In silico ,in vitro antioxidant and density functional theory based structure activity relationship studies of plant polyphenolics as prominent natural antioxidants. Arabian Journal of Chemistry (2020)13, 3690–3701
- 14.** Physiology, Part C 215 (2019) 9–17
- 15.** Concise synthesis of quercetagetin (3,3',4',5,6,7-hexahydroxyflavone) with antioxidant and antibacterial activities. Results in Chemistry 3 (2021) 100255
- 16.** Antioxidant potential of flavonoid glycosides from *Manniophyton fulvum* Müll. (Euphorbiaceae): Identification and molecular modeling. Scientific African 8(2020)e00423
- 17.** Sulfated flavanones and dihydroflavonols from willow. Phytochemistry Letters 35 (2020) 88–93
- 18.** Structure-activity relationship of eight high content flavonoids analyzed with a preliminary assign-score method and their contribution to antioxidant ability of flavonoids-rich extract from *Scutellaria baicalensis* shoots. Arabian Journal of Chemistry (2018) 11, 159–170
- 19.** Characterization of antioxidant and antibacterial compounds from aerial parts of *Haplophyllum tuberculatum* Journal of Bioresources and Bioproducts 7 (2022) 52–62
- 20.** Flavonoids of *Zinnia elegans*: Chemical profile and, in vitro antioxidant and in silico anti-COVID-19 activities. South African Journal of Botany 147 (2022) 576585

الملحق

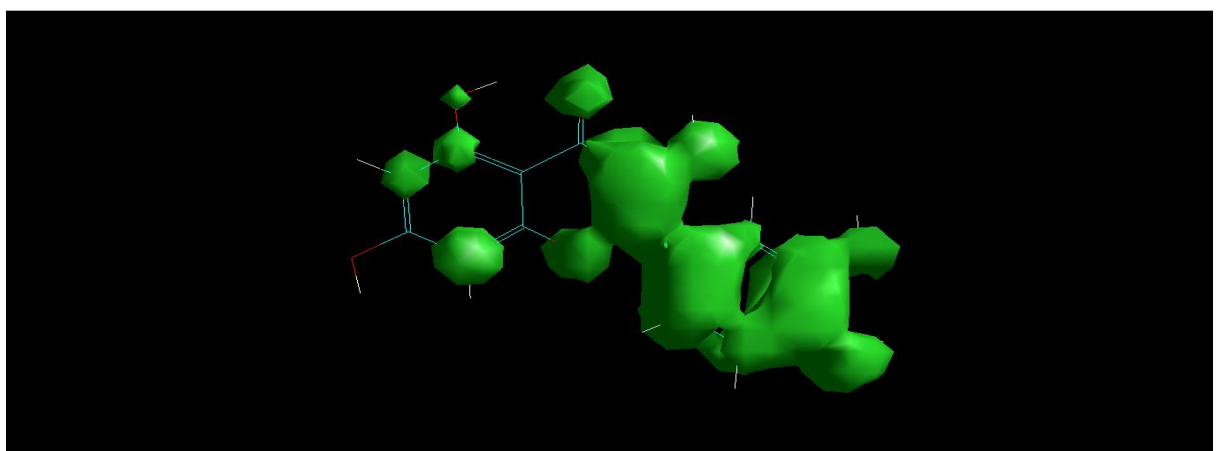
الملحق :

إليك بعض صور HOMO و LUMO لبعض المركبات المدروسة :

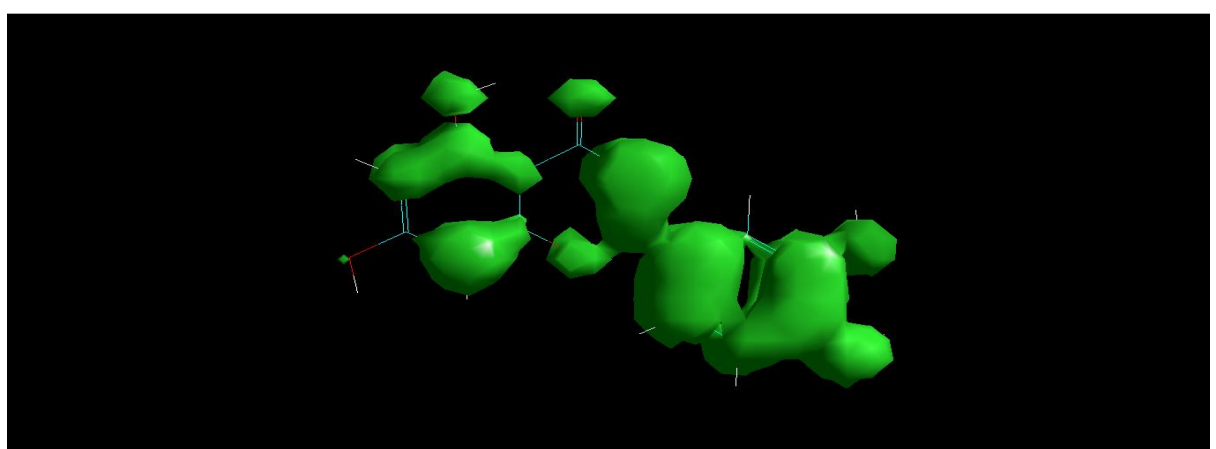
Apigenen 7-O Glucoside



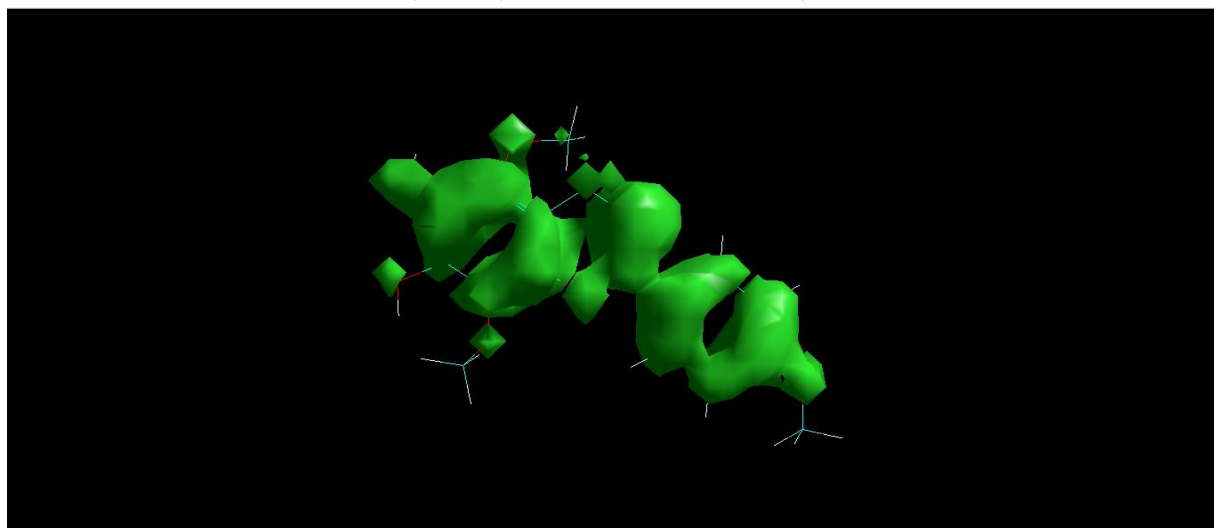
Quercetin



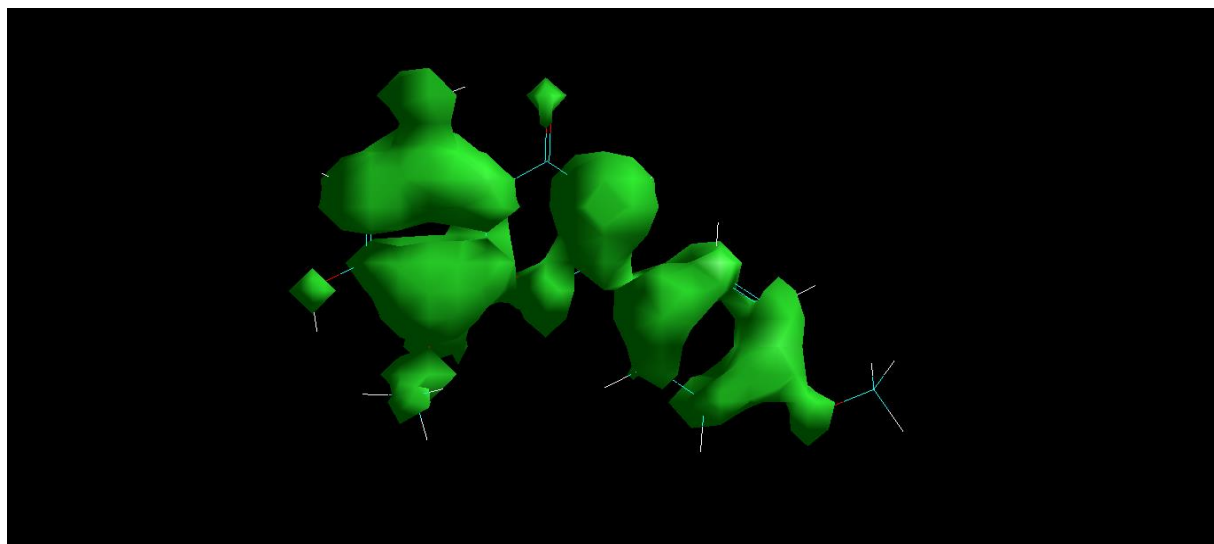
kaempferol 3-O- β -isorhamninoside



6, 7-dihydroxy -6, 8, 4- trimethoxyflanone



Galangustin



Hydroxy-naringenin-8

